

Predstavitev knjige

Poudarki: novi scenariji razvoja podnebja in geoinženiring

Lučka Kajfež Bogataj

članica GWP (Global Water Partnership) in IPCC

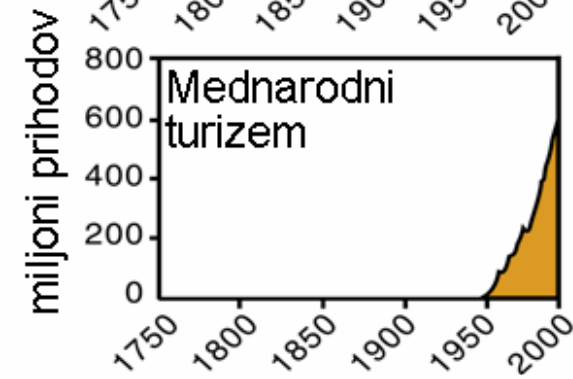
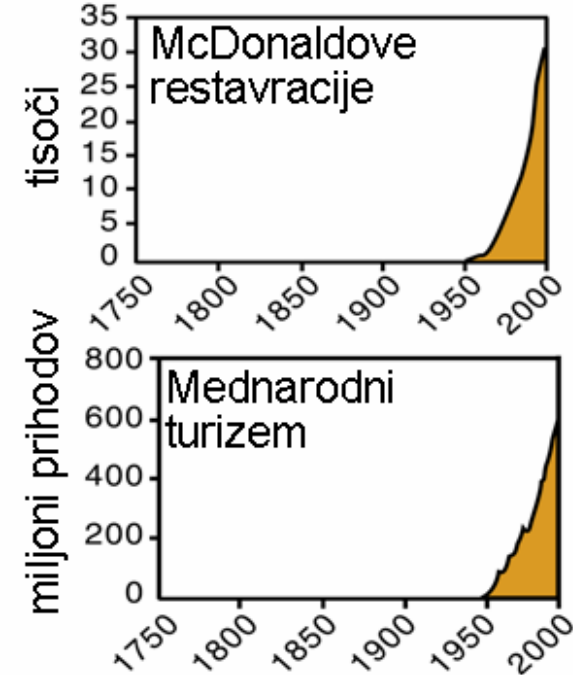
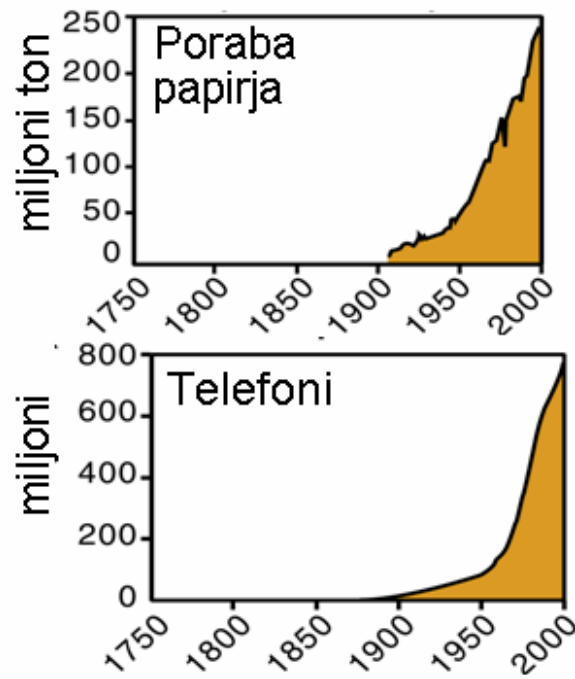
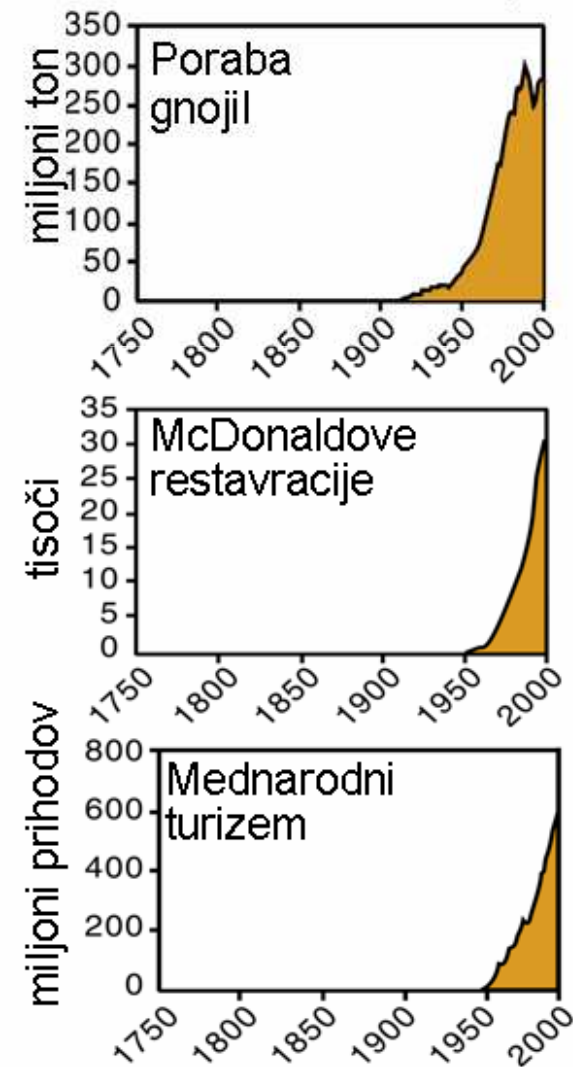
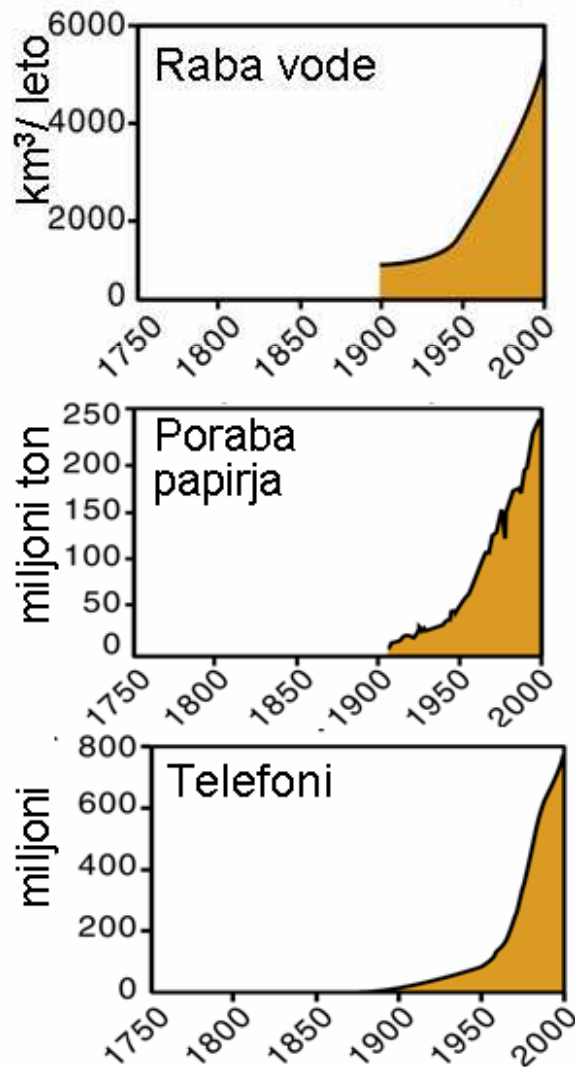
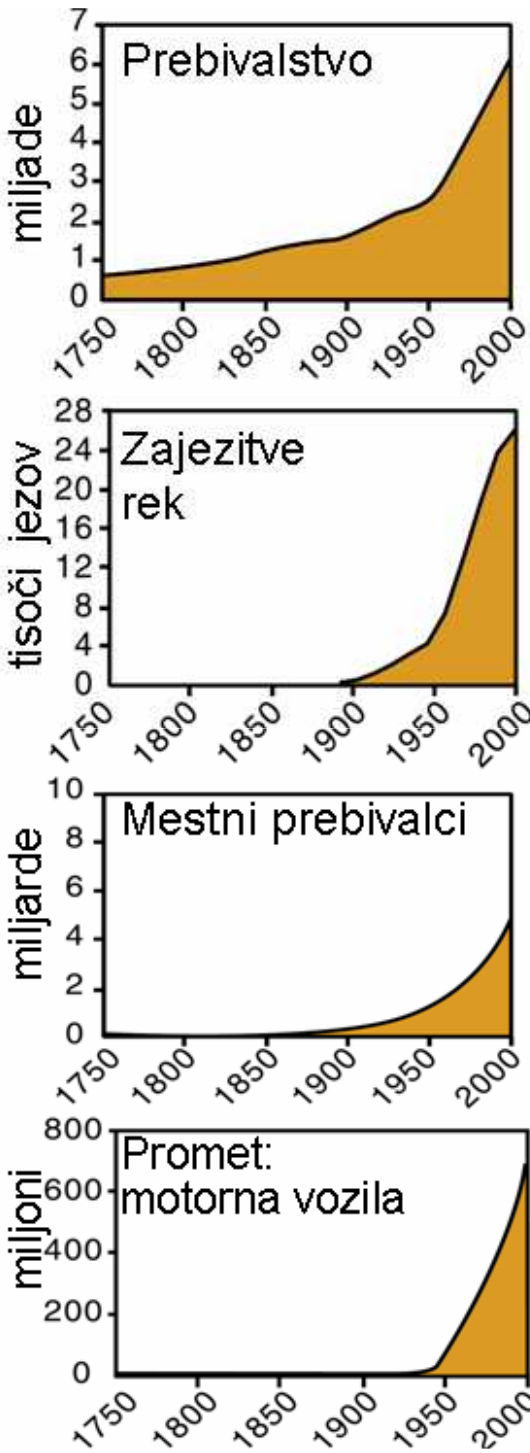
| | |
|---|--|
| KAJ SE DOGAJA OKROG NAS ALI GLAVNI OKOLJSKI PROBLEMI NASEGÀ ČASA 13 | VPLIVI PODNEBNIH SPREMENB NA VODNE VIRE IN OSKRBO Z VODO V SLOVENIJI 108 |
| ZAKLJUČEVANJE PLOČEAKOV 16 | OKUTLJIVA ORMOČJA V SLOVENIJI 108 |
| SPREMINJENI KROZPLIB DURKA IN POMORJA 17 | DVIG MORSKE GLADINE 116 |
| STRATOSFERSKI OZON 19 | PODNEBNE SPREMENBE IN EKSTREMNI VREMENSKI DOGOĐAJI 117 |
| PESTROVI ZVILJENSKIH OBLIK 20 | PODNEBNE SPREMENBE BOJO POVEČALIMO IN NOGOSTOST VREMENSKIH UJM 119 |
| ZALOGA PITNO VODE 21 | PODNEBNE SPREMENBE SPROŽAJO OBILNJEŠE PADAVIN IN POPLAVE 120 |
| RABA FAL V KMETIJSKIH NAMESTI 22 | PODNEBNE SPREMENBE ZELO POGOSTE 121 |
| NALAGANJE AEROMOLOV V OZRAČU IN KEMIJSKO OMENEGAVANJE 23 | ŠUJE BOJO - POGOSTESE 122 |
| ZAKAJ VREME NI PODNEBJE 28 | ŠUJA V SLOVENIJI 123 |
| KAKO VEMO, DA SE PODNEBJE SPREMINJA 35 | POZARI V NARAVNEM Cikelju 124 |
| PODATKI O PRITEKLJEM PODNEBUJU SO STVILNI 35 | VPLIVI PODNEBNIH SPREMENB NA ENERGETIKO 125 |
| PODNEBNO DOGAJANJE PO ZADNJELJEDENI DOSE 39 | SLO BO ENERGIJA DRAZILAT 125 |
| ZAKAJ SE PODNEBJE SPREMINJA ZAČNJI PIVRSTO LETI? 42 | OBNOVLJIVI VIRI ENERGIJE 127 |
| JE KRVIVO ŠKODA? 42 | VPLIV NA ELEKTROENERGETSKI SISTEM KOT CELOTY 128 |
| VULKANI IN PODNEBJE 46 | SPREMINJIVE ELEKTROENERGETSKEGA SISTEMA POLETI 129 |
| TOPLOGREDNI PLINI 50 | BIOGORIVA - ETANOL IN BIODIZEL 130 |
| UČINKI TOPLA GREDI 51 | PODNEBNE SPREMENBE IN ZDRAVJE 132 |
| ŽIVLJENIČKA ISPORA TOPLOGREDNIH PLINOV V OZRAČUJIN NUDILJIV | VEČ VROČINSKIH VALOV 133 |
| TOPLOGREDNI POTENCIJAL 53 | NOVE ALERGIJE IN BOLESNI 135 |
| KAKO PIVRSTI IN ZAKAJ NARASCAJU VSEBNOSTI TOPLOGREDNIH PLINOV V OZRAČUJIN 54 | PODNEBNE SPREMENBE IN BJOLOŠKA RAZNOVRSTNOST 137 |
| KAKO SMO USTVARILI ANTROPOCEN 58 | VPLIV PODNEBNIH SPREMENI NA TURIZEM 140 |
| ANTROPOCENSE KAKHE S PREMIČOCAMI 60 | TURIZEM KOT GOSPODARSKA DEJAVNOST TUDI PRISPEVA IZPUSTE TOPLOGREDNIH PLINOV 141 |
| SPREMINJENJE FRERANSKE NAVADE 62 | DOBERNA SO DRUGAČNA TURISTIČNA PONUĐENA 143 |
| POSLINA GORIVA - PREDLETSTVO ALI BLAGOŠLJUV? 65 | LAKO PODNEBNE SPREMENBE SPOŽIJU VOLNE? 145 |
| PLANET JE PREDALJHENI ZA NASO BACI 66 | KAKO SE IZOGNITI NEOBVLADljIVEMU IN OBVLADATI NEIZOGIRNO: BLAŽENJE PODNEBNIH SPREMENB IN PRILAGAJANJE NANJE 147 |
| OPOZOVANE SPREMENBE PODNEBJA V ZADnjem STOLETJU 68 | KAJ JE TREBA storiti? 149 |
| SPREMINJATA SE PREDVIRSKA IN ČASOVNA POHAZDELJIVINA PADMIV 71 | BREZ PRILAGAJANJA NE BO SLO 153 |
| KAKO SE ODRAŽAJO PODNEBNE SPREMENBE V SLOVENIJI 74 | CAROBNA PALIČICA: GEONŽENIRING 159 |
| TOPLEGJE-JI 74 | ZASENCIMO SONCE, POSNEMAJMO VULKANE! 160 |
| SPRŠNJENJA SE VOČATI KROG 76 | ZNEBIMO SE OGLEDKOVEGA DIOKSIDA 162 |
| PA SE EKSTREM? 78 | ZAJEM IN SKLADUŠENJE OGLEDKOVEGA DIOKSIDA 163 |
| NAPovedi PODNEBja V PRIRODNI JE 81 | ČUDENIH REŠITEV NI 167 |
| KAKOČNI SCENARIJI RAZVOJA DRUŽB IN GOSPODARSTVA 83 | MLAČNI ODZVI DRUŽBE IN POLITIKE 169 |
| POTNEBLJUJMO TUDI MODELE 85 | POZNA LERČLJE Iz ZGODNjih SVARIL 170 |
| KAJ LAHKI PRIČARUJEMO? 87 | RAJE ZANKAMO, KOT DA BI UKKEFALI 171 |
| REGIONALNE SPREMENBE PODNEBLJA - KAJ PA EvROPA 90 | POLITIKA ZAVLACIJE 174 |
| KAKO BO V SLOVENIJI 92 | KJE SE TAKO ZAPLUTI? 175 |
| PREDVIDNOST PRI INTERPRETACIJI NAPovedi 94 | MEDVIJDNI ODBOR ZA PODNEBNE SPREMENBE (POC) 181 |
| ZAKAJ SE BOJIMO PODNEBNIH SPREMENB 98 | TRAGEDIJA SKRIPNEGA 182 |
| VPLIVI PODNEBNIH SPREMENB NA PRELIJANSKO VARNOST 98 | KAKŠEN JE MOJ VPLIV? 185 |
| NEKATERI VPLIVI PODNEBNIH SPREMENB BOJO DOBRODOBRI 100 | ZAČNE SE PIJ PORABLJENIH KILOVATNOH UKAH 186 |
| VEČINA VPLIVOV PODNEBNIH SPREMENB BOJ NEUGODNIM 102 | KOLIKO ENERGIJ PORABIM NA DAN? 188 |
| VPLIVNA ČIKE 105 | PREVODI 188 |
| VPLIVNA ZIVINDREHO 106 | OGREVALJE, SEGREVANJE, PRAHJE IN PODORNDO 189 |
| | HLAJENJE 191 |
| | RAZSVETLJAVA 192 |
| | BLIKTRONSKI PREPOMOCI 192 |
| | HRANA IN KMETIJSTVO 194 |
| | STVARI IN LUDILEJ 196 |
| | HMBALAŽA 197 |
| | RAČUNALNIKI 198 |
| | ČASOPIS, REVLE IN OSTALA NUŽKENA POSTA 198 |
| | VEČJE STVARI 199 |
| | PREVAŽANJE BLAŽA IN TRGOVINA 200 |
| | JAVNE SLUŽBE 201 |
| | KOLIKO TORJEM PORABIM ENERGIJE? 202 |
| | Z VELIKIM KOBARI SE PRIDE DALJ KOT Z MAJHNIMI 203 |

Sprememba kulture in okolje

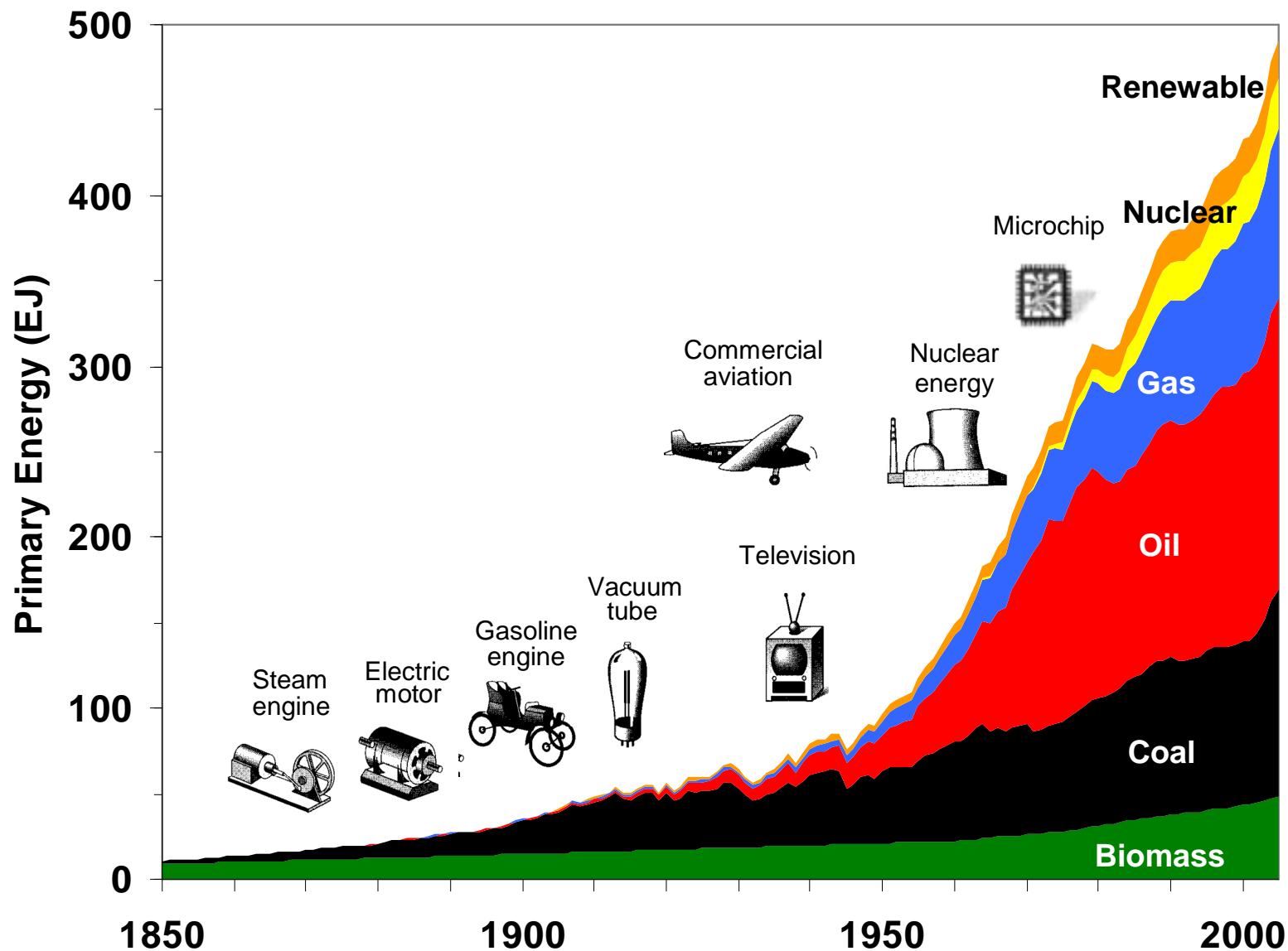
3 velike spremembe

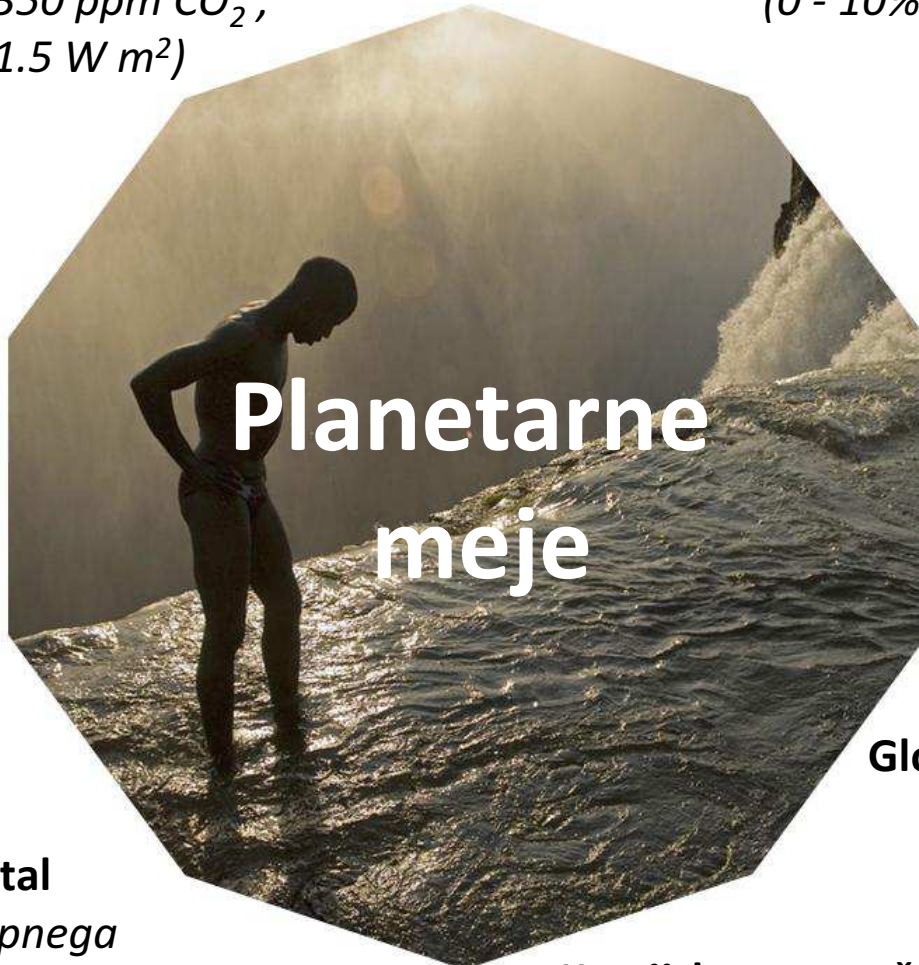
- Kmetijska revolucija
 - Začela pred 10-12 tisoč leti
- Industrijska revolucija
 - Pred 150 leti
- Informacijska in globalizacijska revolucija
 - Pred 50 leti

Na Zemlji nas je vse več in tudi drugače živimo kot pred 200 leti...



Svetovna primarna energija





Podnebne spremembe

$325 \text{ ppm } CO_2 < 1W \text{ m}^2$
 $(300 - 350 \text{ ppm } CO_2;$
 $1-1.5 W \text{ m}^2)$

Biogeokemijsko obremenjevanje ciklov N in P

Omejitev ind. fiksacije N_2 na $35 \text{ Tg N leto}^{-1}$
 $P < 20\%$ dotoka v oceane

Izguba Biodiverzitete

$< 10 \text{ E/Mio leto}$

Raba tal

$\leq 15\%$ kopnega pod poljščinami

Tanjšanje ozonske plasti

$< 5\%$ predindustrijske 290 DU
(0 - 10%)

Antropogeni Atmosferski aerosol

?

Zakisanje oceanov

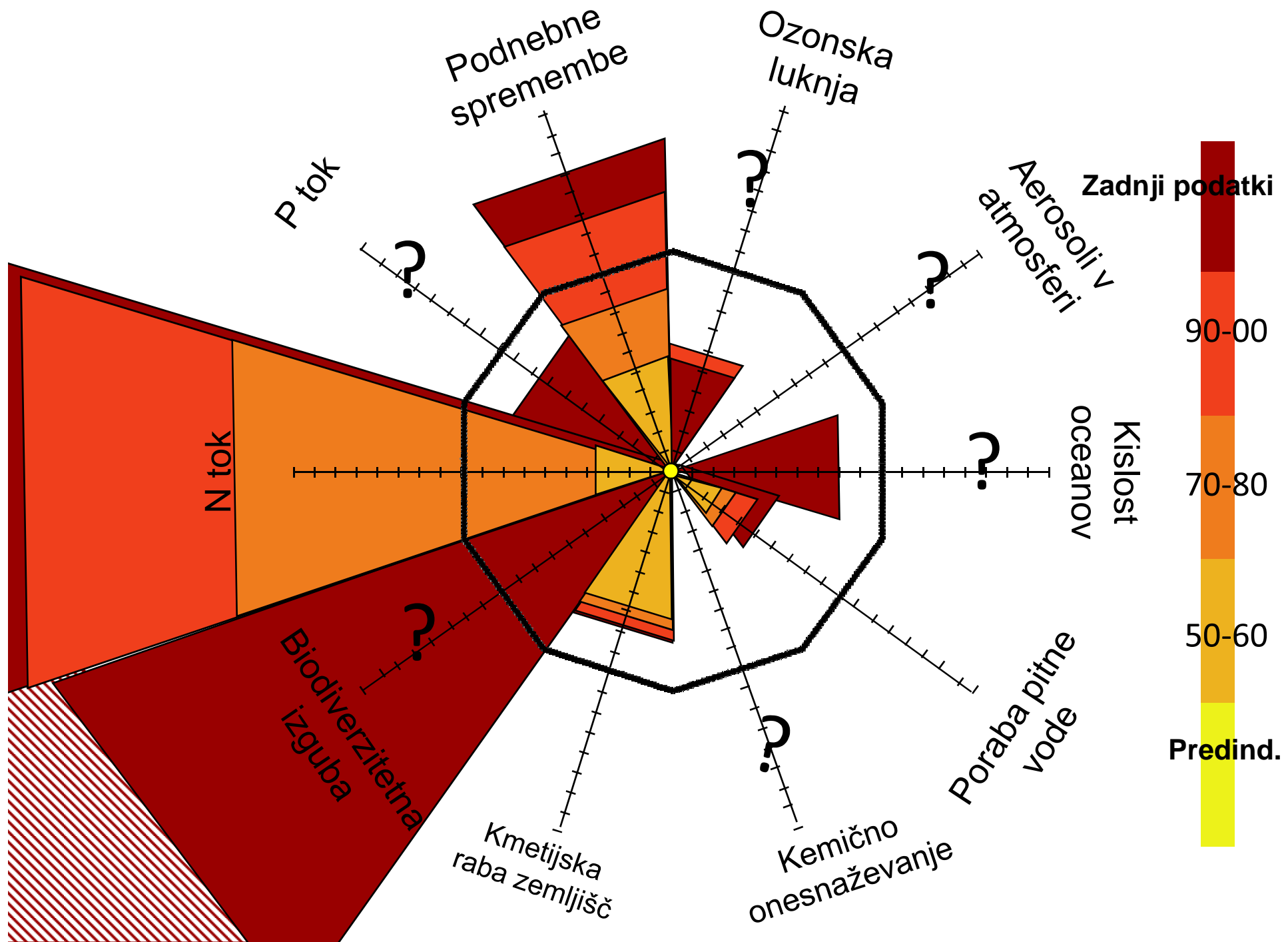
Aragonitno razmeje zasičenosti $< 20\%$ pod predindustrijsko ravnjo

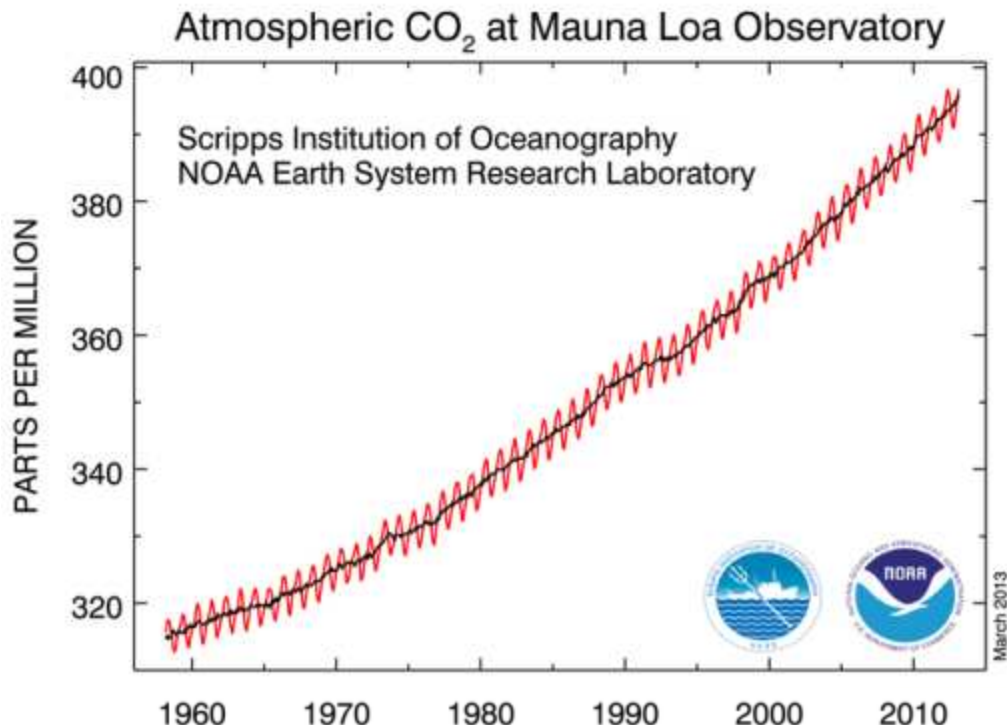
Globalna raba sladke vode

$< 4000 \text{ km}^3/\text{yr}$
 $(4000 - 6000 \text{ km}^3/\text{yr})$

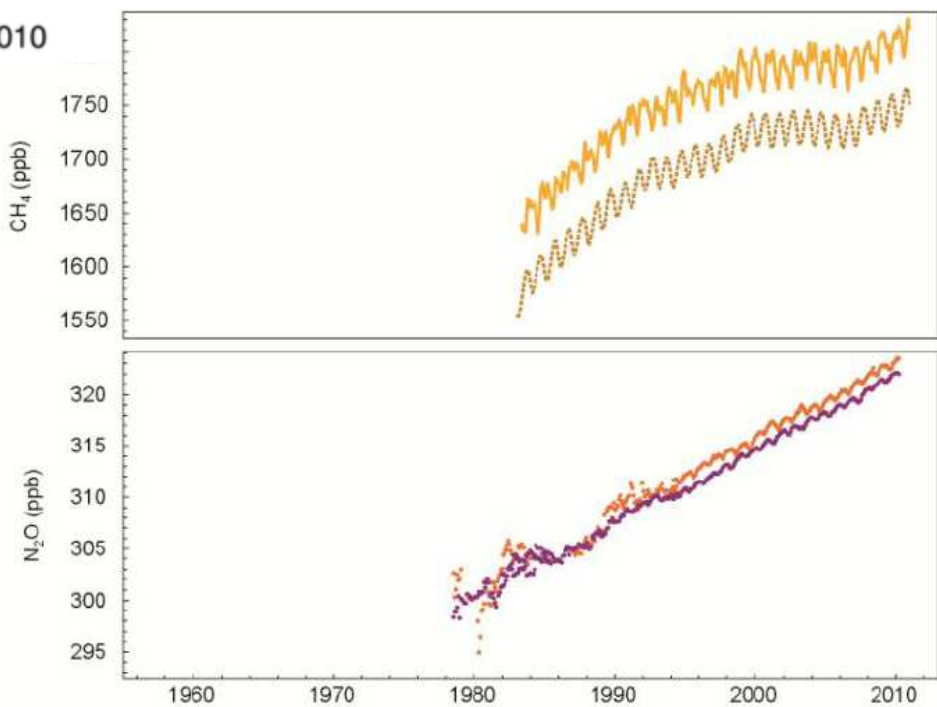
Kemijsko onesnaženje

Plastika, homonski motilci, jedrski odpadki
?

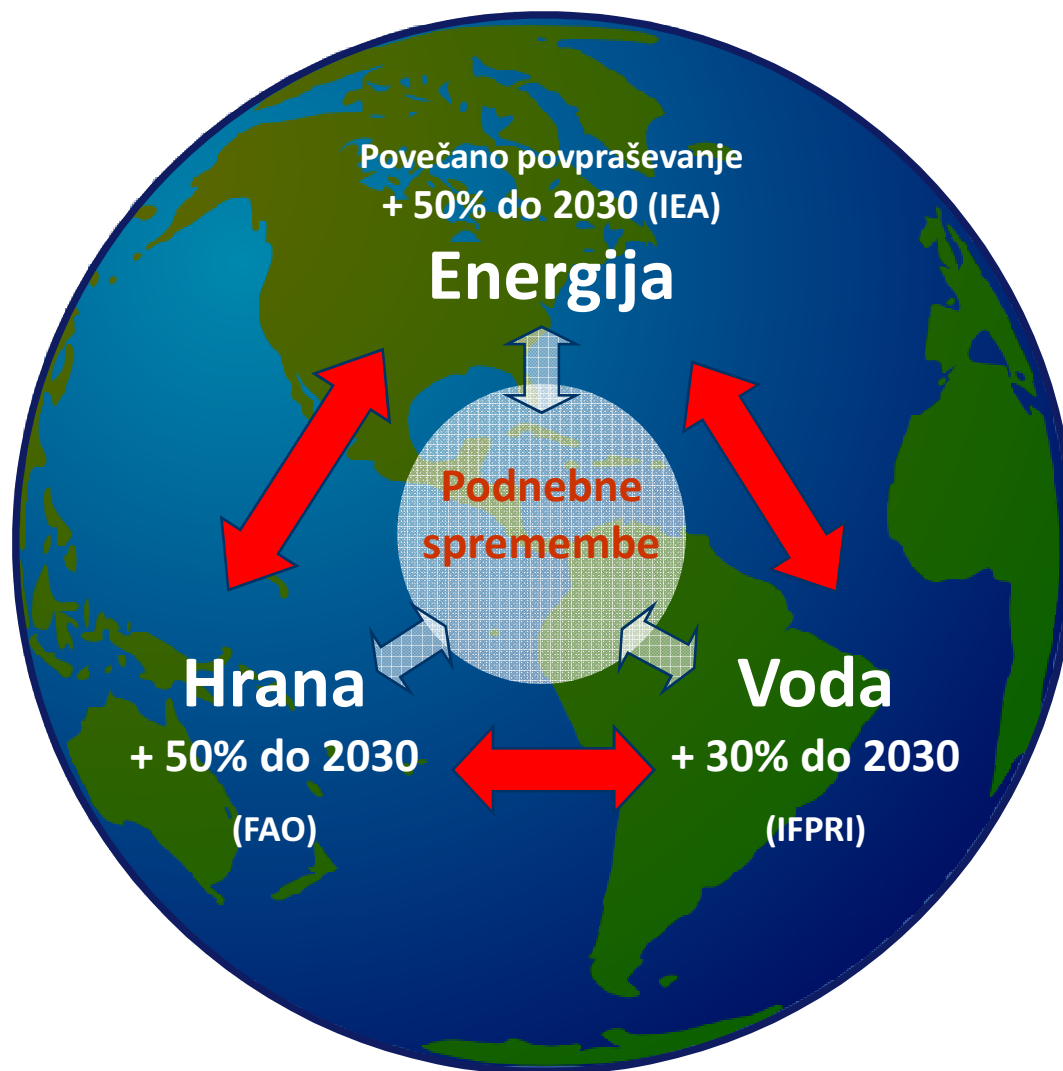




Vsebnost TGP v
ozračju narašča

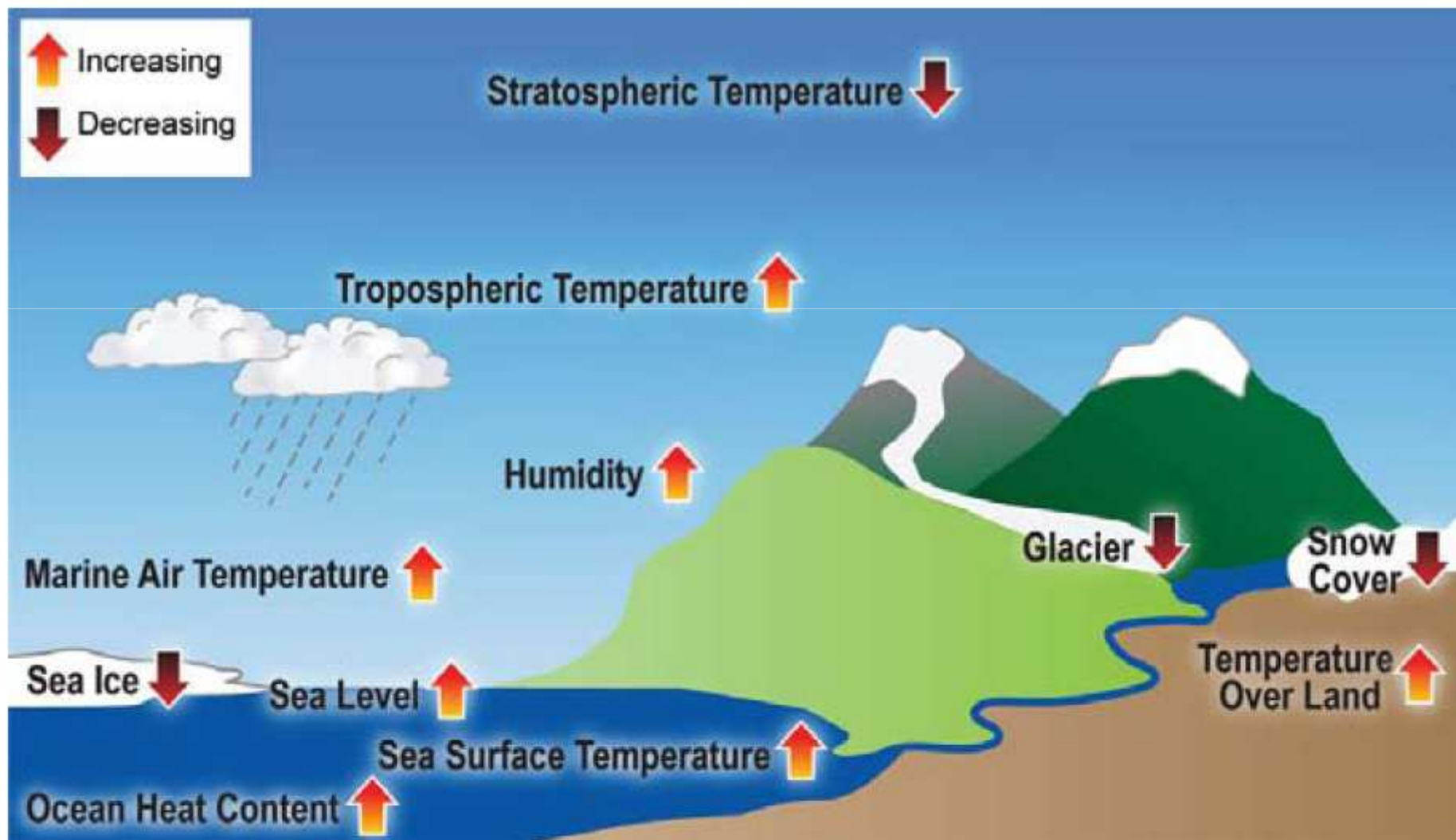


Ključna vprašanja prihodnosti



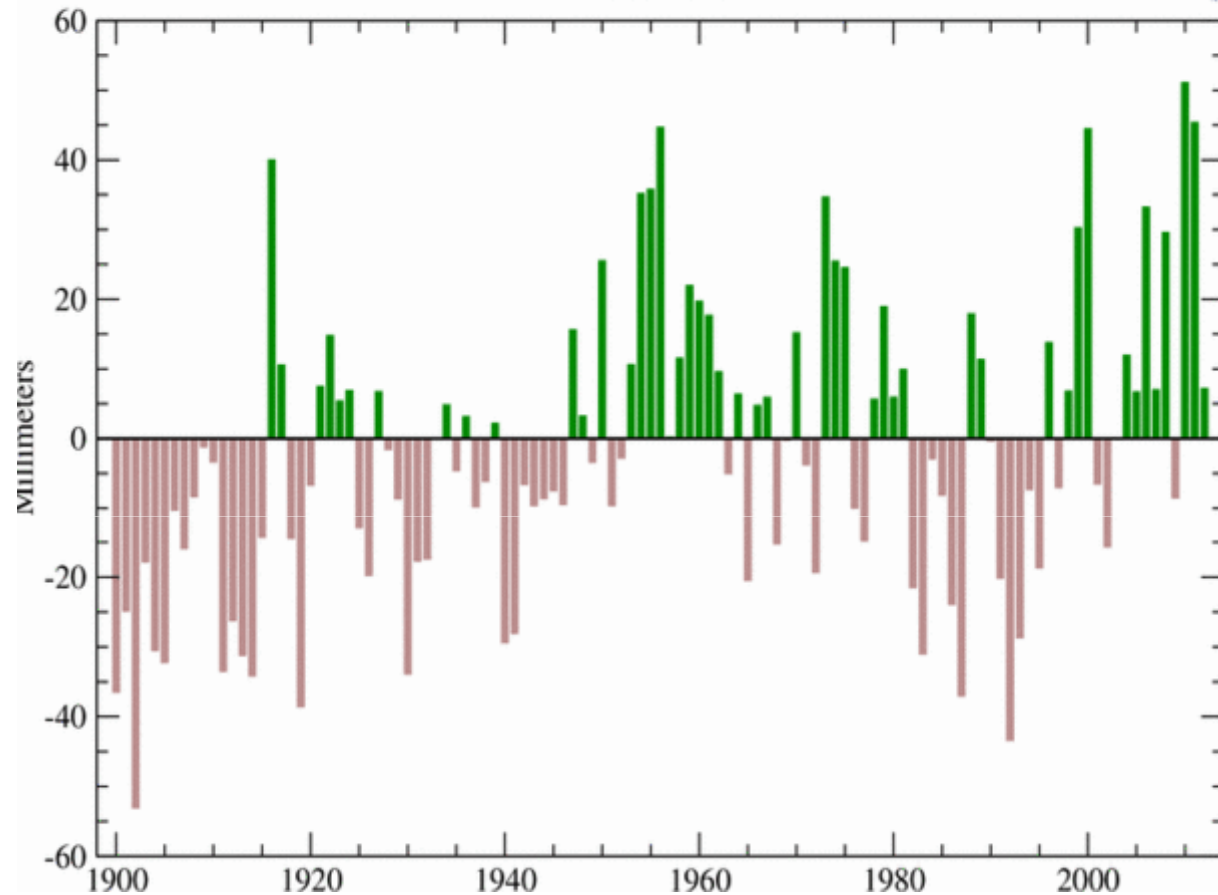
Beddington, 2009

Smer opazovanih sprememb podnebja



January-December Precipitation Anomalies

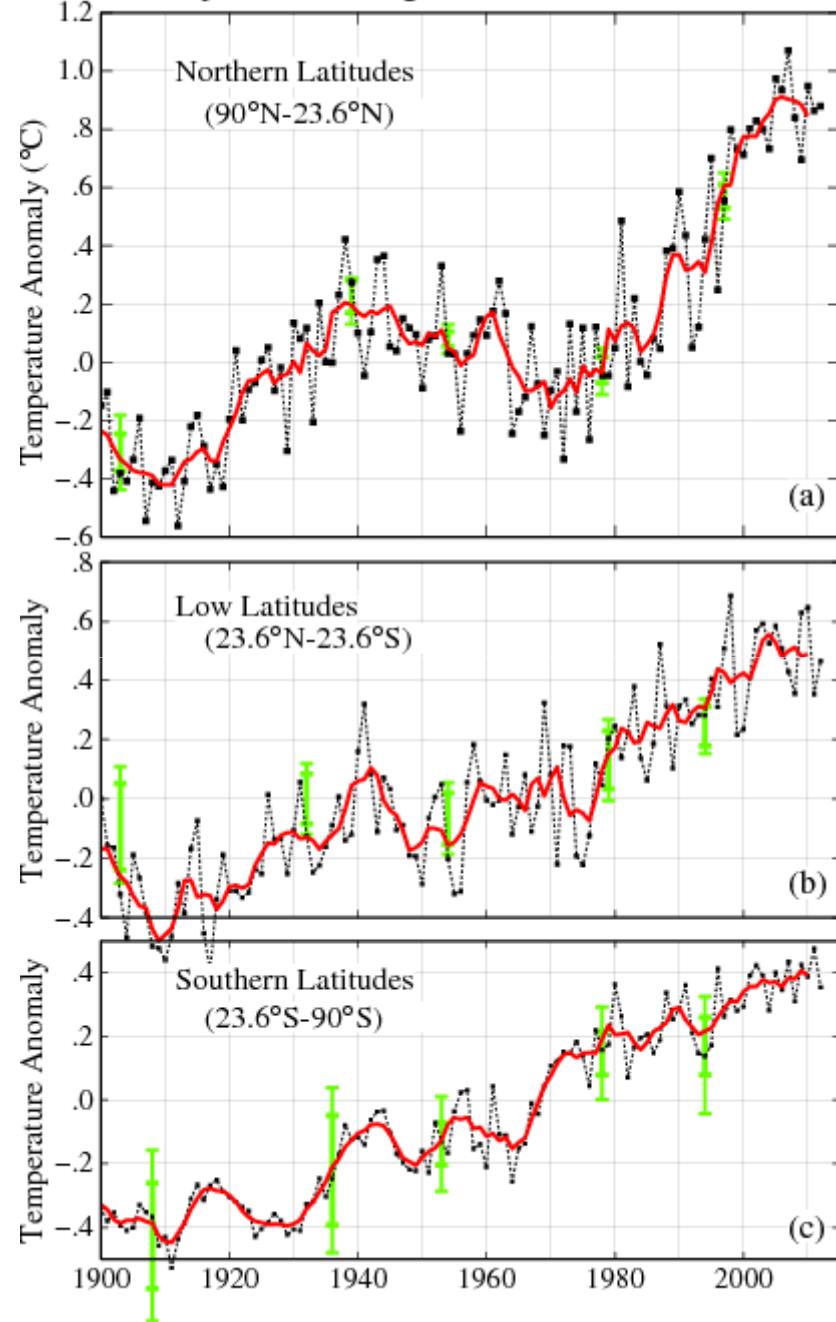
1900-2012



Globalna
količina padavin
nekoliko
narašča, nad
kopnim pa
upada.

Vir: NOAA, 2013

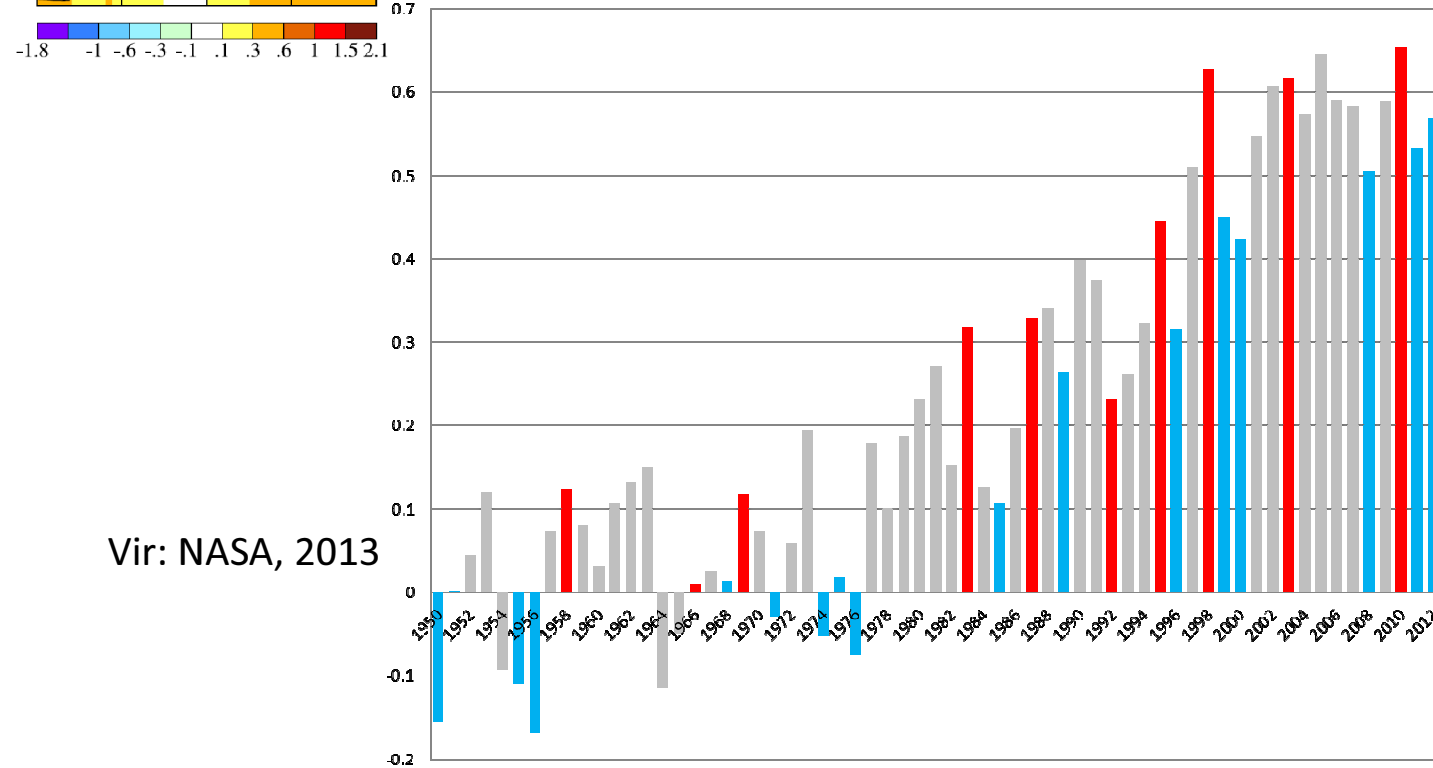
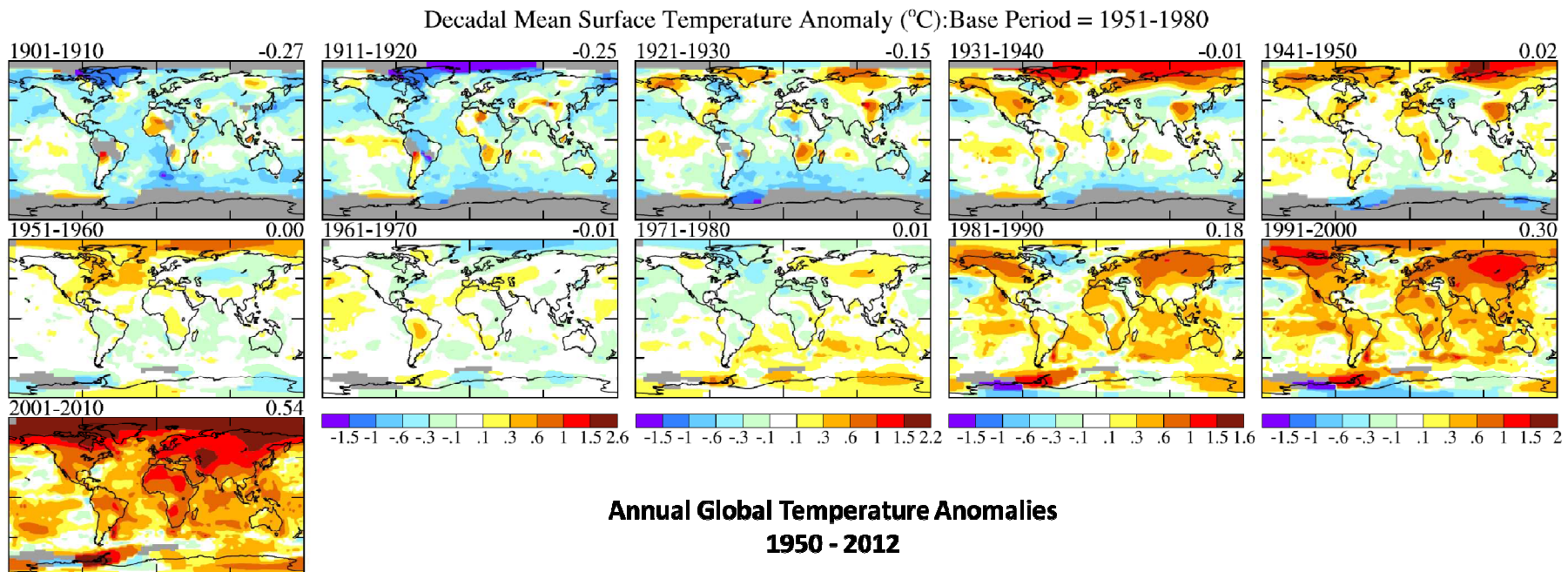
Temperature Change for Three Latitude Bands



Ogrevanje planeta ni
povsod enako veliko,
najmočnejše je na
severni polobli

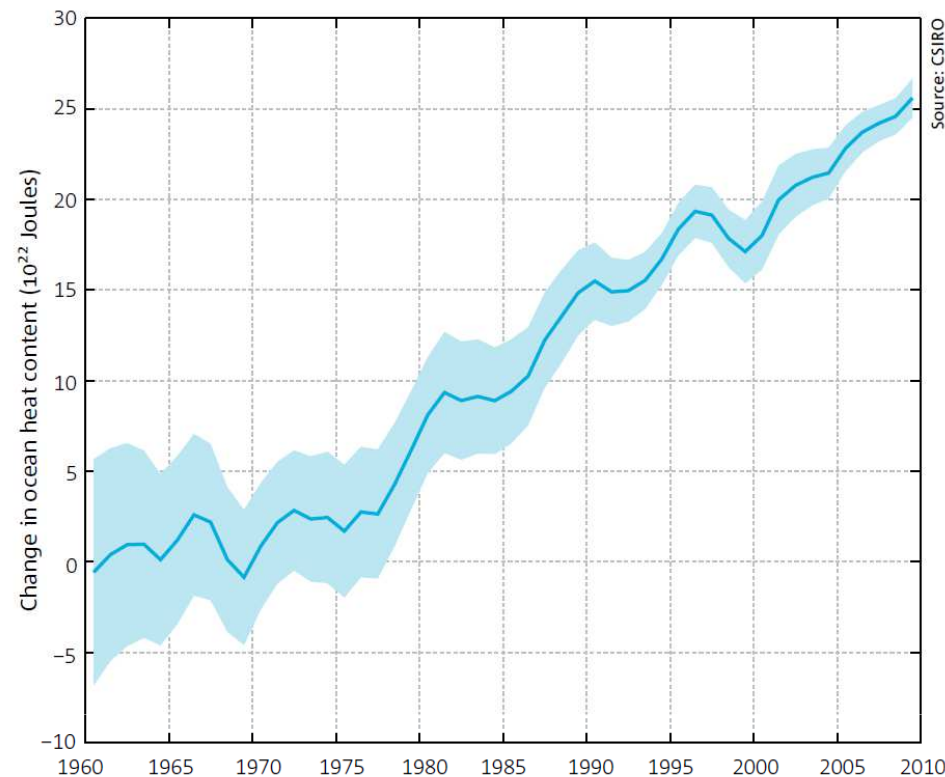
Vir: NASA, 2013

[http://data.giss.nasa.gov/gistemp/
graphs_v3/](http://data.giss.nasa.gov/gistemp/graphs_v3/)



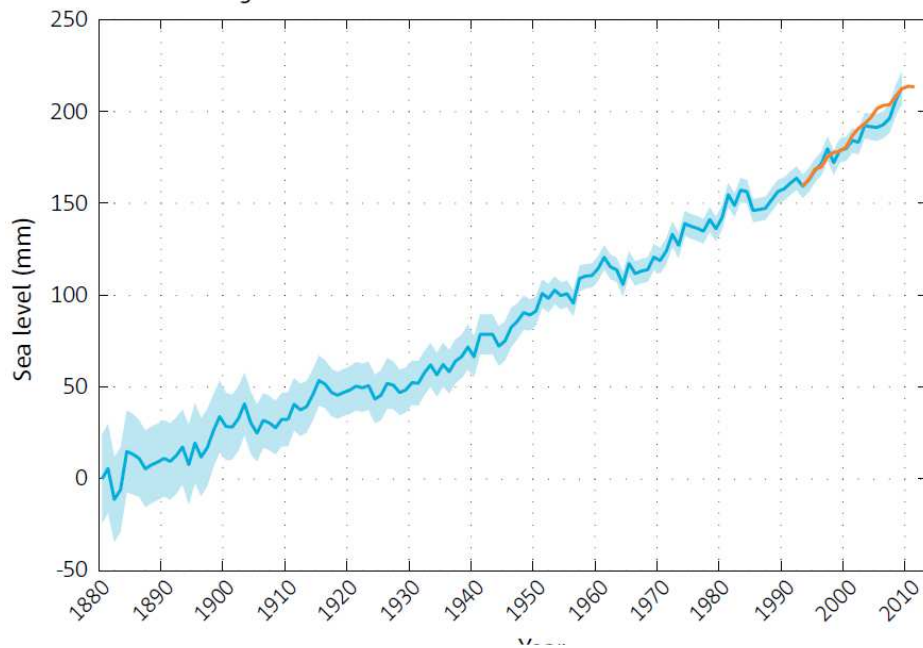
Vir: NASA, 2013

2012 je bilo
najtoplejše leto
z La Niňo



Ocean heat-content change
1960 - 2009, relative to 1970.

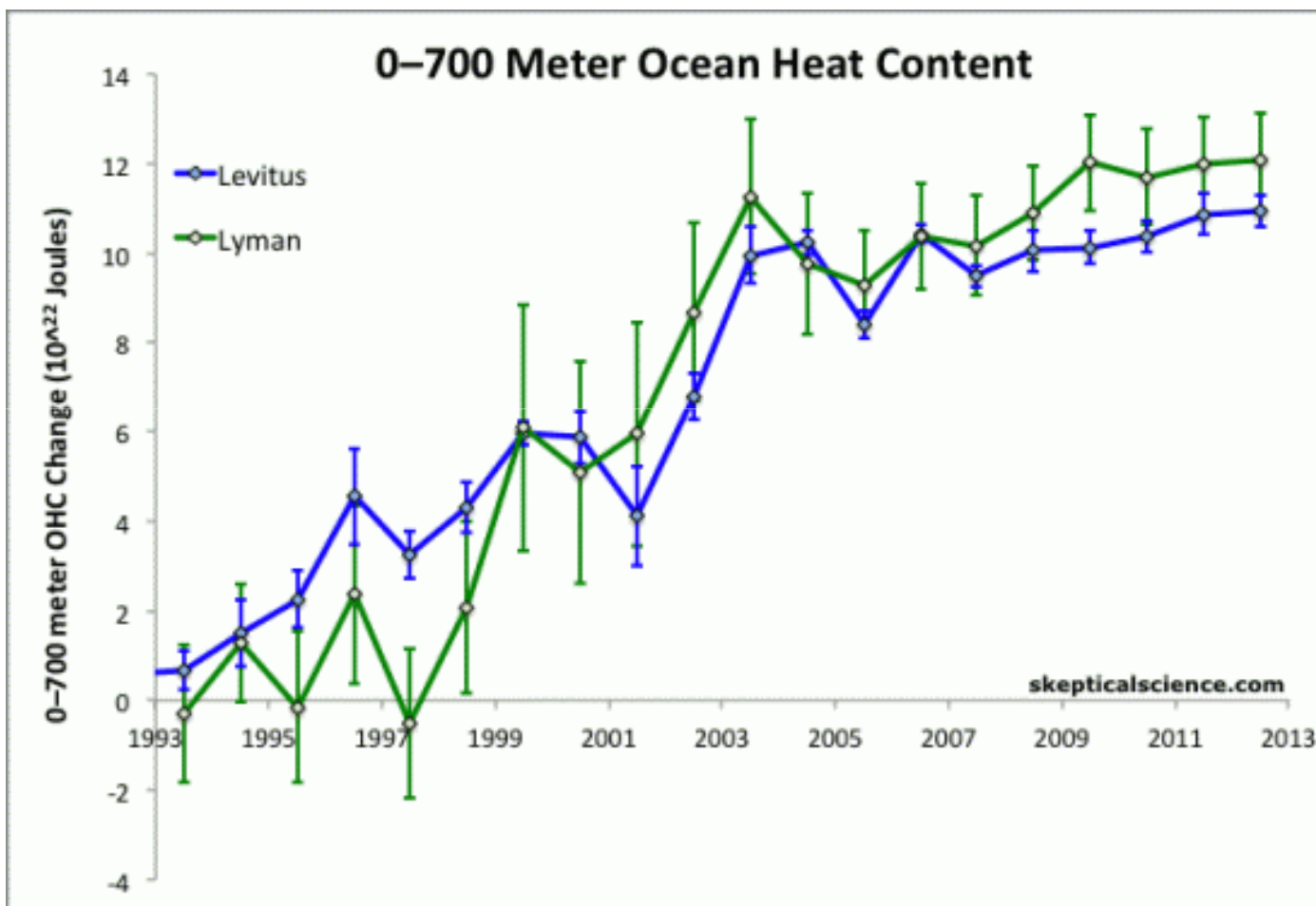
Source: CSIRO



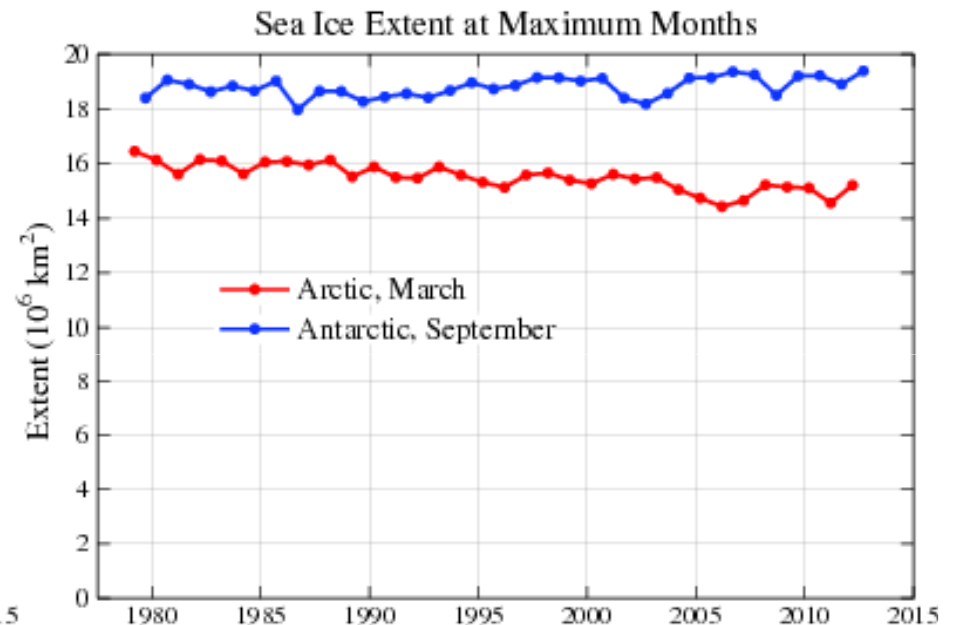
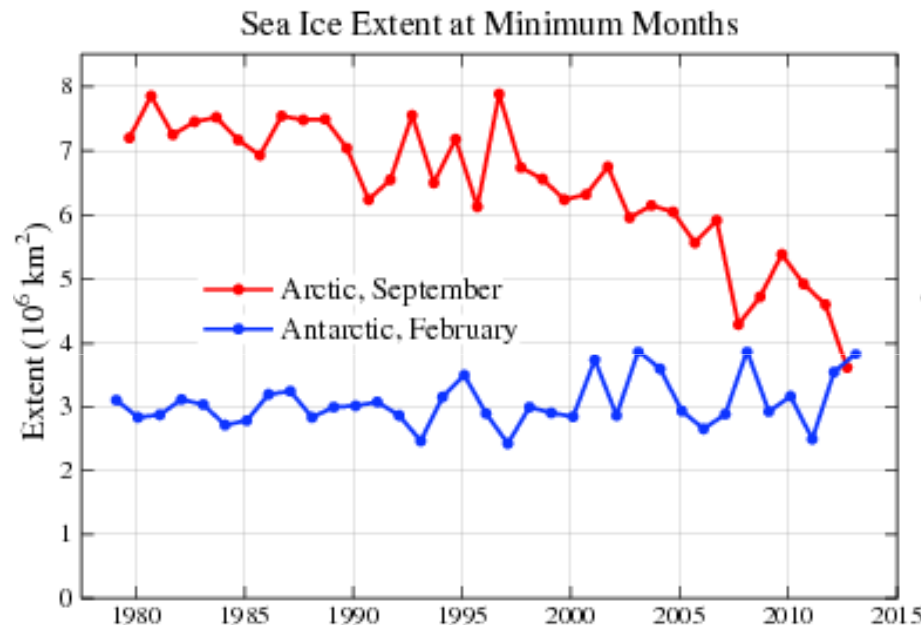
Global-average MSL
1880 - 2011

CSIRO, 2012

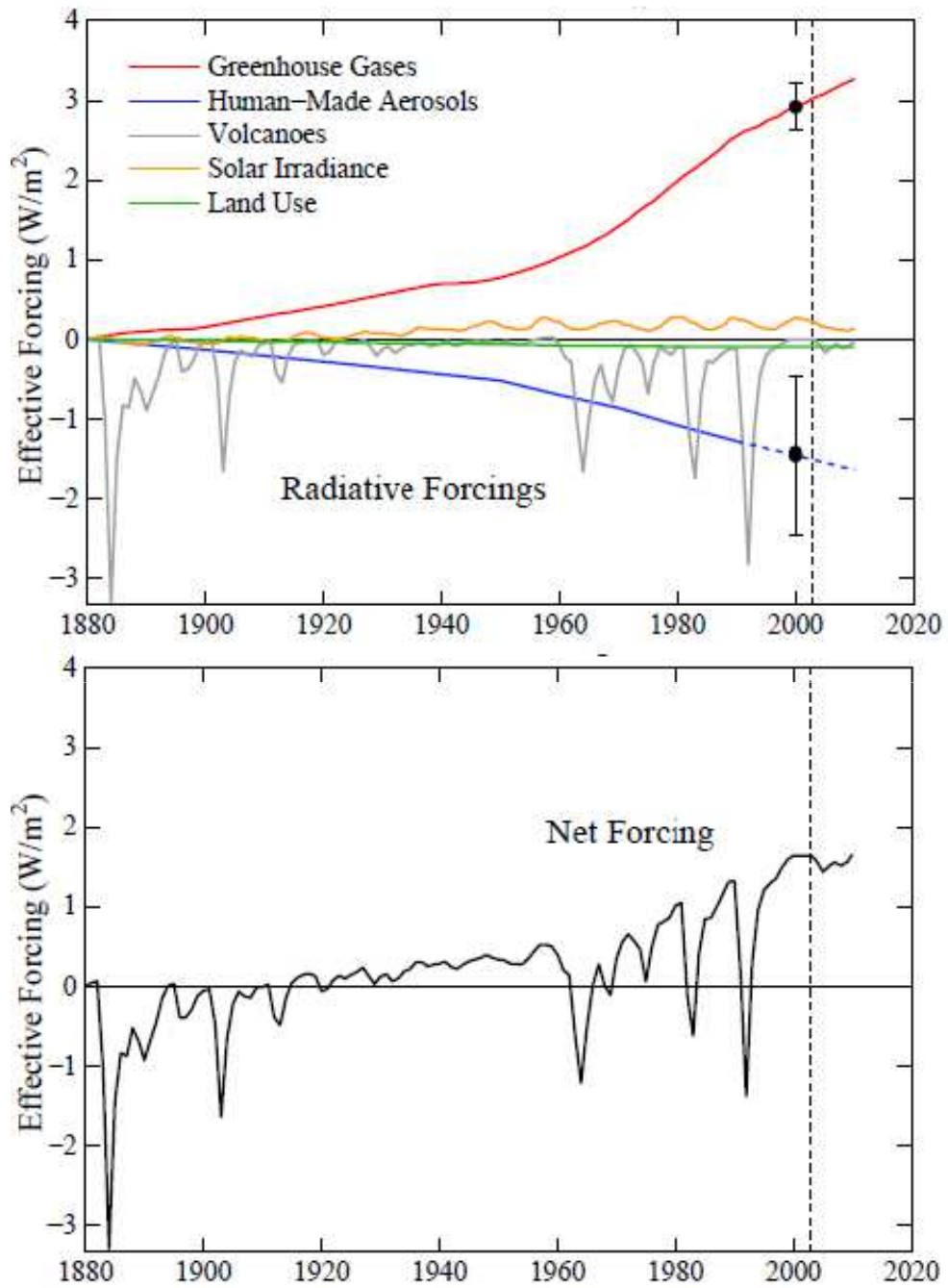
The Levitus methodology fills data gaps with the averaged value of the available data, which has the tendency to underestimate any anomalies. The Lyman methodology infills the data gaps with anomalies from nearby grids.



Dogajanje na Arktiki in Antarktiki (morski led)



Vir: NASA, 2013

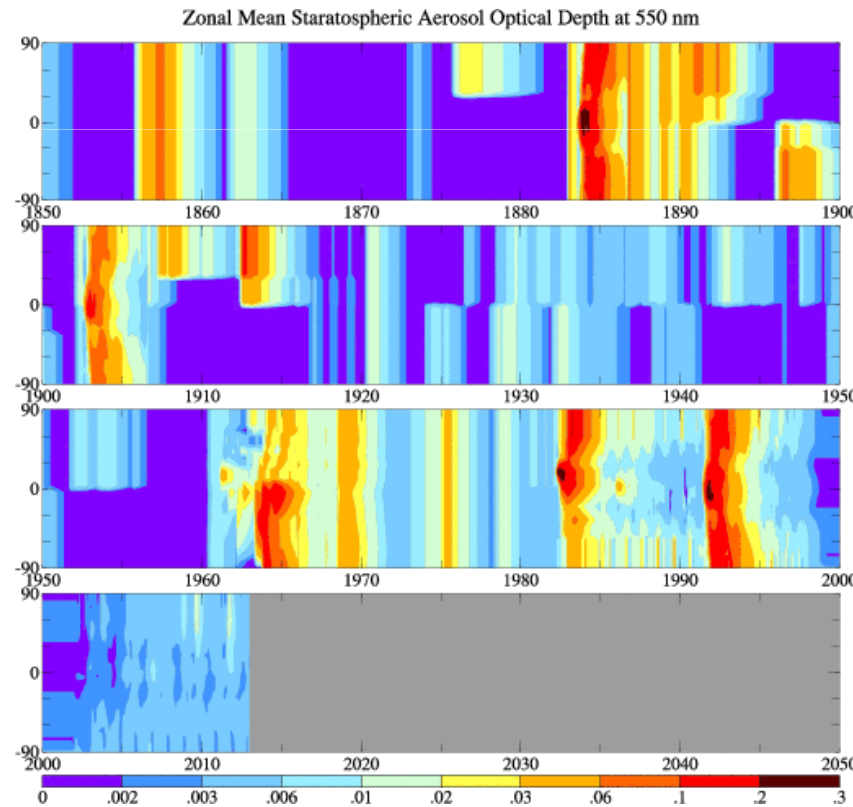
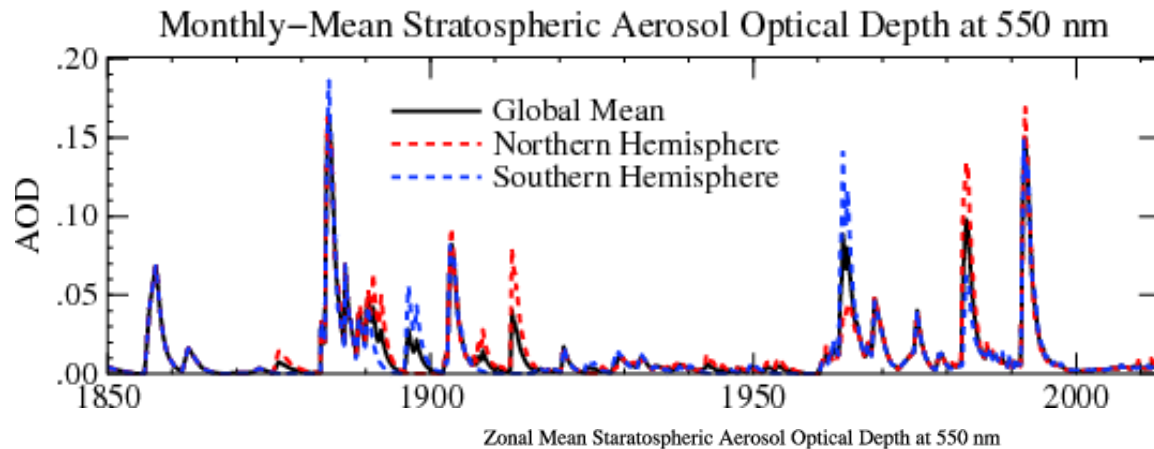


K spremembam globalne energijske bilance planeta vedno prispeva več dejavnikov hkrati

Vir: NASA, 2013

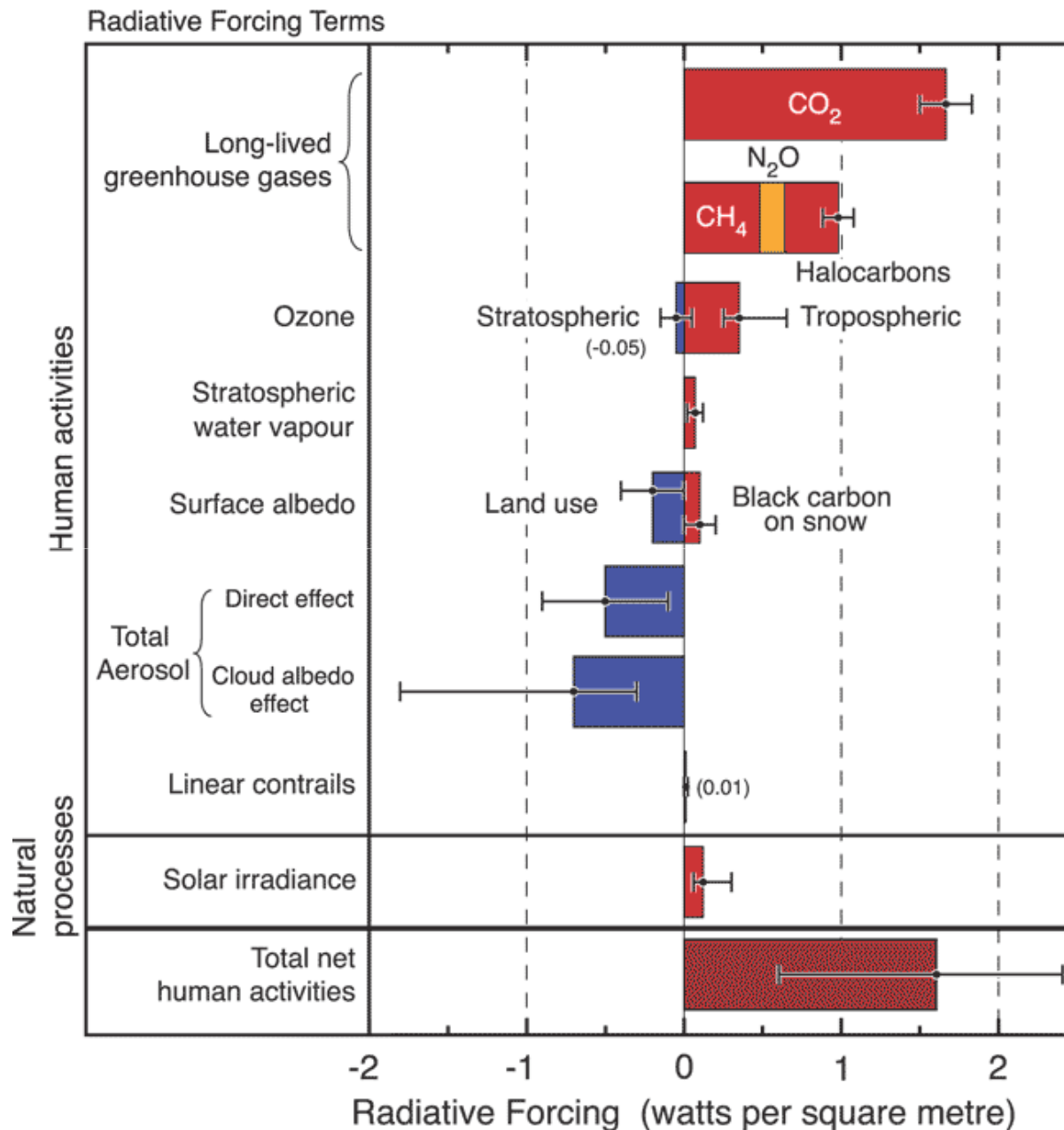
http://data.giss.nasa.gov/gistemp/graphs_v3/

Vpliv vulkanov na stratosferski aerosol



www.columbia.edu/~mhs119/StratAer/

Radiative forcing of climate between 1750 and 2005

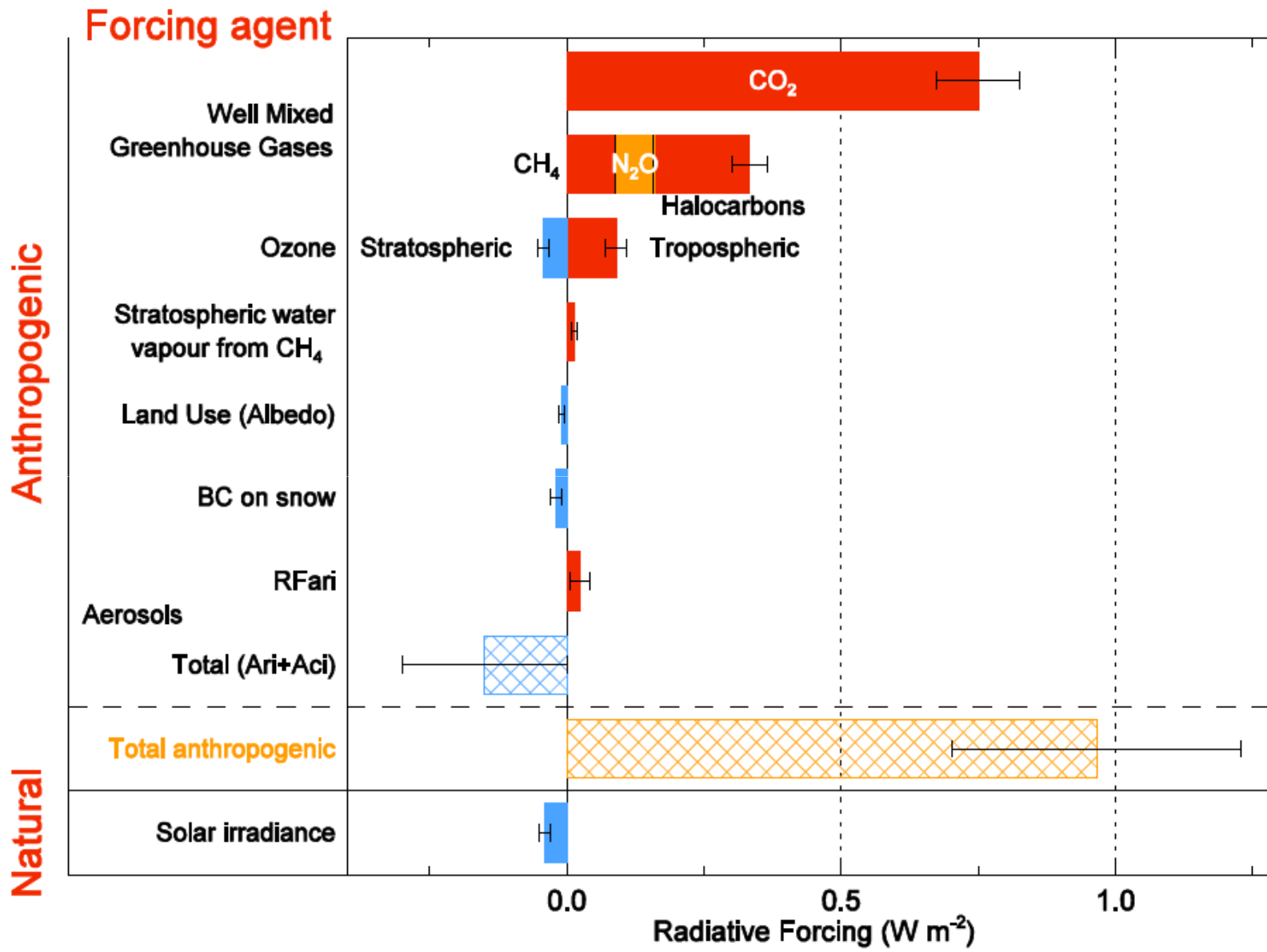


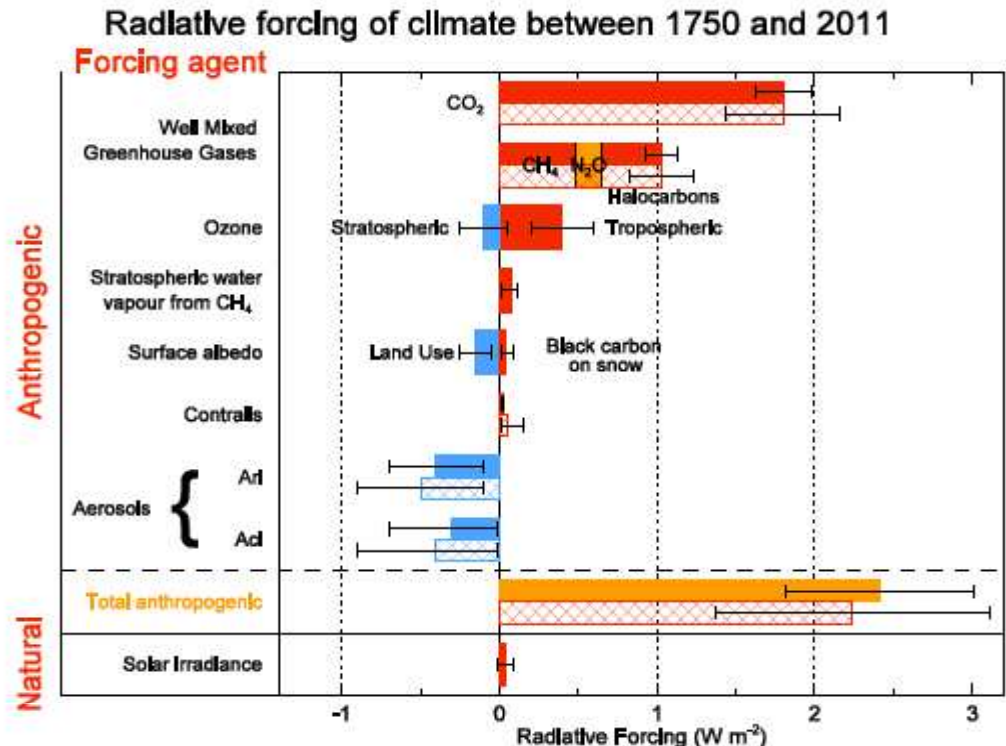
Enačbe za računanje sevalnega prispevka (radiative forcing)

Table 1: Equations to calculate radiative forcing relative to a preindustrial (1750 A.D.) reference concentration (C_0). The overlap in absorption bands between N_2O and CH_4 is taken into account using the overlap function $f(M,N)=0.47 \ln(1+2.01\times 10^{-5} (MN)^{0.75} + 5.31\times 10^{-15} M(MN)^{1.52})$. For many practical purposes, this correction term can be neglected. Formulations for additional greenhouse gases can be found in [Joos *et al.*, 2001; Ramaswamy *et al.*, 2001]

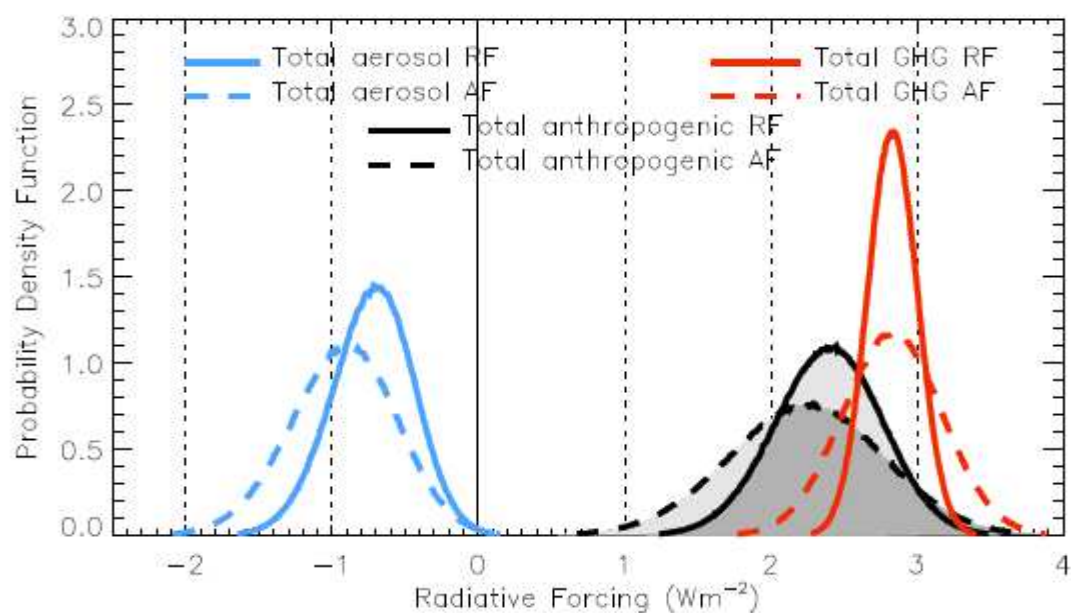
| agent | equation | C_0 |
|--------|---|---------|
| CO_2 | $RF = 5.35 \text{ W m}^{-2} \ln(CO_2/CO_{2,o})$ | 278 ppm |
| CH_4 | $RF = 0.036 \text{ W m}^{-2} (\sqrt{CH_4} - \sqrt{CH_{4,o}}) - (f[CH_{4,o}, N_2O] - f[CH_4, N_2O])$ | 742 ppb |
| N_2O | $RF = 0.12 \text{ W m}^{-2} (\sqrt{N_2O} - \sqrt{N_2O_o}) - (f[CH_{4,o}, N_2O] - f[CH_4, N_2O])$ | 272 ppb |
| CFC-11 | $RF = 0.25 \text{ W m}^{-2} (CFC-11 - CFC-11_o)$ | 0 ppt |
| CFC-12 | $RF = 0.32 \text{ W m}^{-2} (CFC-12 - CFC-12_o)$ | 0 ppt |

Radiative forcing of climate between 1980 and 2011

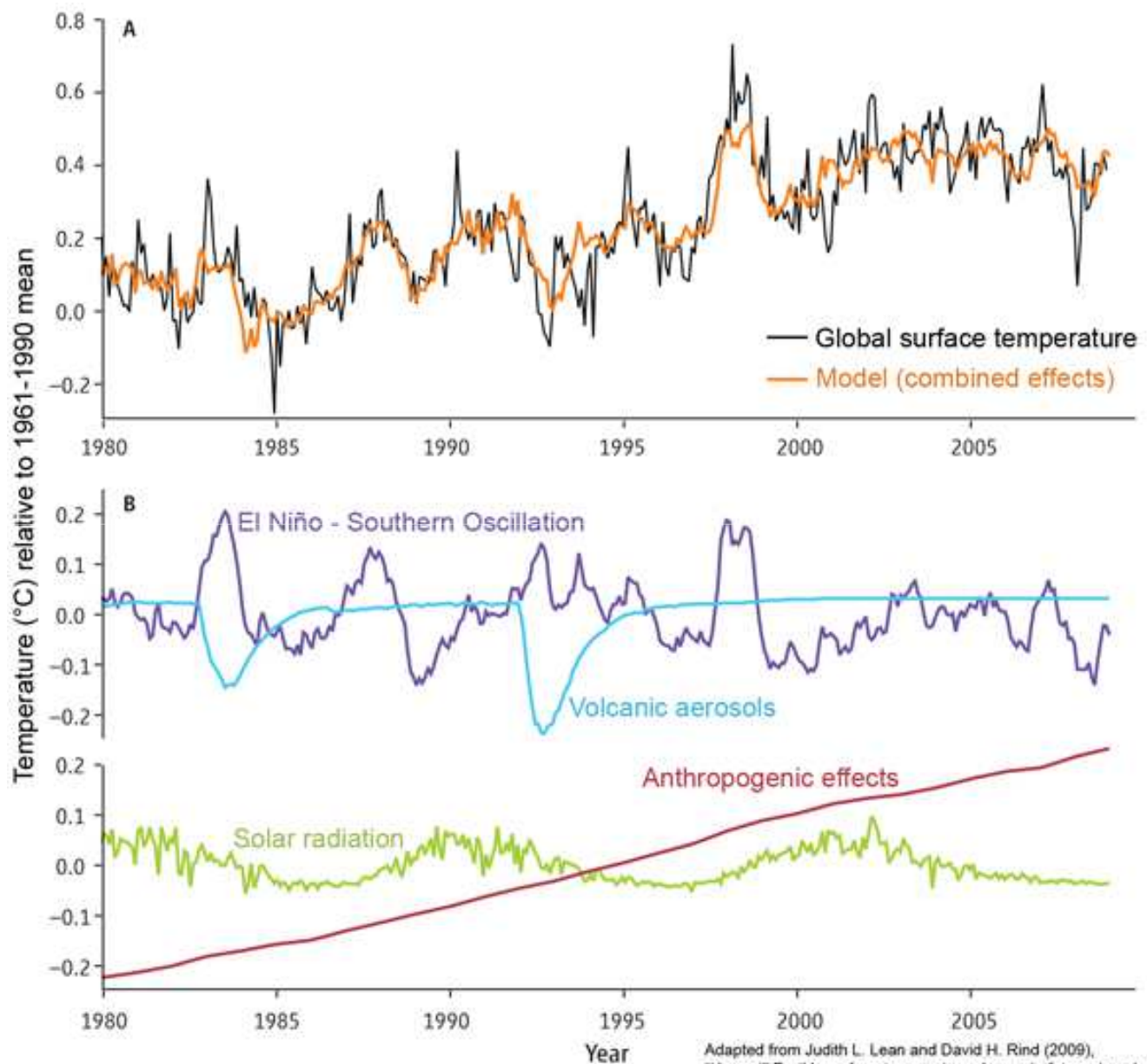




- Radiative Forcing for the well-mixed greenhouse gases depend on how their concentration have evolved, and are very well understood.
- Aerosoli ustvarjajo “negativni” sevalni prispevek (radiative forcing)

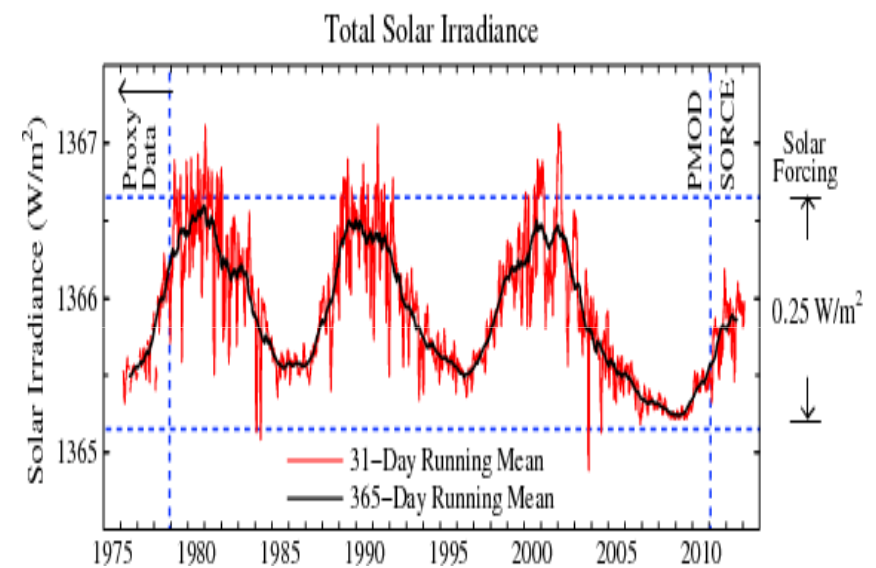
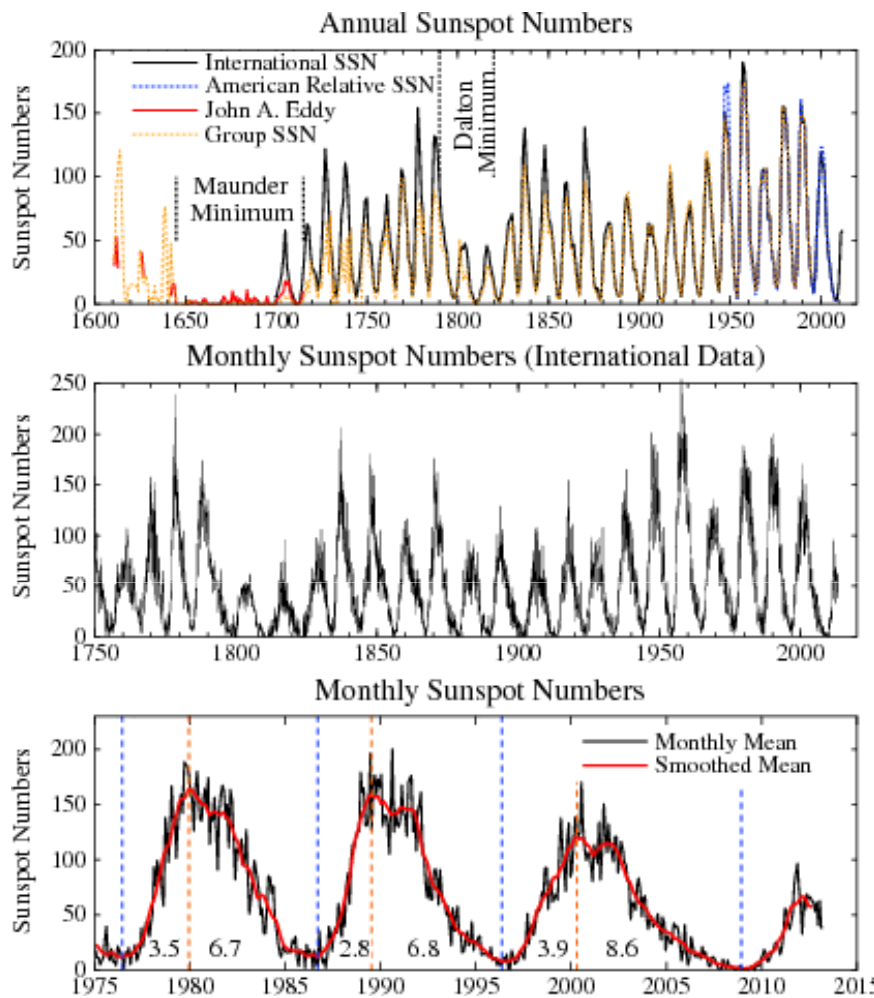


IPCC AR5, Second Draft



Tudi k spremembam
globalne
temperature pri tleh
vedno prispeva več
dejavnikov hkrati

Obnašanje Sonca postaja nepredvidljivo?



<http://www.columbia.edu/~mhs119/Solar/>

A1

Hyper individualism

Business class

Markets first

Creative societies

Market World

Changing course

'The end of history'

New global age

Global sustainability

Cybertopia

'Our Common Future'

Policy first

Just do it

The hundred flowers



Shared responsibilities

Have & have-nots

Ecologically driven

Over the edge

Sustainability first

Security first

New Empires

Regional stewardship

Provincial enterprise

Prism

Transformed World

'Clash of civilizations'

Cultural pluralism

'No Logo'

Change without progress

Great transitions

Fortress World

Battlefield

Voluntary simplicity

Barbarization

Tribal society

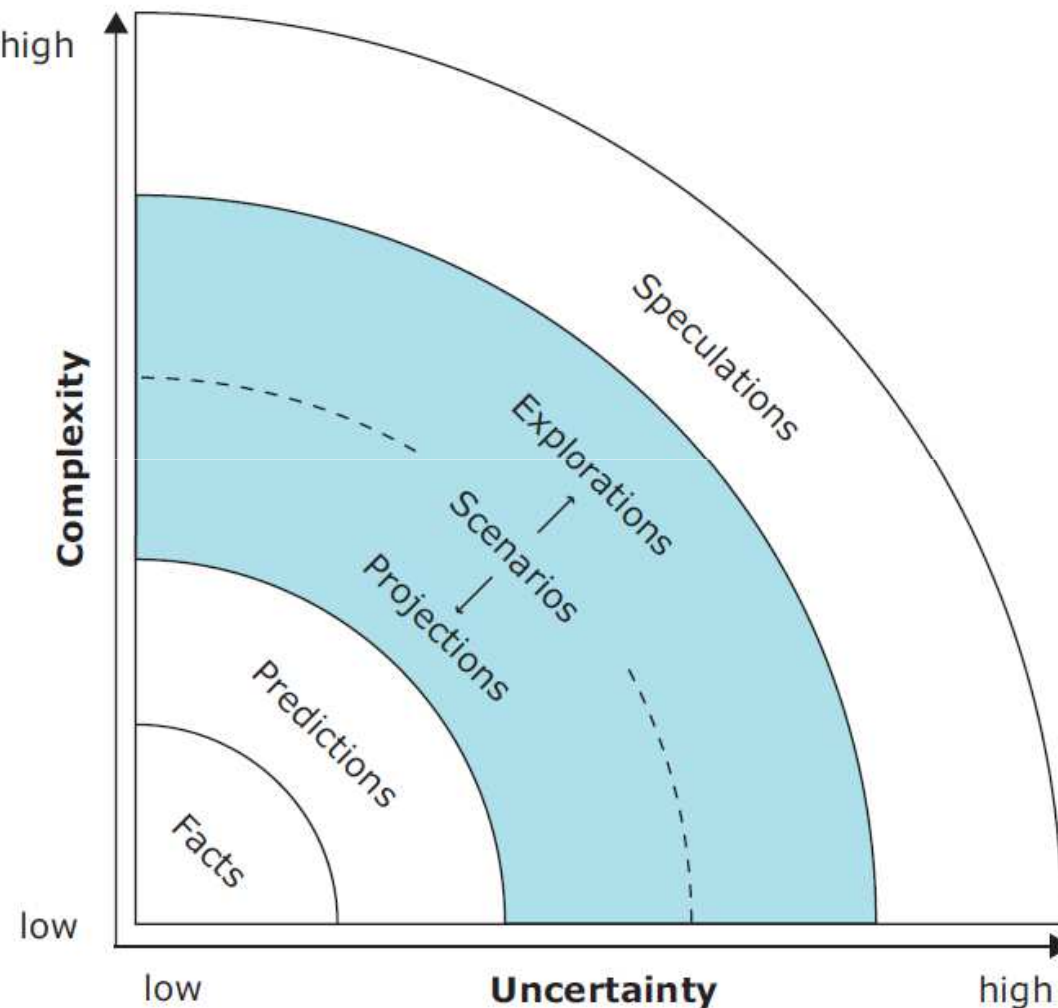
Local stewardship

B1

A2

B2

Razlike v kompleksnosti ter negotovosti pri dejstvih, napovedih, projekcijah, scenarijih in ekstrapolacijah

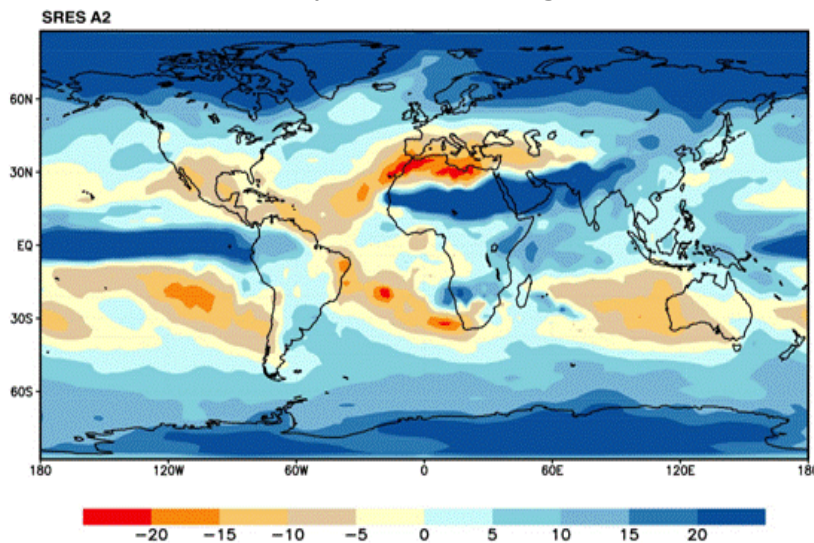
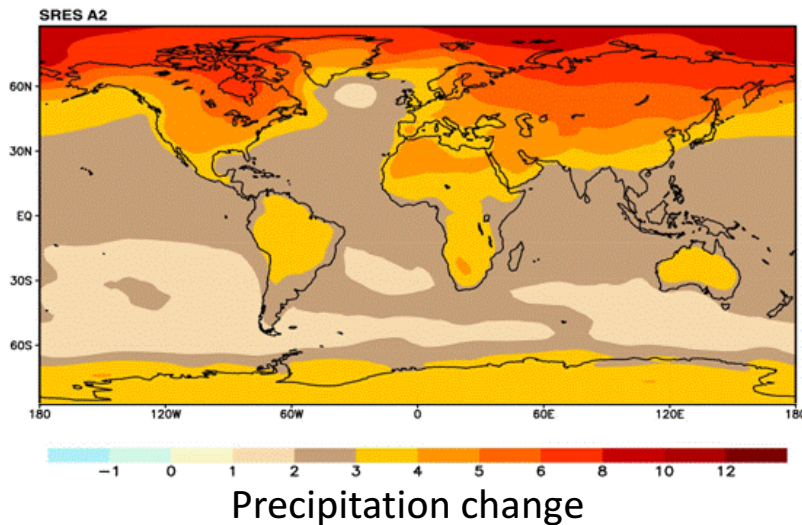


EEA, 2008

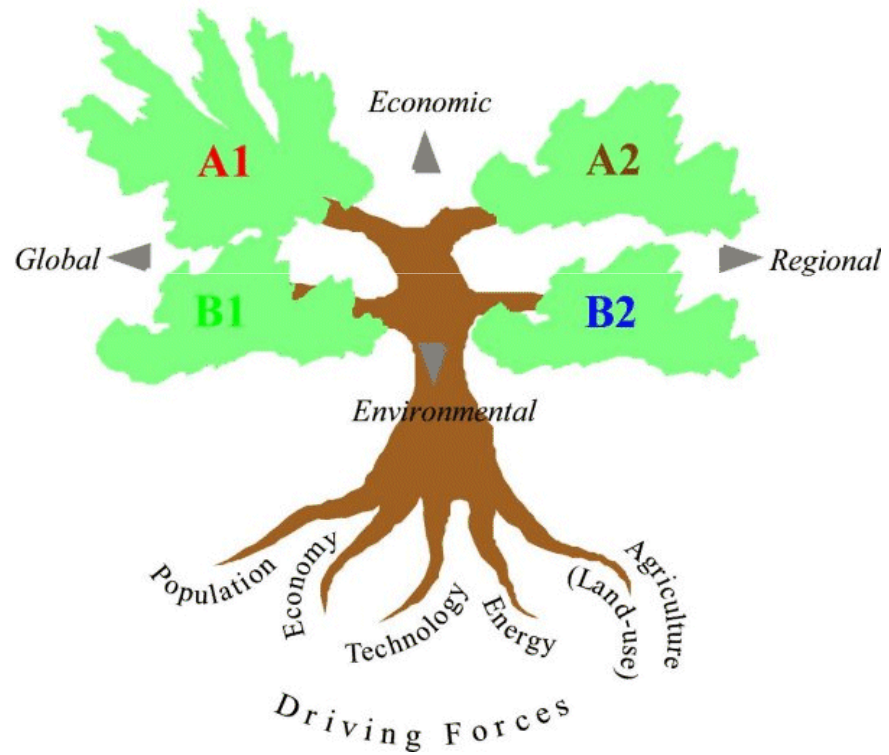
Climate and IPCC Socio-economic Scenarios (SRES)

Climate model Had CM2 2050

Temperature change

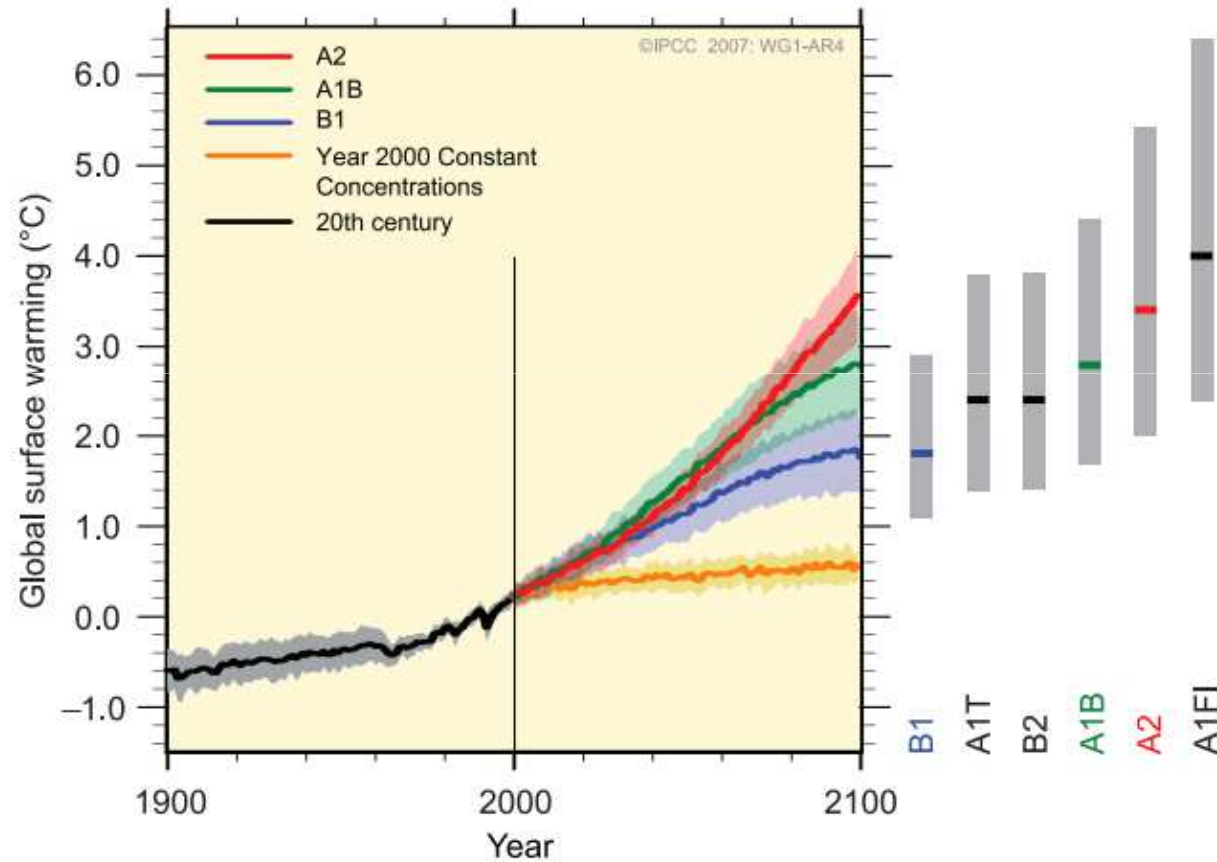


SRES Scenarios



Nakicenovic and Swart, 2000

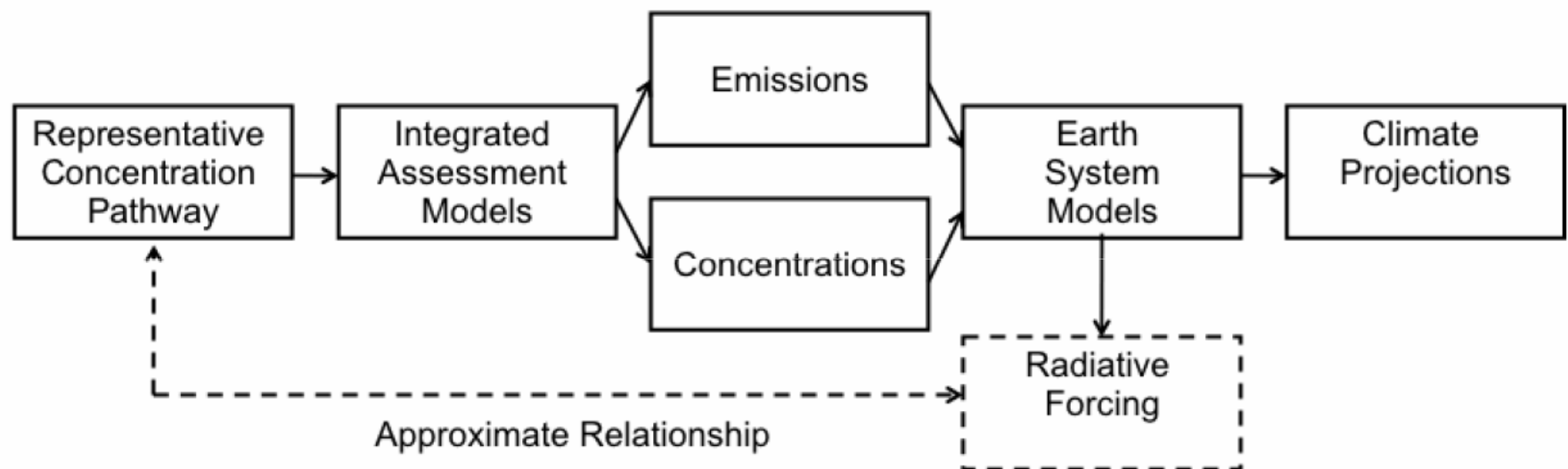
“Stari” scenariji



2013 Novi scenariji

Representative Concentration Pathways

- Zamenjali bodo SRES scenarije, ki so se uporabljali v četrtem IPPC poročilu (AR4)
- Interpretacija RCP scenarijev
 - Scenarij visokih izpustov (RCP 8.5)
 - Scenarij srednjih izpustov (RCP 6.0)
 - Scenarij nizkih izpustov (RCP 4.5)
 - Scenarij učinkovitega blaženja (RCP 2.6)

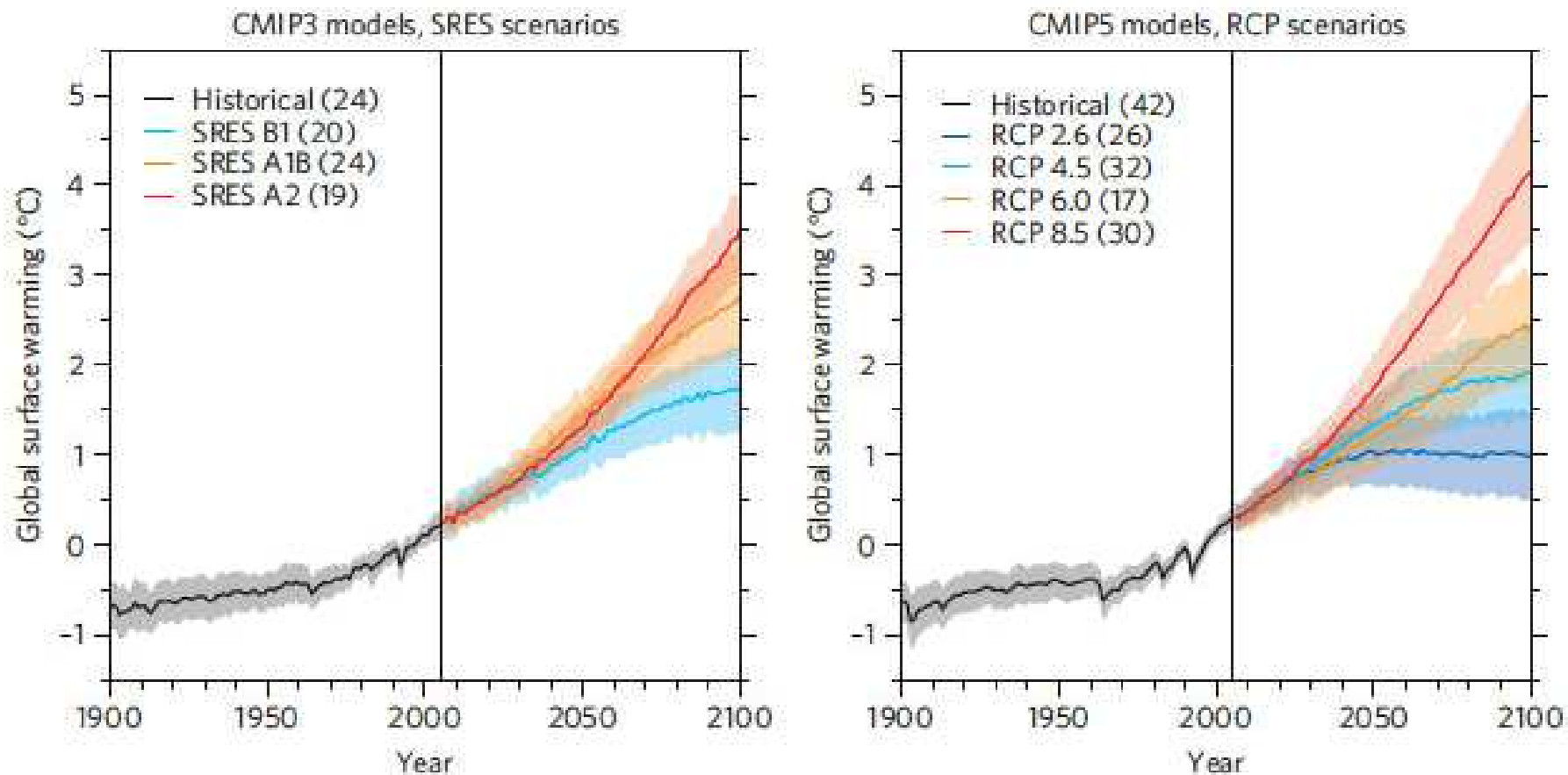


Representative Concentration Pathways

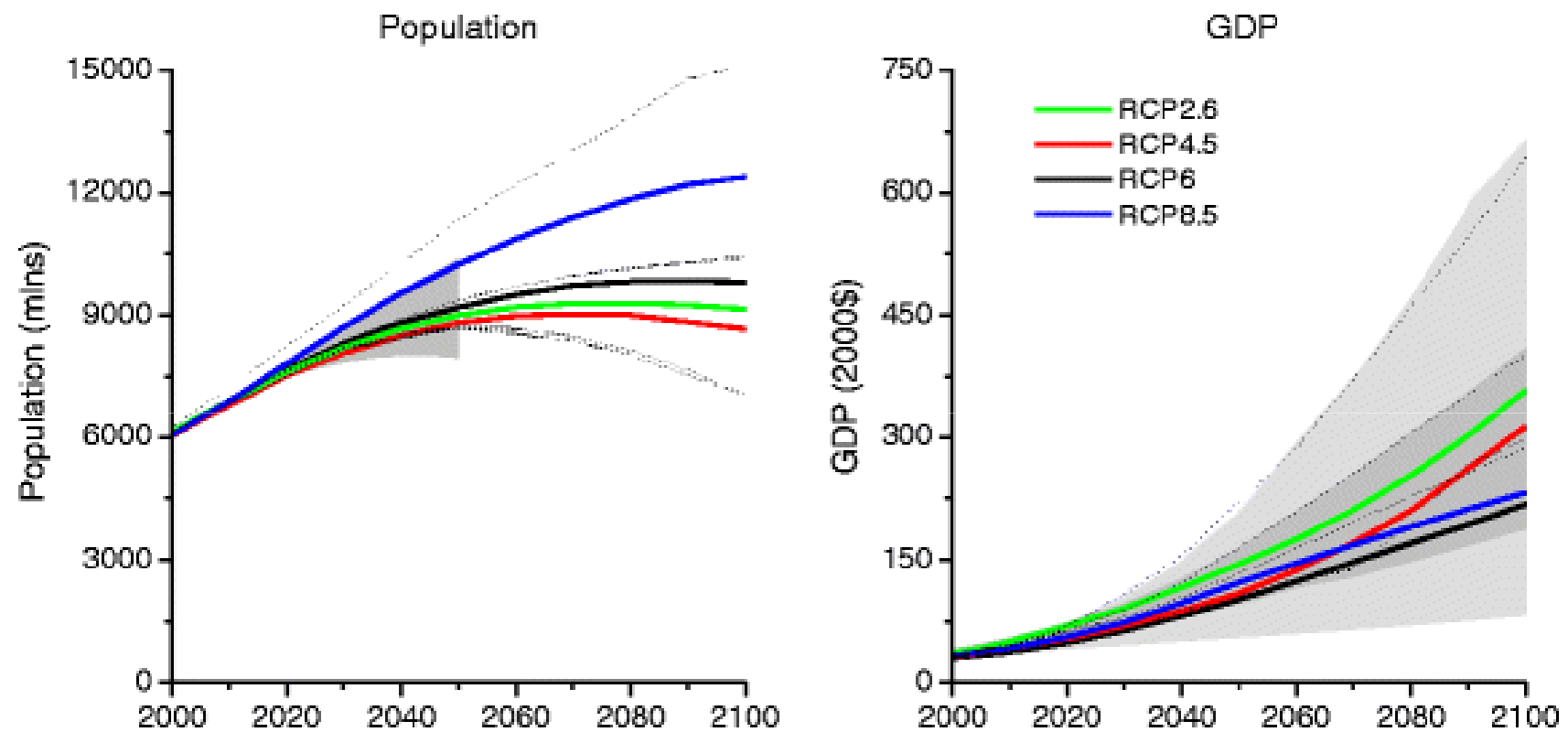
- RCP8.5 Rising radiative forcing pathway leading to 8.5 W/m^2 ($\sim 1370 \text{ ppm CO}_2 \text{ eq}$) by 2100.
- RCP6 Stabilization without overshoot pathway to 6 W/m^2 ($\sim 850 \text{ ppm CO}_2 \text{ eq}$) at stabilization after 2100
- RCP4.5 Stabilization without overshoot pathway to 4.5 W/m^2 ($\sim 650 \text{ ppm CO}_2 \text{ eq}$) at stabilization after 2100
- RCP2.6 Peak in radiative forcing at $\sim 3 \text{ W/m}^2$ ($\sim 490 \text{ ppm CO}_2 \text{ eq}$) before 2100 and then decline (the selected pathway declines to 2.6 W/m^2 by 2100).

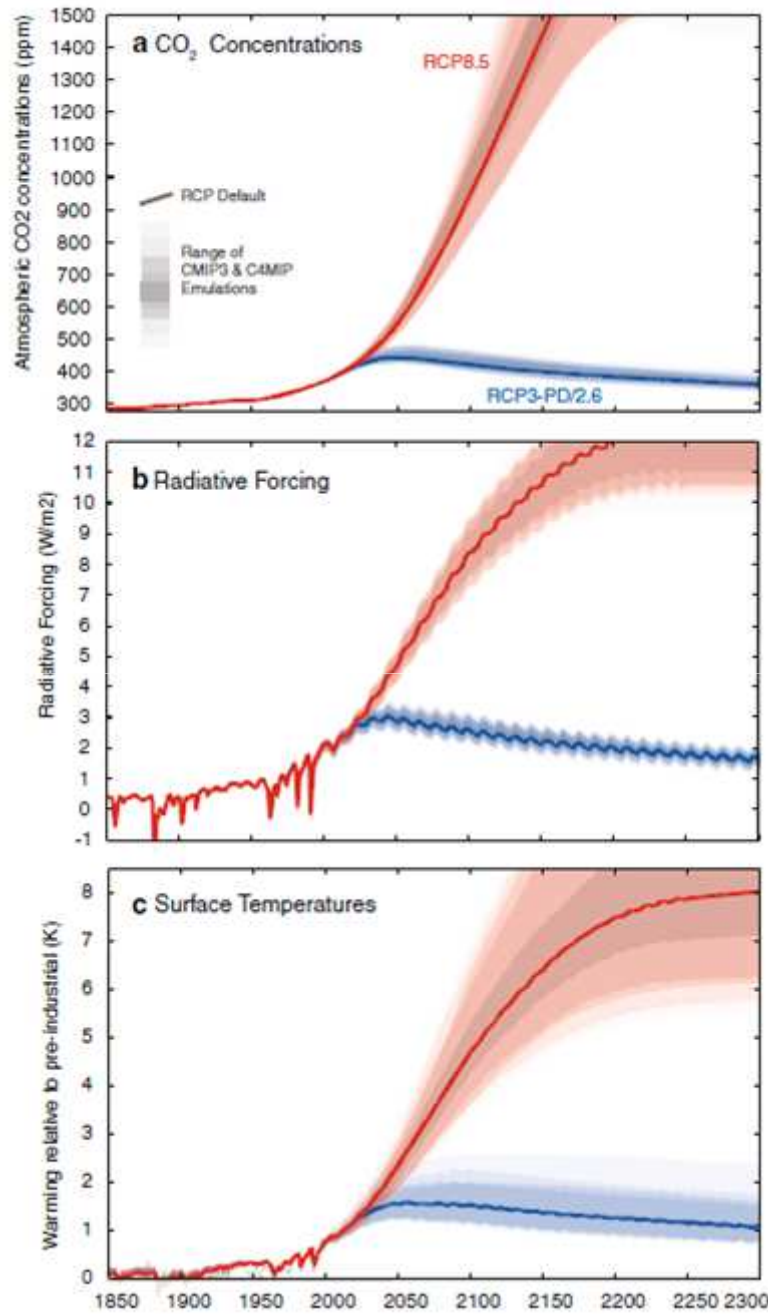
Vir: Van Vuuren et al (2011) The representative concentration pathways: an overview.
Climatic Change DOI 10.1007/s10584-011-0148-z

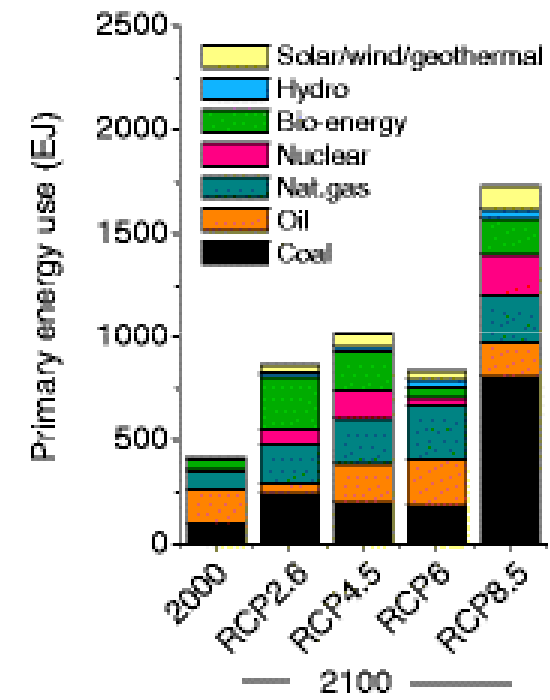
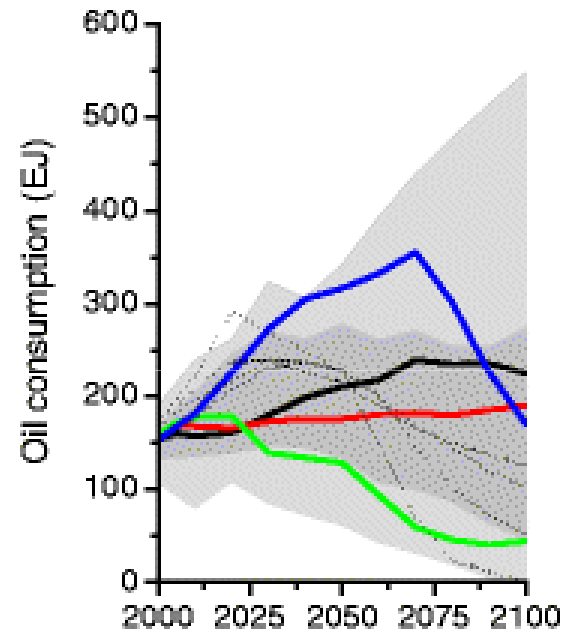
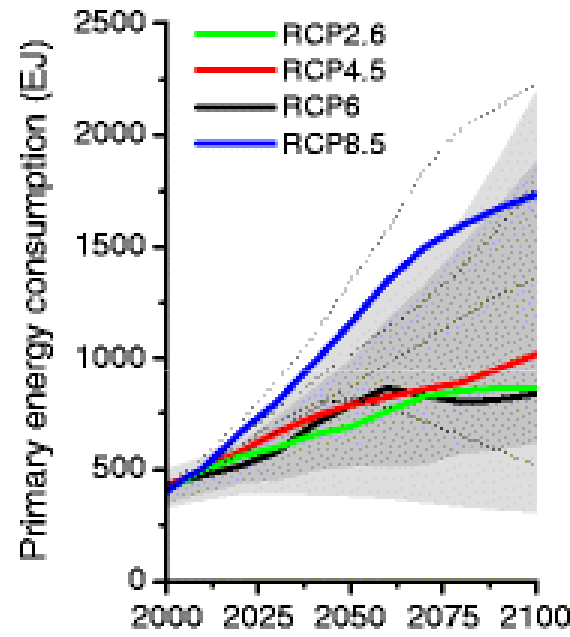
Stari in “novi” scenariji (RCP-ji)



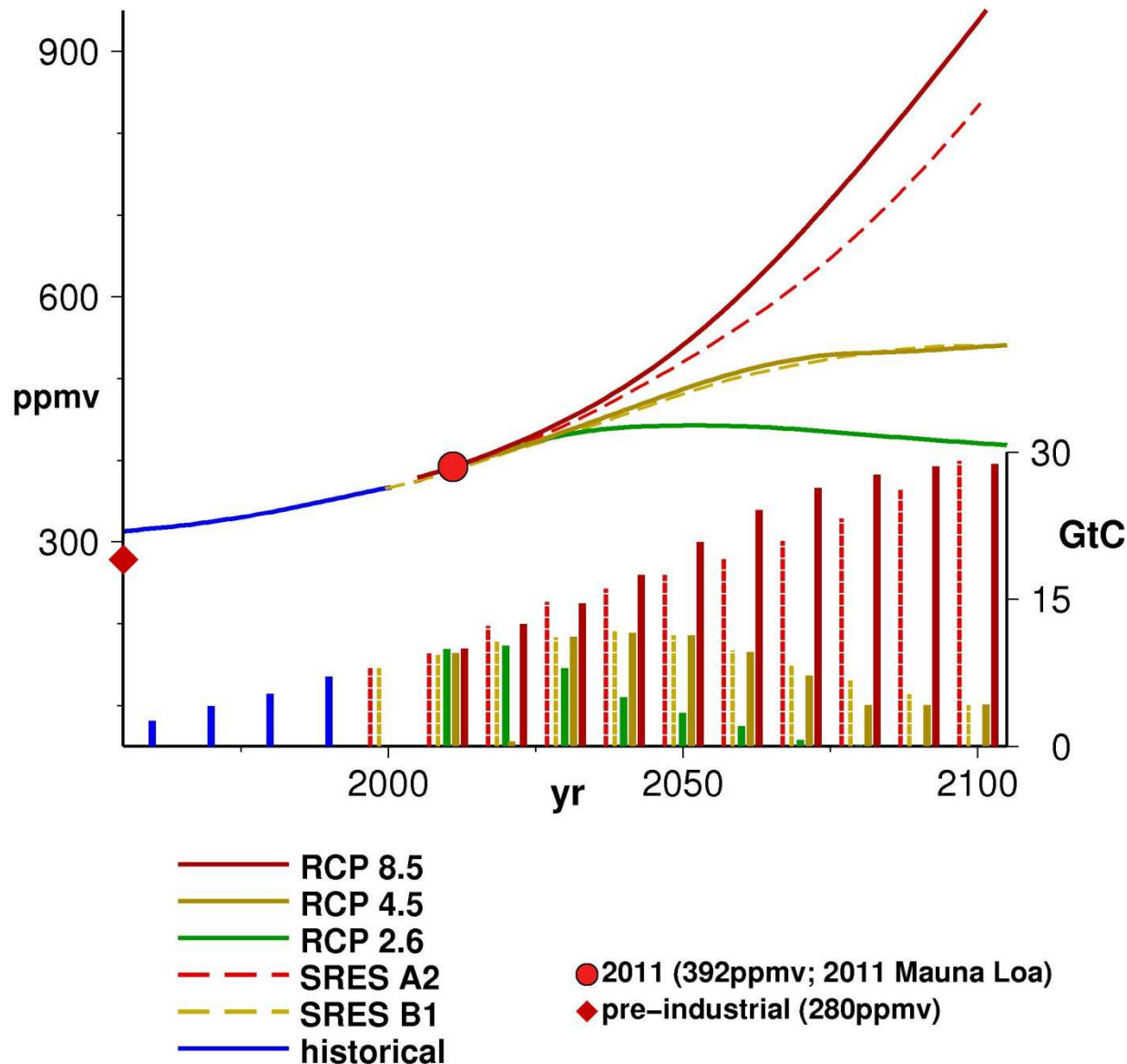
Knutti & Sedlacek (2012)

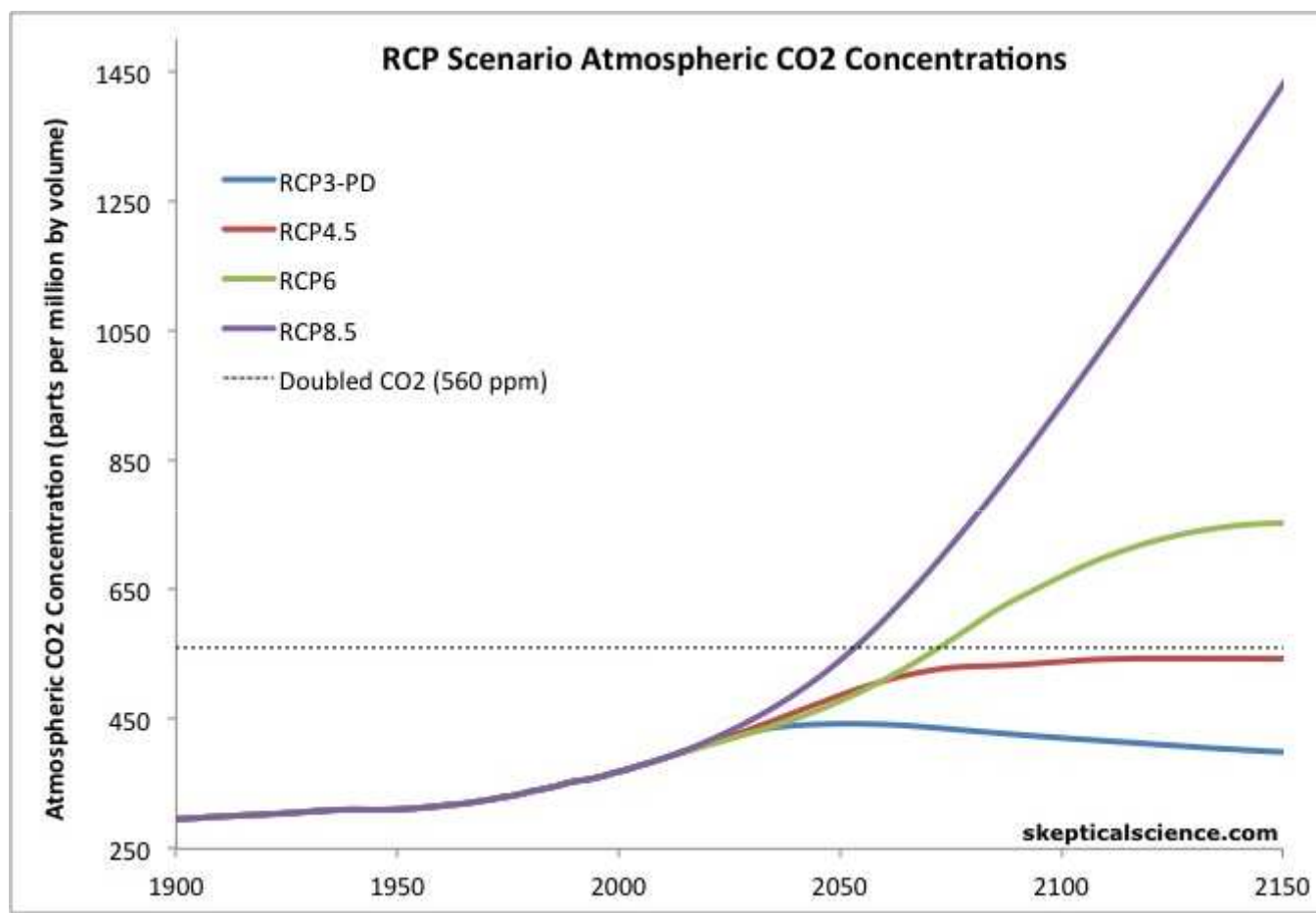






Global Atmospheric CO₂ Concentration (ppmv) and Carbon Emissions (GtC)





KLIMATSKA OBČUTLJIVOST

Energijska enačba

$$\Delta Q = C \frac{\Delta T}{\Delta t} + \frac{1}{\lambda} \Delta T$$

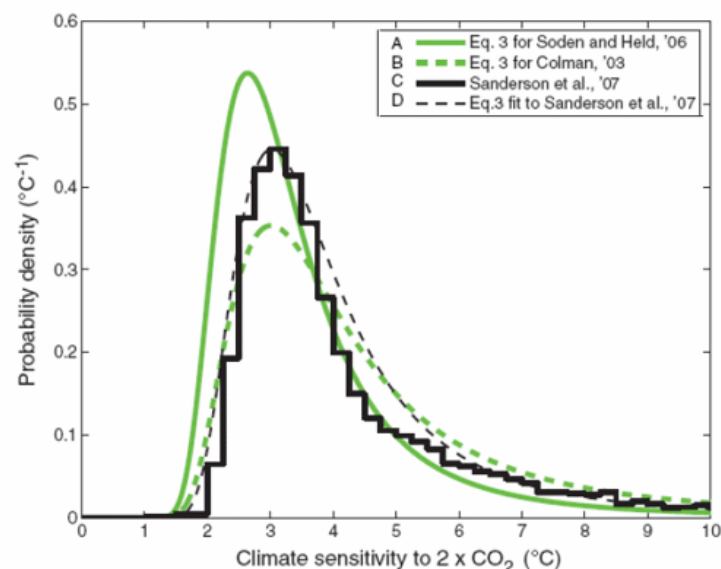
Spremembra = En. bilance **Vskladiščena topota** **Izgubljena topota**

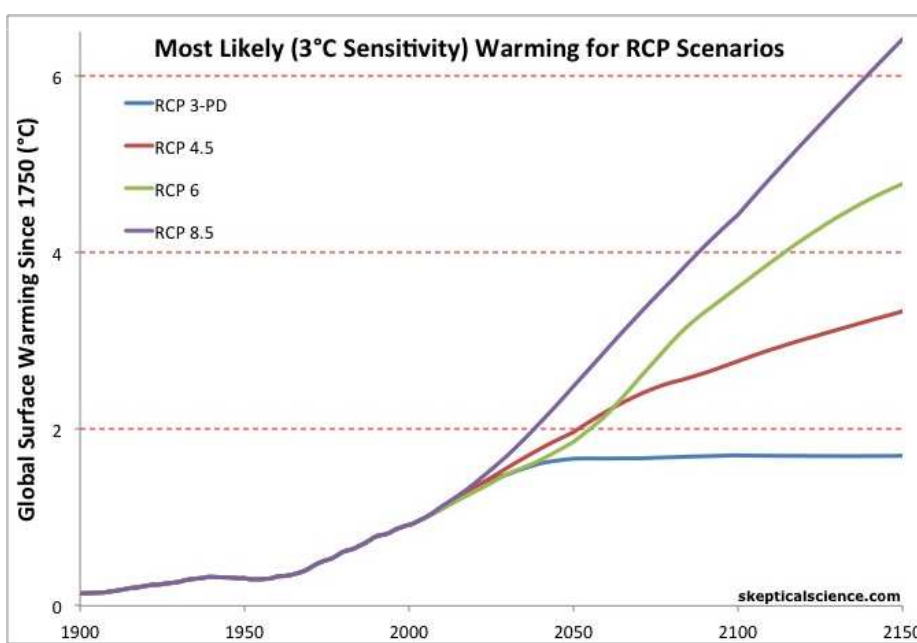
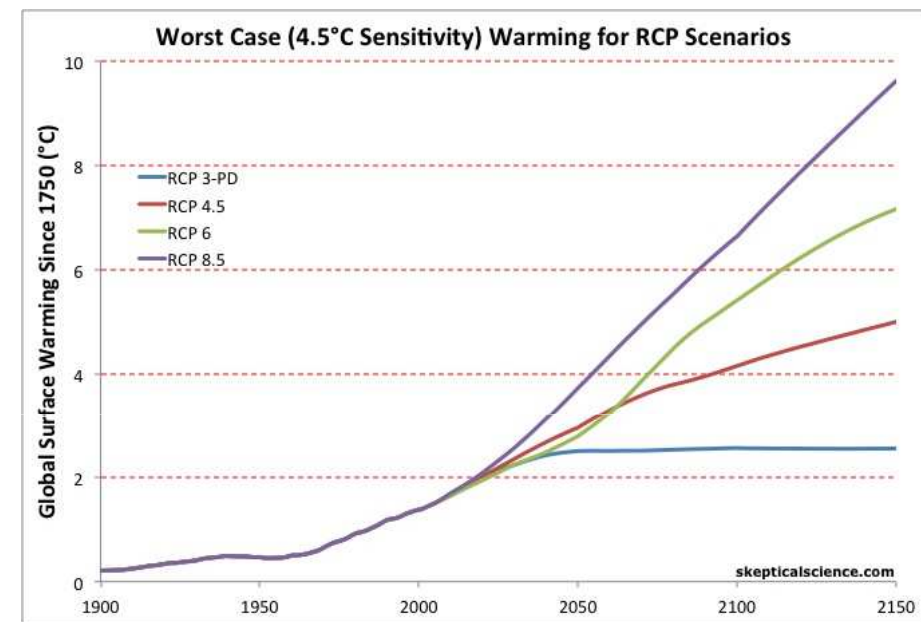
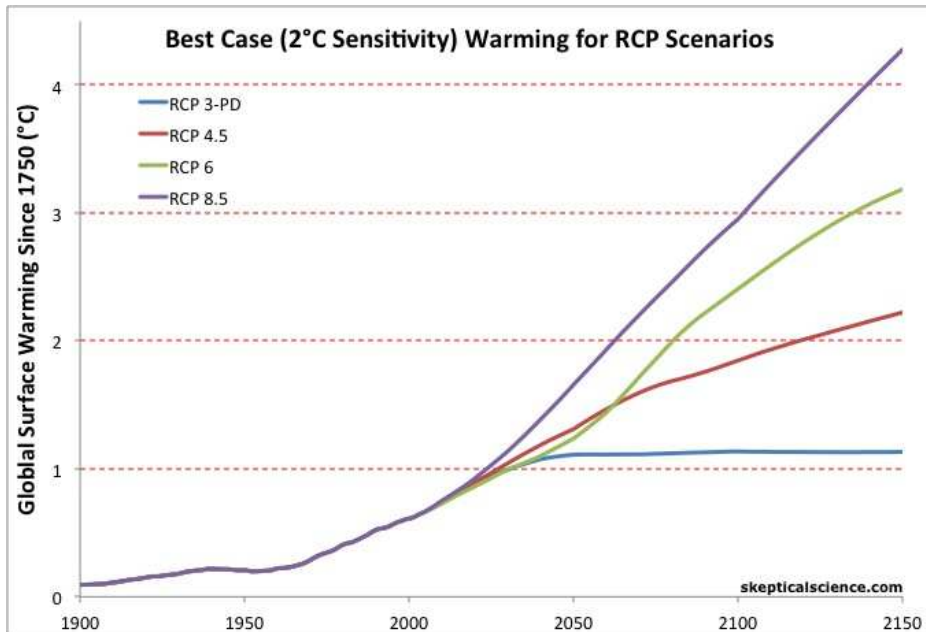
V ravnovesju je temperatura v času stalna (prvi člen=0) torej

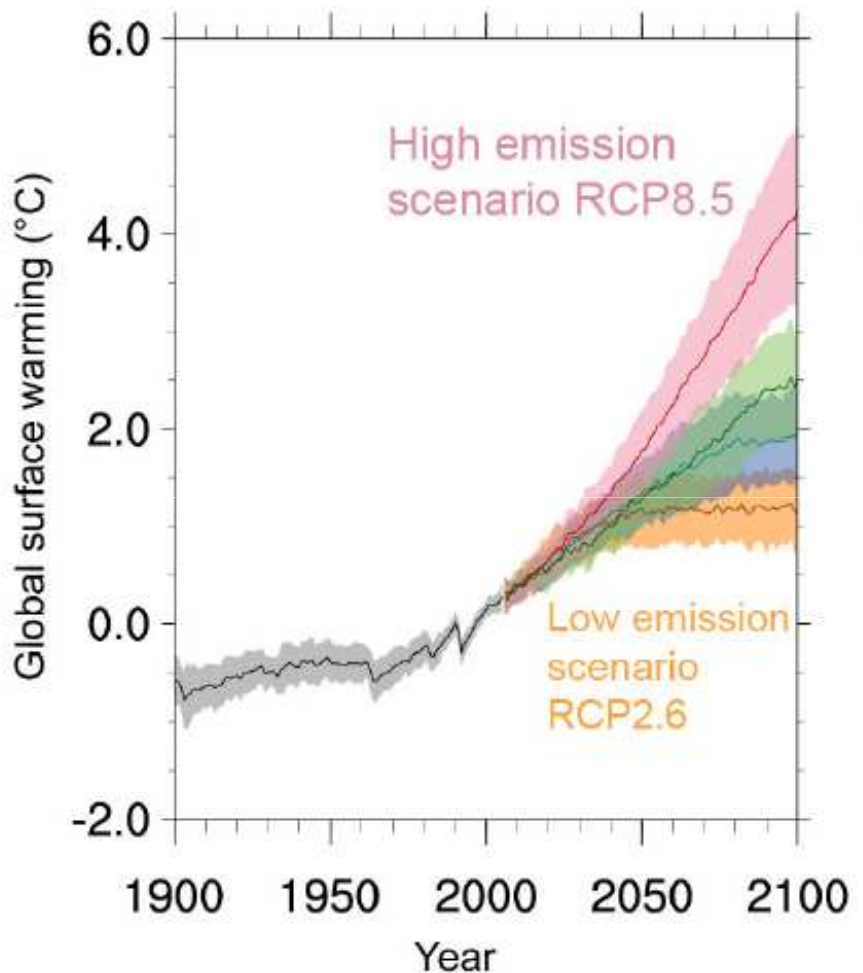
$$\Delta T = \lambda \cdot \Delta Q$$

λ Mera klimatske občutljivosti;
K (ali $^{\circ}\text{C}$) na W m^{-2}
sevalnega prispevka ali kar RF

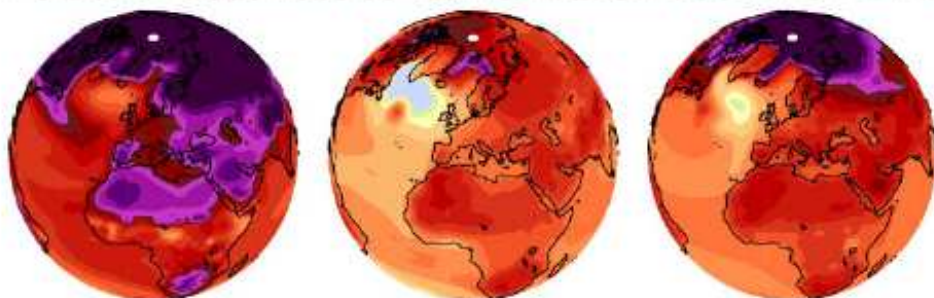
Intrinsic uncertainty in climate sensitivity



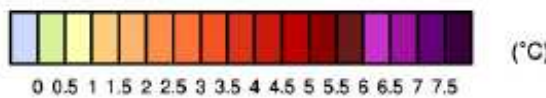
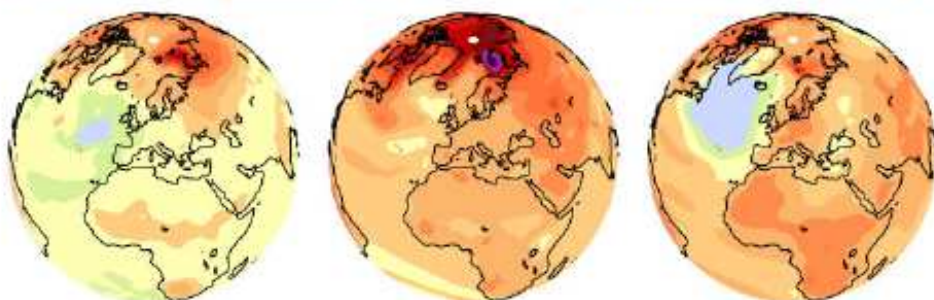


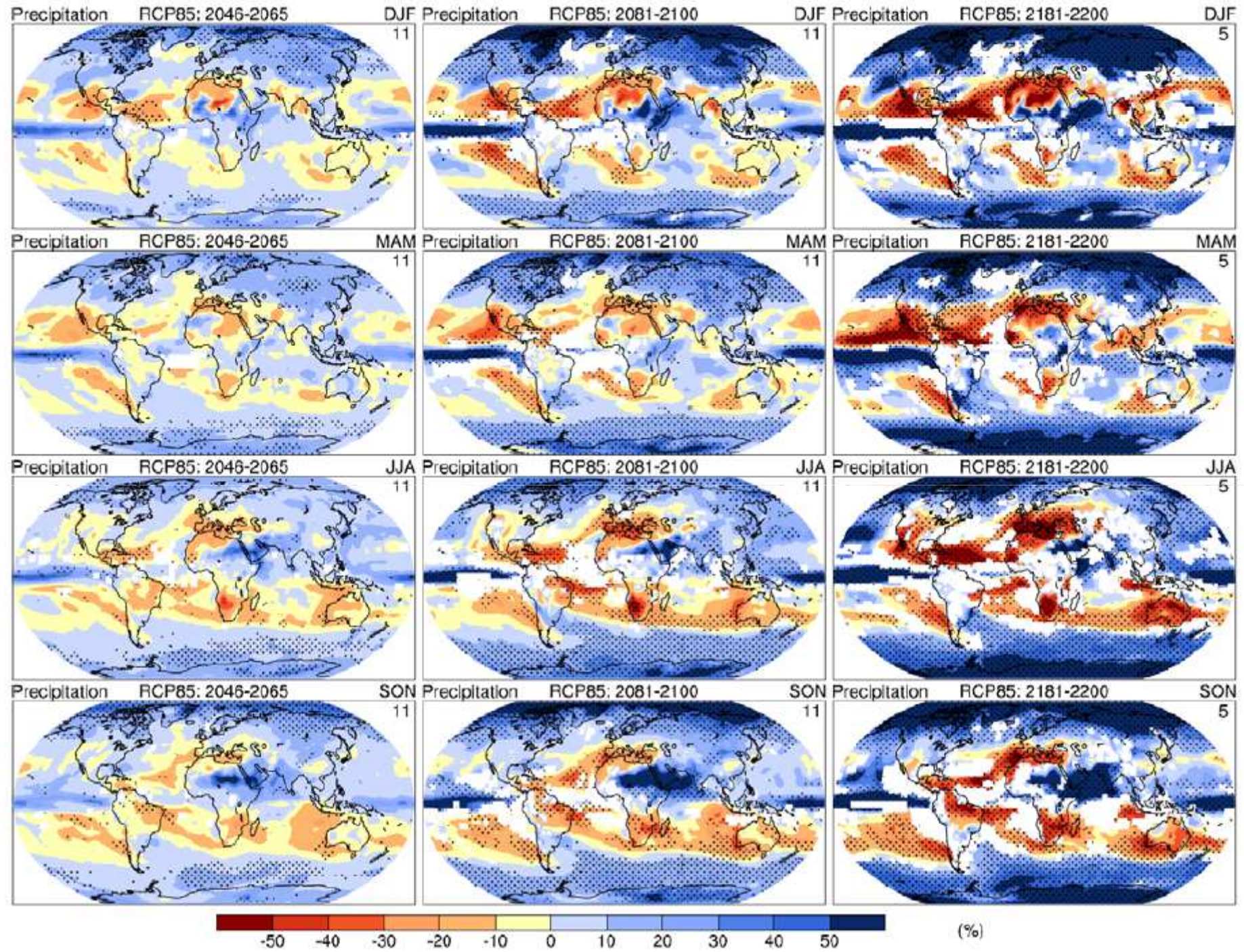


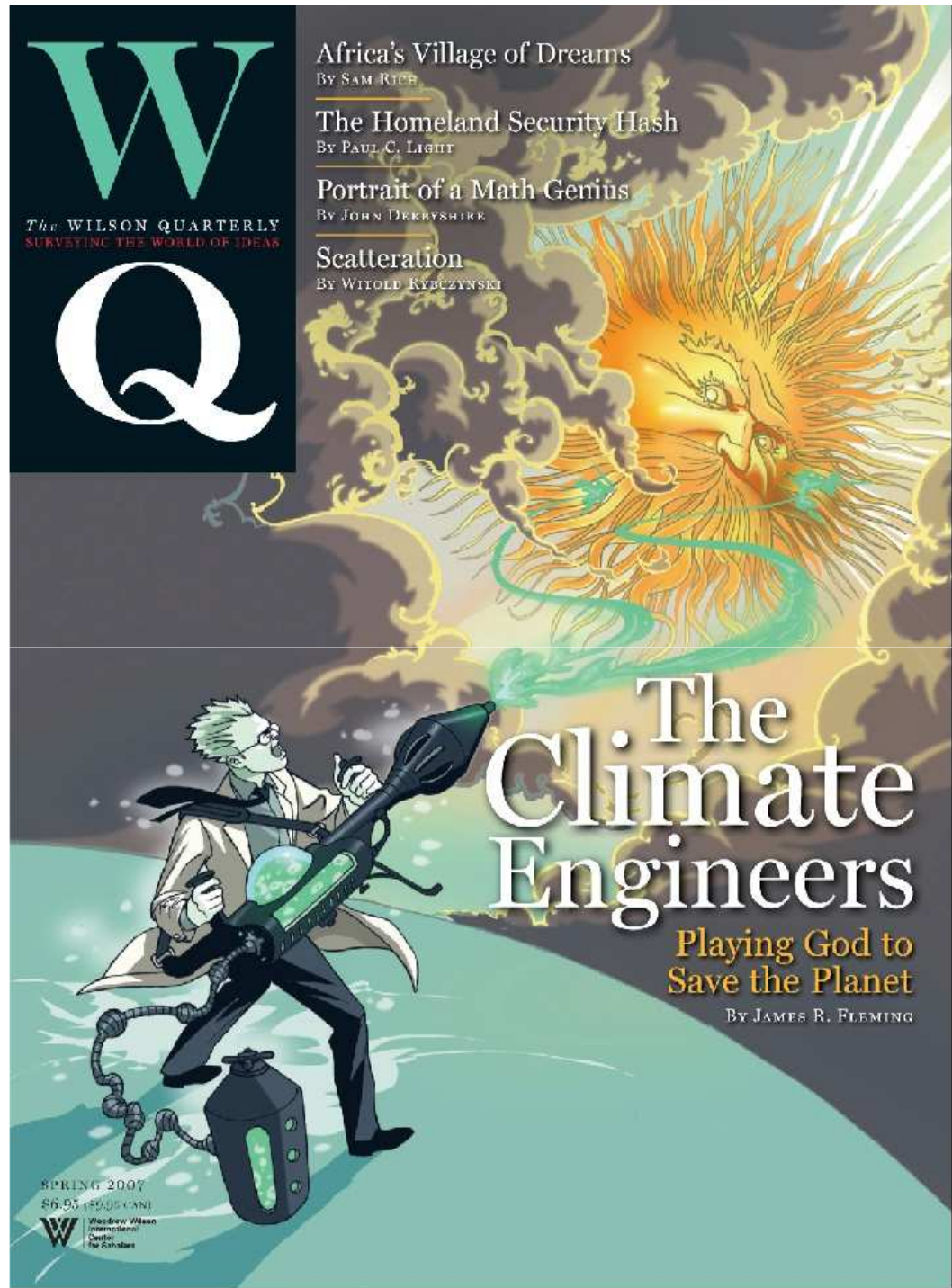
Possible responses to high emission scenario RCP8.5



Possible responses to low emission scenario RCP2.6







GEOINŽENIRING

Geoengineering
the climate

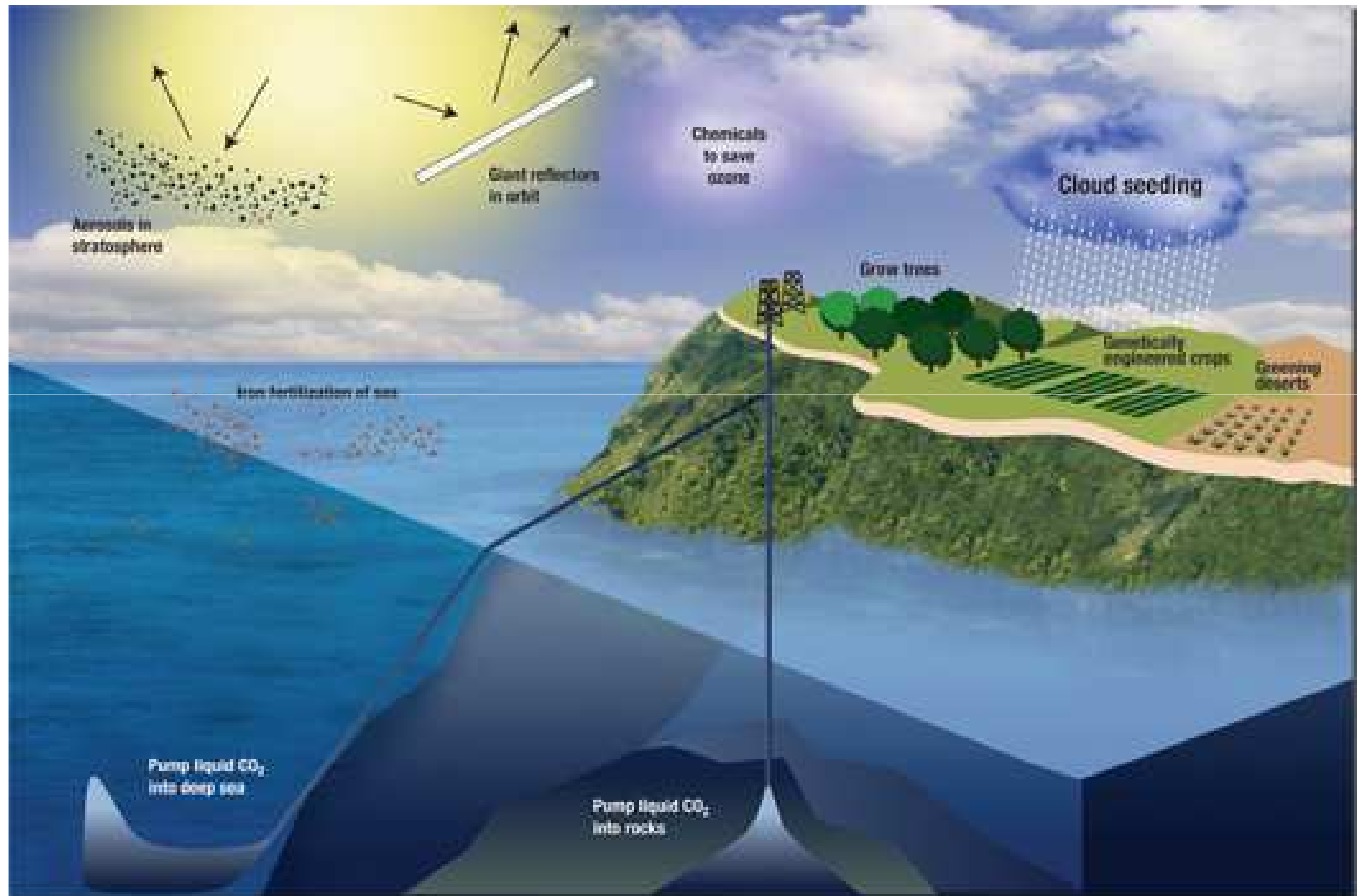
Science, governance and uncertainty
September 2009

THE ROYAL SOCIETY

EXCELLENCE IN SCIENCE

The image is a red rectangular panel for a Royal Society report. It features white text for the title and subtitle, and the Royal Society's logo at the bottom right, which is a stylized globe made of interconnected lines forming a network of triangles.

NAS LAHKO REŠI GEO-INŽENIRING?



Nekaj predlogov shem geoinženiringa

A. VESOLJE

Modifikacija sončnega sevanja

B. STRATOSFERA

Stratosferski aerosoli (sulfatni, saje, prah)

Stratosferski baloni ali ogledala

C. TROPOSFERA

Modifikacija skupnega albeda nad morji z stratusii

D. POVRŠJE

Povečevanje albeda puščav

Spreminjanje albeda oceanov

Reforestacija (CO_2 učinek, problemi z albedom...)

Direktna absorbcija CO_2

Gnojenje oceanov

2 osnovna načina geoinženiringa v zvezi z podnebnimi spremembami

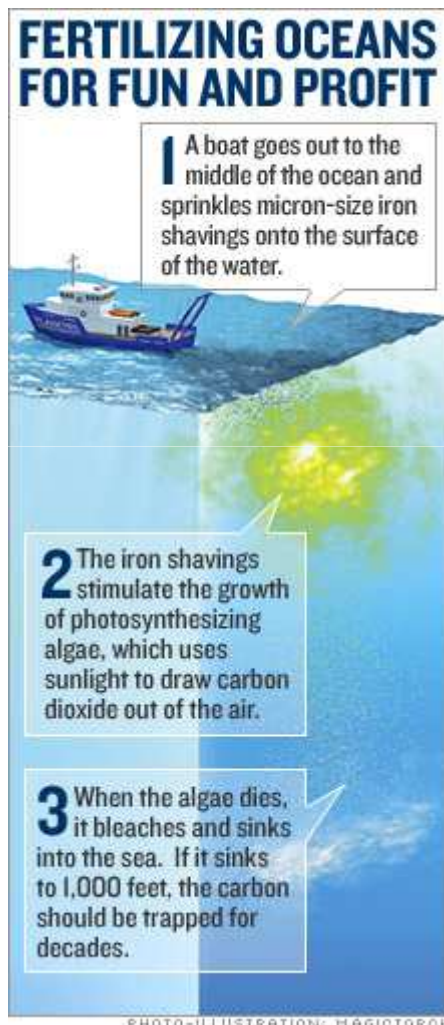
Zmanjšati vsebnost toplogrednih plinov v ozračju ali zmanjšati absorbtivnost atmosfere za DV sevanje

- gnojenje oceanov
- ekstrakcija iz zraka
- povečanje ponorov

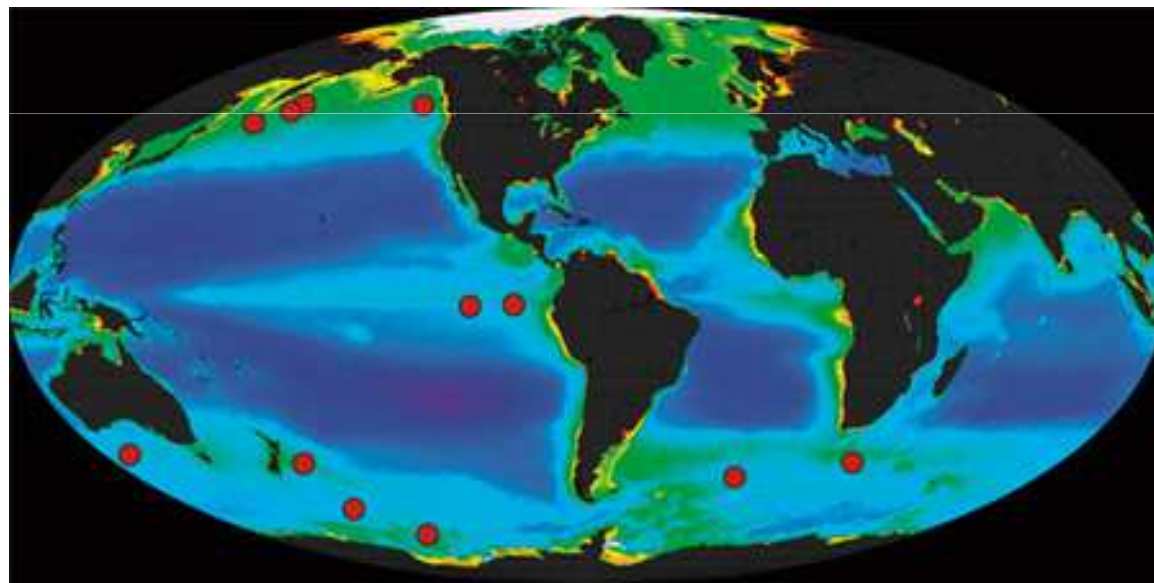
Spremeniti klimatski sistem

- zmanjšanje solarne konstante (nad ozračjem)
- povečevanje odbojnosti KV sevanja (albeda)

Gnojenje oceanov



- HNLC (high-nutrient low-chlorophyll zones)
- 1 tona dodanega železa veže 30,000-110,000 t ogljika iz atmosfere



<http://earthtrends.wri.org/updates/node/282>

http://www.eco-groove.com/index.php?option=com_content&view=article&id=152:fertilizing-oceans-to-save-the-planet&catid=39:rokfeature&Itemid=112

Koliko CO₂ bi lahko torej na ta način shranili v oceane na J polobli?

- Če bi ves nitrat v zgornji premešani plasti (~150 m) spremenili v biomaso planktona,
- In če bi vsa ta biomasa potonila na dno
- In če bi se ves nastali deficit CO₂ kompenziral z odvzemom iz ozračja

POTEM

Največja količina CO₂ ki bi jo tako zajeli bi bila

1 (ena) Gigatona CO₂

- to je ~15 % letnega človekovega vnosa v klimatski sistem
- Ta “maksimum bi lahko odstranili le vsake 4 leta.

Vir: V. Smetacek

Atmosferski zajem CO₂ (Umetna drevesa)



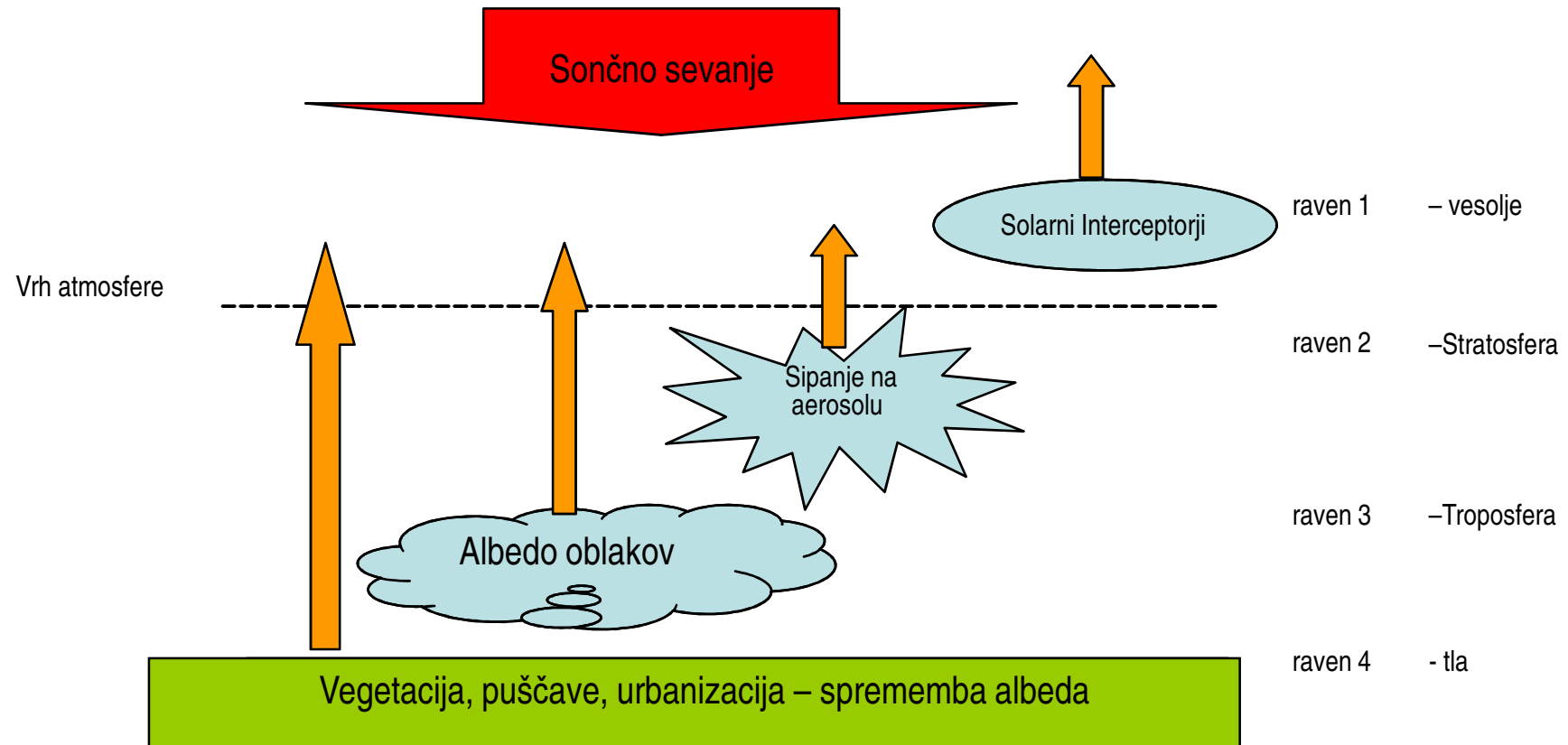
http://www.thebreakthrough.org/blog/2008/03/from_synthetic_trees_to_carbon.shtml



<http://www.earth.columbia.edu/news/2007/story04-24-07.php>

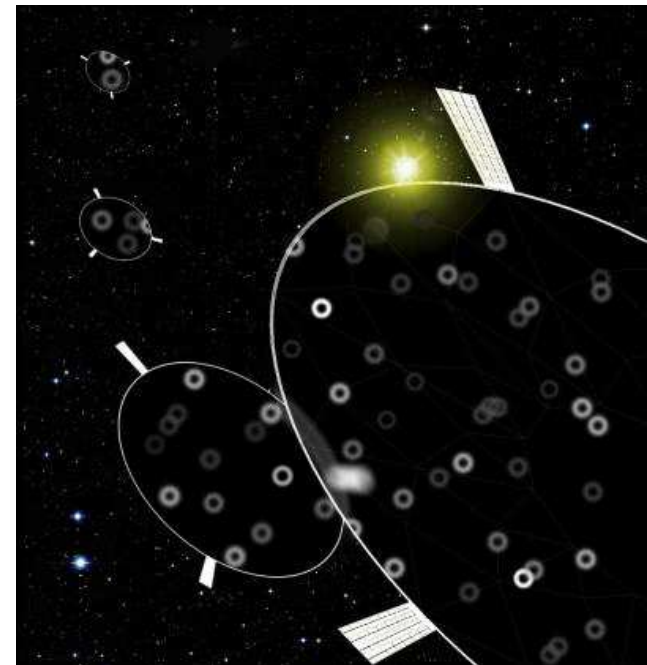
- Zrak s CO₂ se prečrpa preko filtrov (ionski izmenjevalci),
 - Filtri vežejo CO₂, čist zrak pa se prečrpa ven.
 - Filtri se nato sperejo z vlažnim zrakom, ki odstrani CO₂ iz filtra.
 - Ta CO₂ se tako lahko potem skladišči ali drugače porabi.
-
- Razlika od CCS je, da ni vezanosti na industrijski obrat

Spreminjanje neto sončnega sevanja: možno na štirih višinskih ravneh



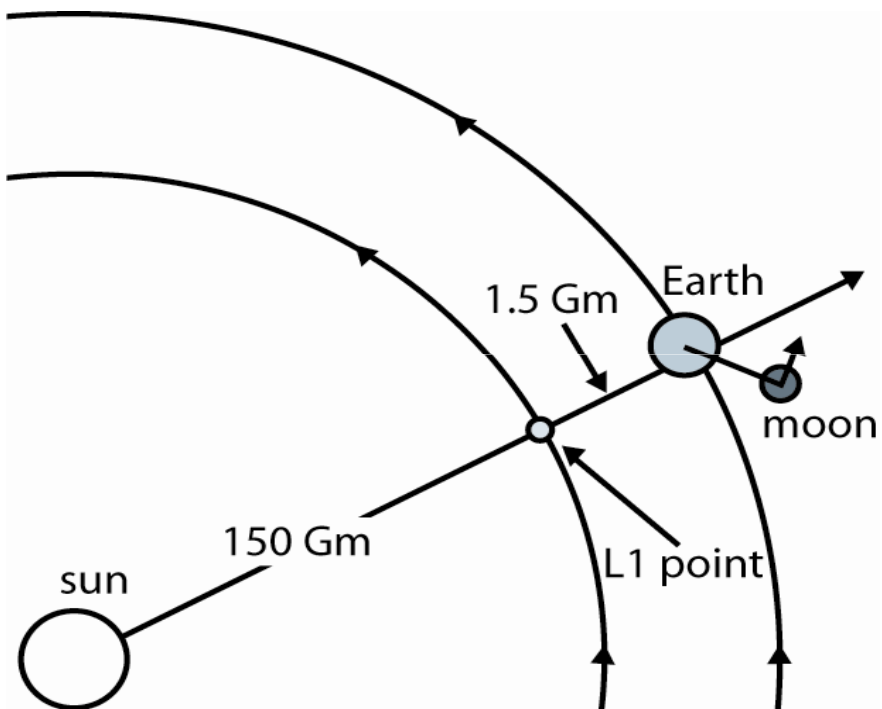
Zmanjšanje solarne konstante - zasenčevanje (1)

- Med Soncem in Zemljo bi namestili 16 milijard tankih silicijevih transparentnih diskov (premera 60 cm).
- Z njimi bi za 1,8 % zmanjšali sončev sevanje, ki pride na Zemljo.
- Prozorne diske bi zložili v pakete po milijon kosov in jih z elektromagnetnimi, tirnimi topovi izstrelili v vesolje.
- Daljinsko vodenje bi napajali z mini sončnimi paneli
- Cena: cca 100 Milijard \$ letno

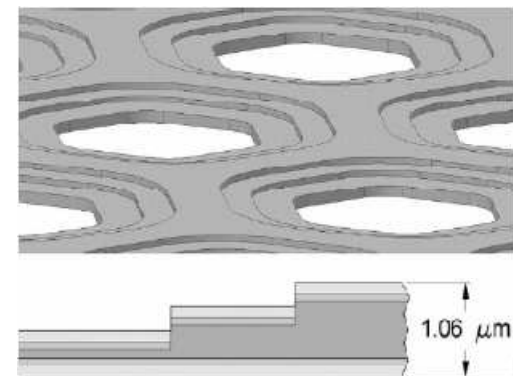


Roger Angel, University of Arizona

Solarni interceptorji (zasenčevanje)



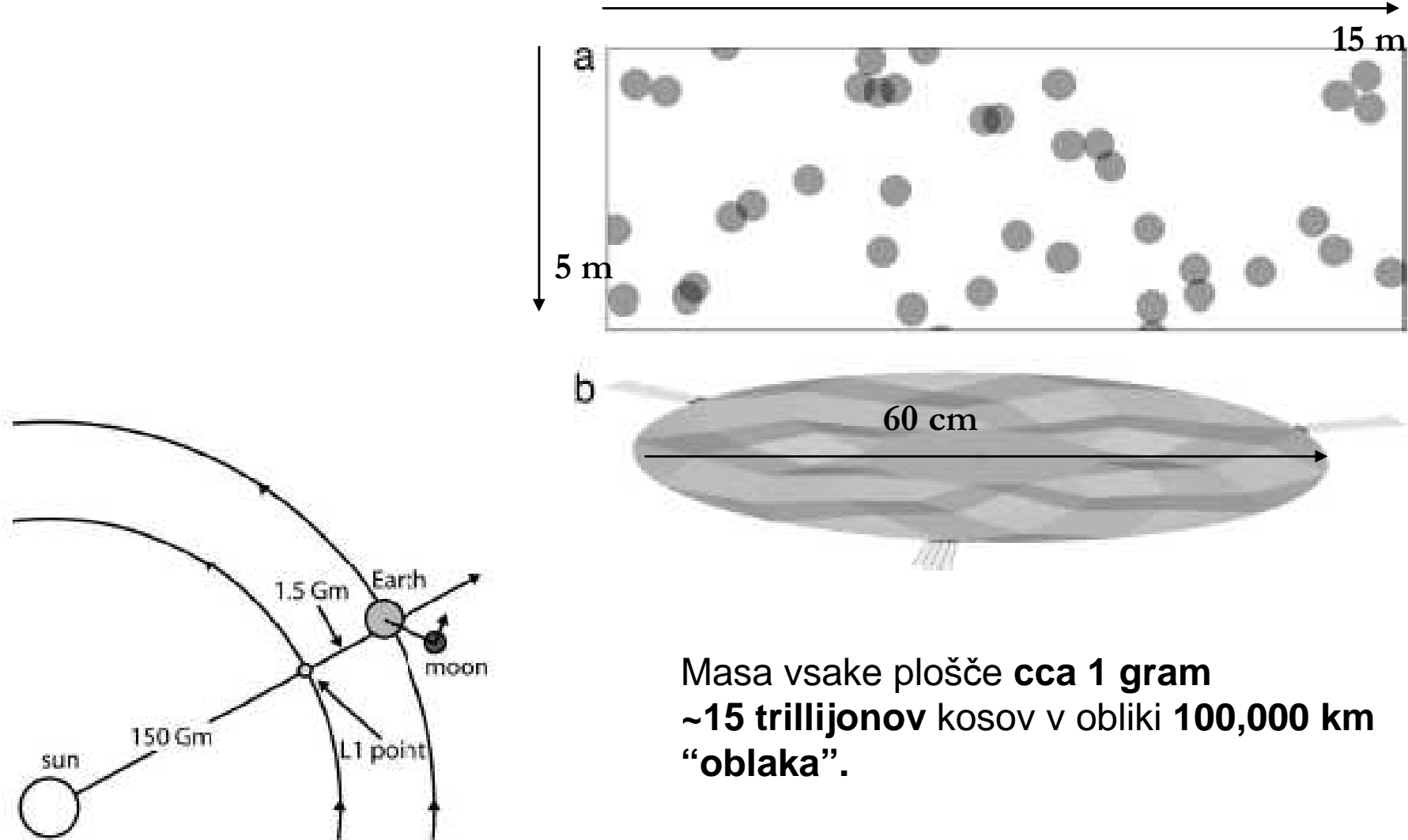
Točka, kjer so v ravnovesju
gravitacijske in centrifugalne sile
(Lagrange-va točka)



Oblak zelo majhnih plovil
(Angell, 2007)

Ali

Velika ogledala

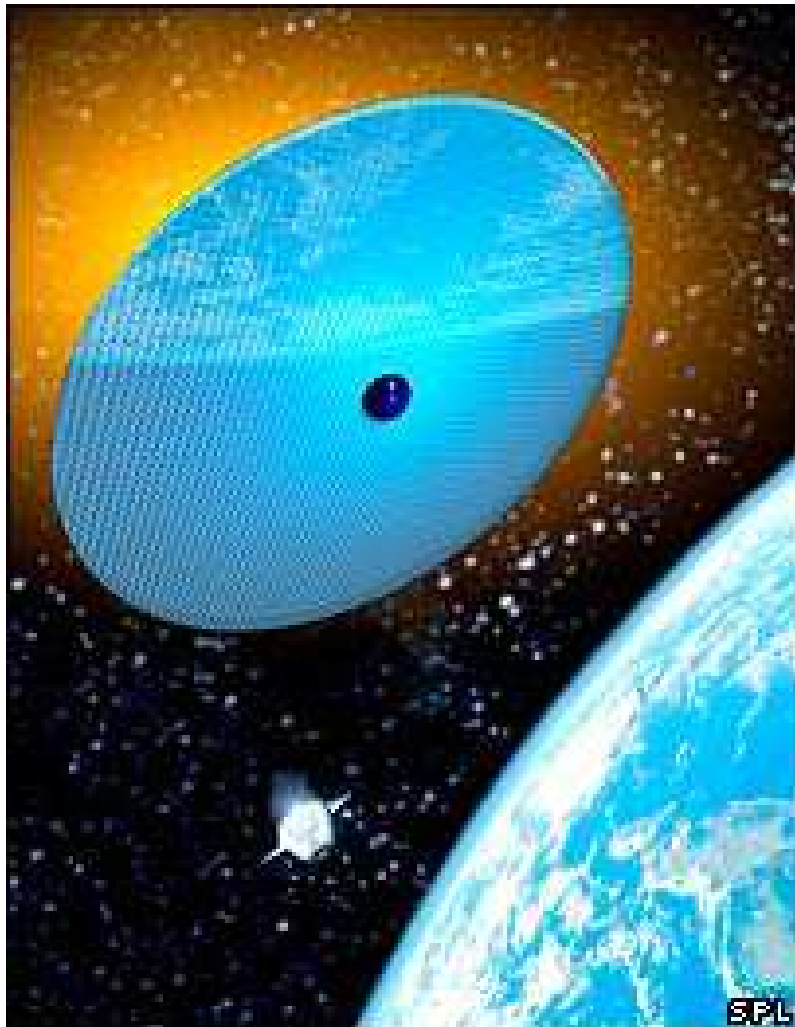


Masa vsake plošče cca 1 gram
~15 trillijonov kosov v obliki 100,000 km
“oblaka”.

“It seems feasible that it could be developed and deployed in 25 years at a cost of a few trillion dollars”

[Angel, PNAS, 2006]

Zmanjšanje solarne konstante - zasenčevanje (2)

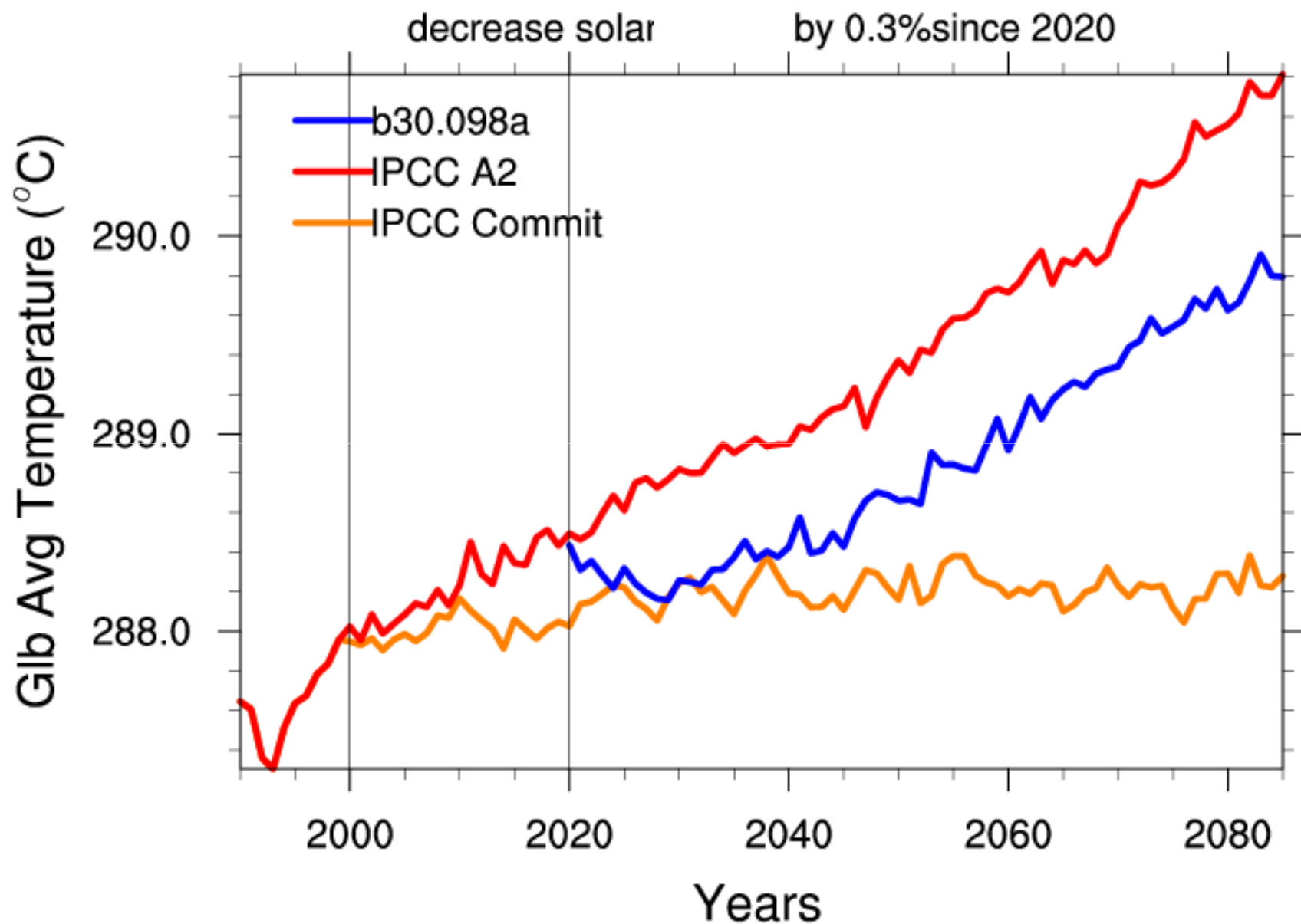


US National Academy of Sciences

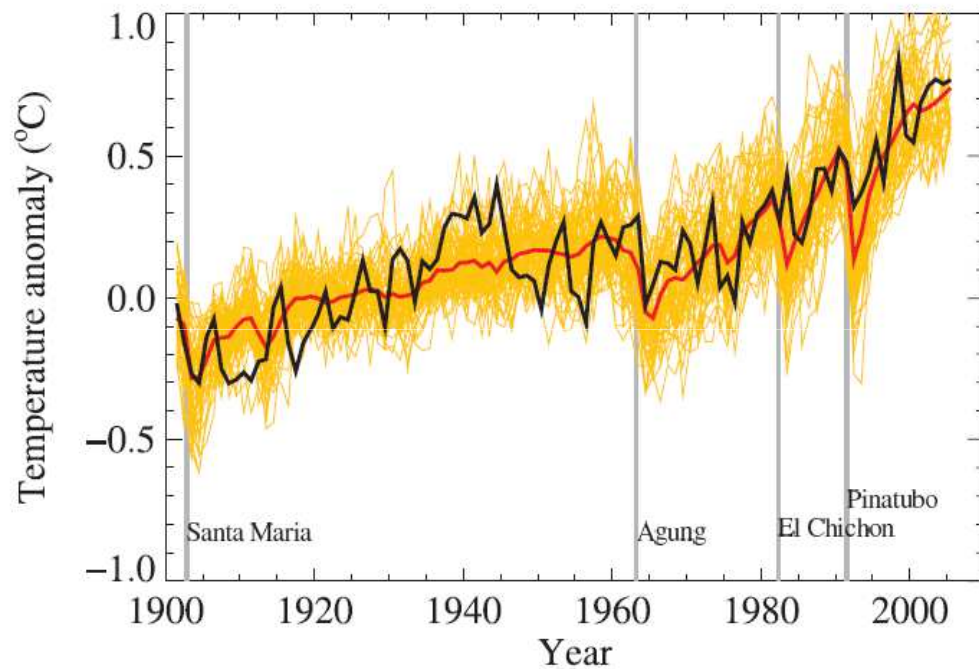
55,000 orbitalnih ogledal
bi zmanjšalo toplotno
bilanco planeta in
kompenziralo polovico
učinka podvojitve
vsebnosti CO₂

Ampak vsako ogledalo bi bilo
velikosti 10 x 10 km!!

CCSM3 Geoengineering Run



Stratosferski aerosoli



KAKO DEJANSKO SPRAVITI SULFATNI AEROSOL V STRATOSFERO?

Artilerija?

Letala?

Izstrelki?

Baloni?

Privezani baloni z cevmi za
brizganje?



Stratosferski aerosoli



http://www.wired.com/print/science/planetearth/magazine/16-07/ff_geoengineering

- SO_2 iz industrijskih obratov, ki uporabljajo premog
- Vnos v stratosfero (baloni, letala,...)
- Hitri rezultati

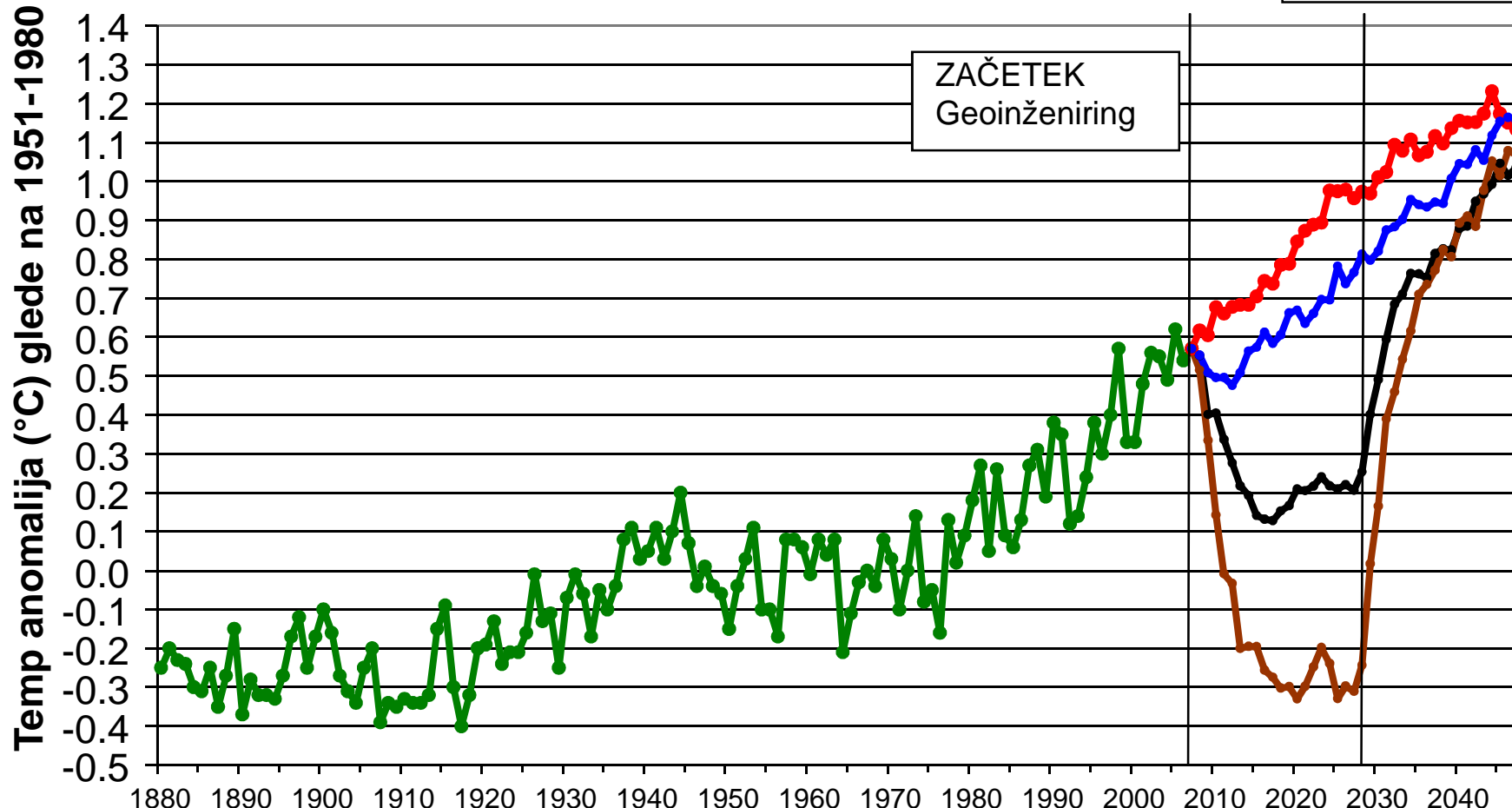
- Kemijske reakcije: $\text{SO}_2 + \text{druge molekule} \rightarrow \text{H}_2\text{SO}_4 + \text{H}_2\text{O} \rightarrow$ kapljice z aerosoli
- Te absorbirajo/odbijejo 1-3 % sončnih žarkov nazaj v vesolje

GISS Globalna povprečna T anomalija

+ človekov vpliv,

3 Mt/yr nad Arktiko, 5 Mt/yr v tropih, 10 Mt/yr v tropih

Geoinženiring
KONEC



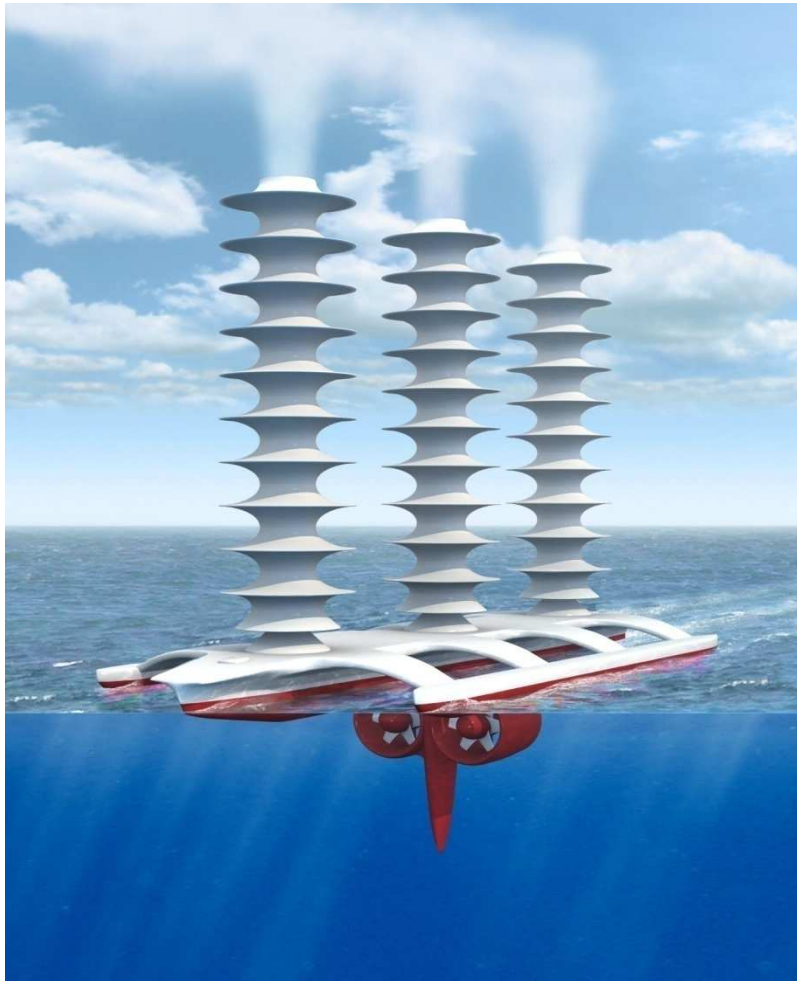
Stratosferski aerosoli – nezaželjeni stranski učinki



- Povečanje ozonske luknje
- Kisel dež
- Značilna modra barva neba

http://www.wired.com/print/science/planetearth/magazine/16-07/ff_geoengineering

Povečevanje oblačnosti



Naprave za produkcijo
30 kg/sec aerosola
0.8 mikronskih
kondenzacijskih jeder iz
morske vode.

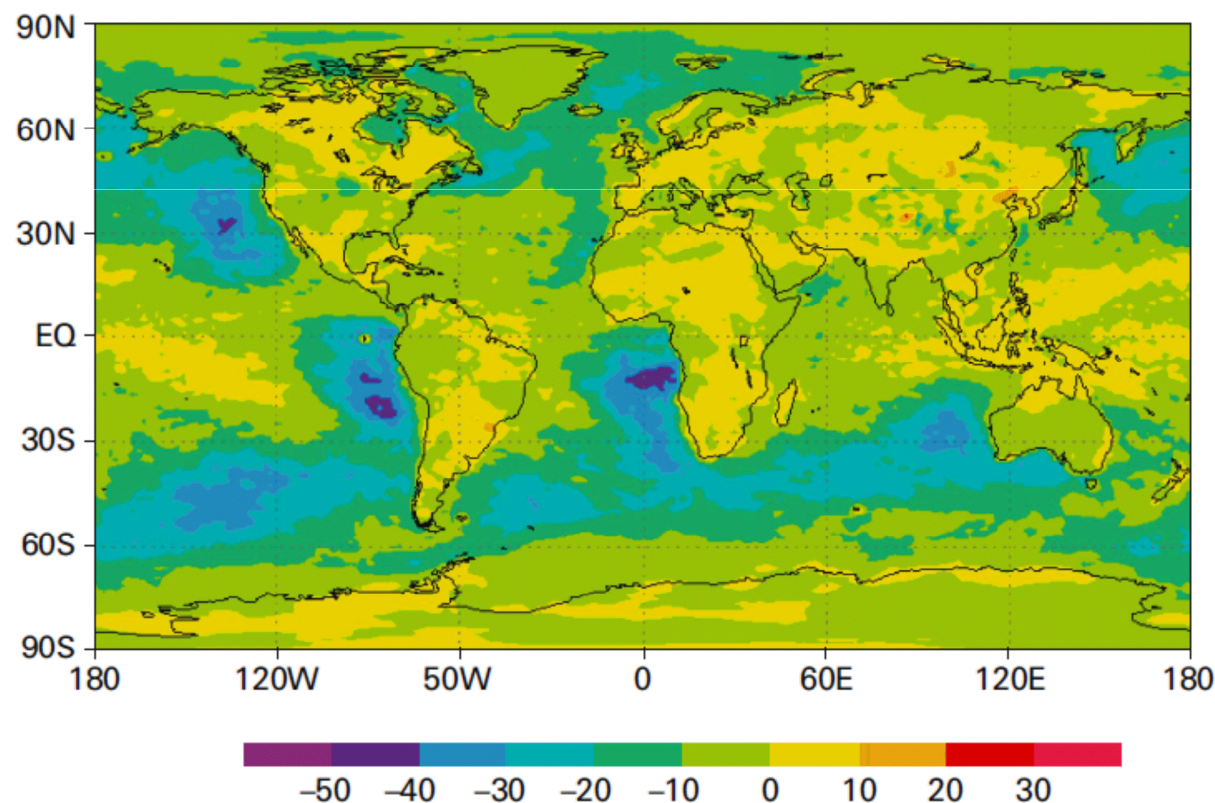
Odboj sončnega
sevanja na stratusnih
oblakih nad morjem
bi hladil Zemljo.



Morsko beljenje oblakov

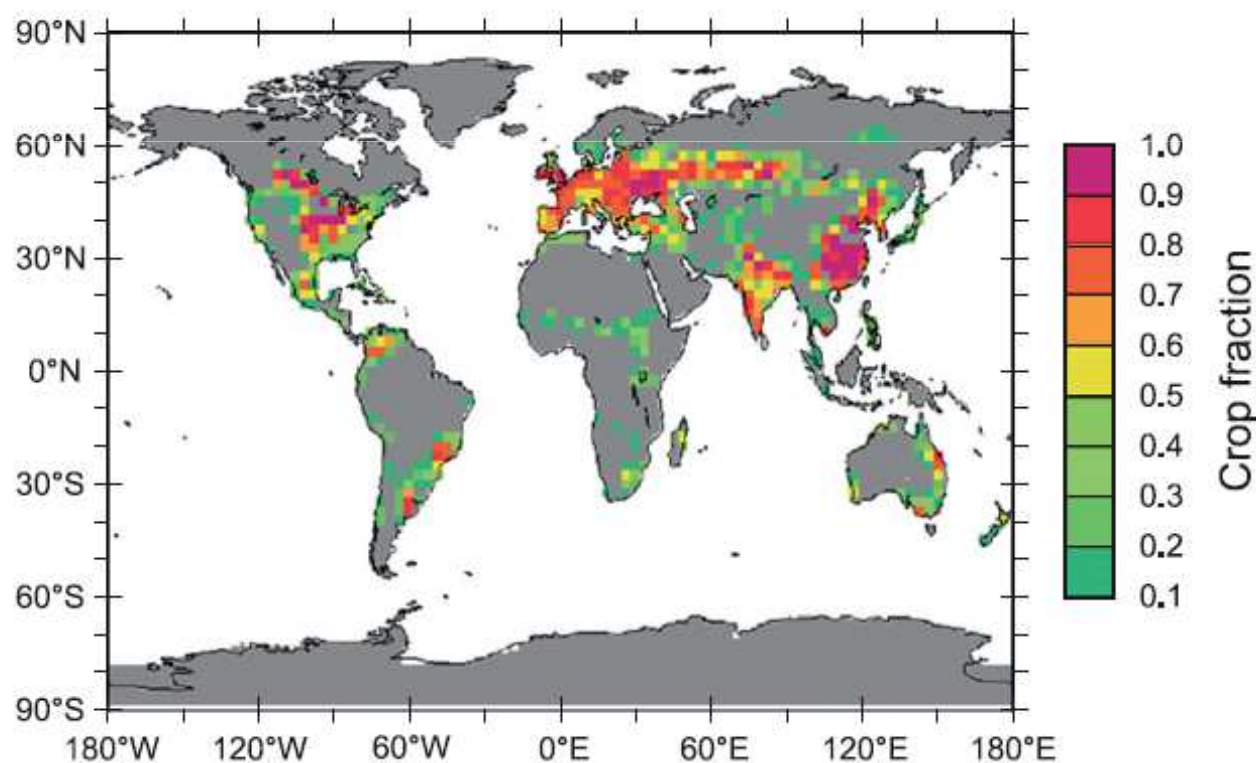
- Močni, a lokalizirani učinki hlajenja

Figure 3.2. Five-year mean difference (W/m^2) in radiative forcing at the top of the atmosphere between a control simulation (with CCN of $100/\text{cm}^3$) and a test run with CCN of $375/\text{cm}^3$ in regions of low-level maritime cloud (an extension of results from Latham et al. 2008).



Spreminjanje albeda kmetijskih površin

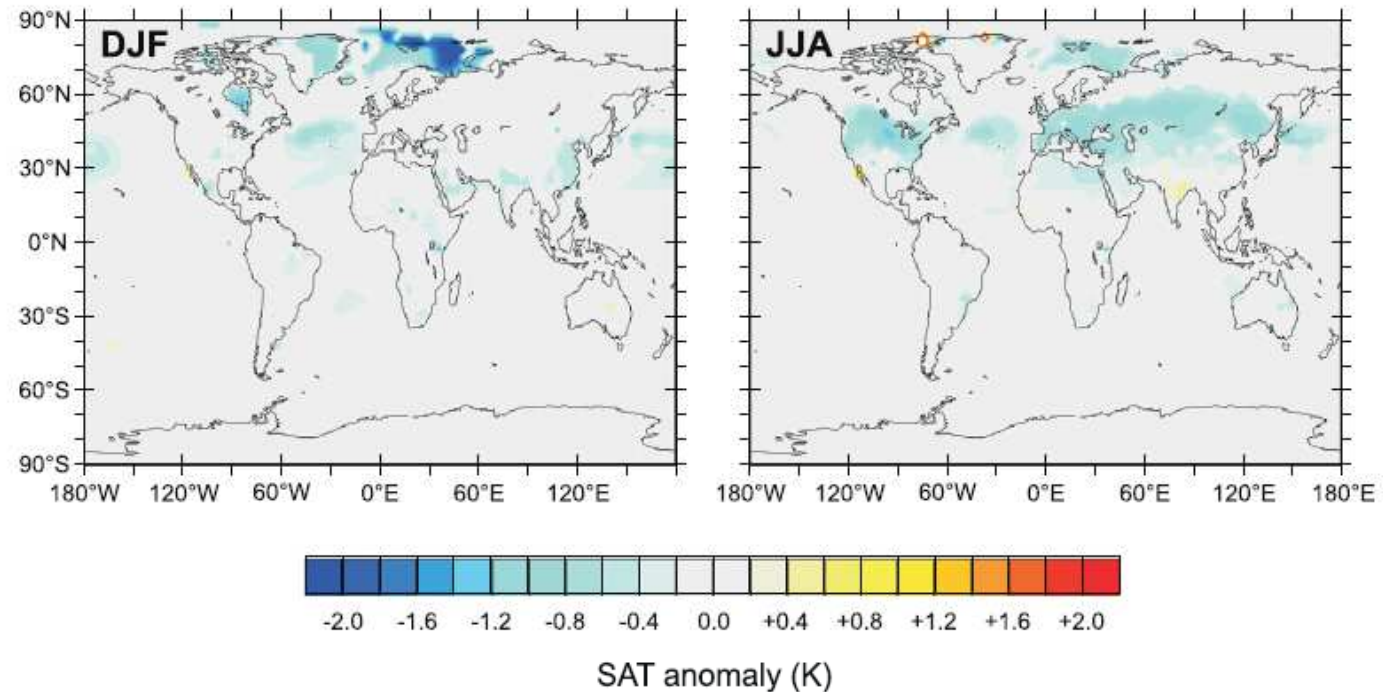
(povečan odboj – tudi gensko spremenjene rastline?)



World Cropland Area

Global distribution of croplands, transformed onto the HadCM3 global climate model land surface grid. Only C3 (taken to represent crops such as rice, wheat, and soybeans) and C4 (e.g., maize, sorghum, sugarcane, and millet) grasses are allowed to grow in the model within areas designated as cropland (if vegetation is predicted to be present at all).

Spreminjanje albeda kmetijskih površin



Global anomalies of summer (JJA) and winter (DJF) surface air temperature resulting from a **+0.04 increase in maximum crop canopy albedo** and an elevated atmospheric CO₂ concentration of 700 ppm, calculated relative to the (700 ppm CO₂) control experiment.

Ocene za površine povezane z spreminjanjem albeda

- ¤ Sevalni prispevek $2 \times \text{CO}_2 = 4 \text{ W m}^{-2}$
- ¤ Površina Zemlje $= 5 \times 10^{14} \text{ m}^2$
- Skupni sevalni prispevek $= 2 \times 10^{15} \text{ W}$
- ¤ Sprememba albeda tal (računano na vrhu atm.) $= 0.1$
- ¤ Sončno sevanje na vrhu atmosfere $= 340 \text{ W m}^{-2}$
- Potrebna površina $= 0.6 \times 10^{14} \text{ m}^2$
- ¤ Površina kopnega skupno $= 1.6 \times 10^{14} \text{ m}^2$
- Odstotek površin, ki bi jih potrebovali za spremembo albeda $= 37\%$

Bi pa ne bilo zelo drago, ipd.

Ocene za stratosferske aerosole

- ¤ Sončno sevanje na vrhu atmosfere = 340 W m^{-2}
 - Površina, da bi blokirali sevanje $2 \times 10^{15} \text{ W} = 6 \times 10^{12} \text{ m}^2$
 - ¤ Velikost delcev = 10^{-7} m
 - Volumen, ki je potreben = $6 \times 10^5 \text{ m}^3$
 - ¤ Življenski čas delcev v ozračju - stratosferi = $3 \times 10^7 \text{ s}$
 - Jakost injiciranja = $0.02 \text{ m}^3 \text{ s}^{-1}$
-

Težava : mednarodno soglasje, kako upravljati?



Velika
tveganja

Velik
potencial

Subjektivna mnenja na temo sončnega odboja

| Pristop | Primernost prostorske skale | Hitrost razvoja | Tveganje na enoto učinka | Denarna učinkovitost | Mednarodno upravljanje |
|---------------------------|-----------------------------|-----------------|--------------------------|----------------------|------------------------|
| Reflektorji v vesolju | ○ | ● | ○ | ● | ● |
| Stratosferski aerosoli | ○ | ○ | ○ | ○ | ● |
| Pristopi beljenja oblakov | ○ | ○ | ○ | ○ | ○ |
| Pristopi beljenja kopnega | ● | ○ | ○ | ○ | ○ |

boljše ○ ○ ○ ● slabše

Caldeira, 2009

Geoinženiring - premisleki

| | Gnojenje oceanov | Aerosoli v stratosferi | Ustvarjanje oblakov | Atmosfersk ogljik | Geokemični ogljik |
|--------------|--|------------------------|---------------------|-------------------|-------------------|
| UČINKOVITOST | Utemeljitev | | | | |
| DOSTOPNOST | Stopnja testiranja | | | | |
| VARNOST | Začetna cena Zajeti stranski učinki | | | | |
| ČAS | Stranski učinki | | | | |
| | Kompleksnost sistema | | | | |
| | Preverjenost | | | | |
| | Stopnja blažitve | | | | |
| | Nujne ustavitev | | | | |

KAKO OBVLADATI OKOLJSKE PROBLEME npr. EMISIJE TGP?

$$C = P \times (BDP / P) \times (E / BDP) \times (C / E)$$

↑
vsebnost ogljika v emisijah CO₂

4 glavne
spremenljivke

| | |
|---------|--------------------------------------|
| P | populacija |
| BDP / P | gospodarska aktivnost na osebo |
| E / BDP | energijska intenzivnost gospodarstva |
| C / E | ogljikova intenzivnost vira energije |

$$C = P \times (BDP / P) \times (E / BDP) \times (C / E)$$

P = populacija, osebe

BDP / P = gospodarska aktivnost na osebo, \$/osebo

E / BDP = energijska intenzivnost gospodarstva, GJ/\$

C / E = ogljikova intenzivnost vira energije, kg/GJ

Leto 2005

$$\begin{aligned} 6.4 \times 10^9 \text{ oseb} &\times \$6500/\text{osebo} \times 0.012 \text{ GJ}/\$ \times 15 \text{ kgC/GJ} \\ &= 7.5 \times 10^{12} \text{ kgC} = \underline{\underline{7.5 \text{ milijard ton C}}} \end{aligned}$$

IZBIRE ZA ZMANJŠEVANJE EMISIJ

Zmanjšati rast rabe energije z...

- zmanjšanjem rasti prebivalstva
- zmanjšano rastjo BDP na prebivalca

Zmanjšati energijsko intenzivnost gospodarstva

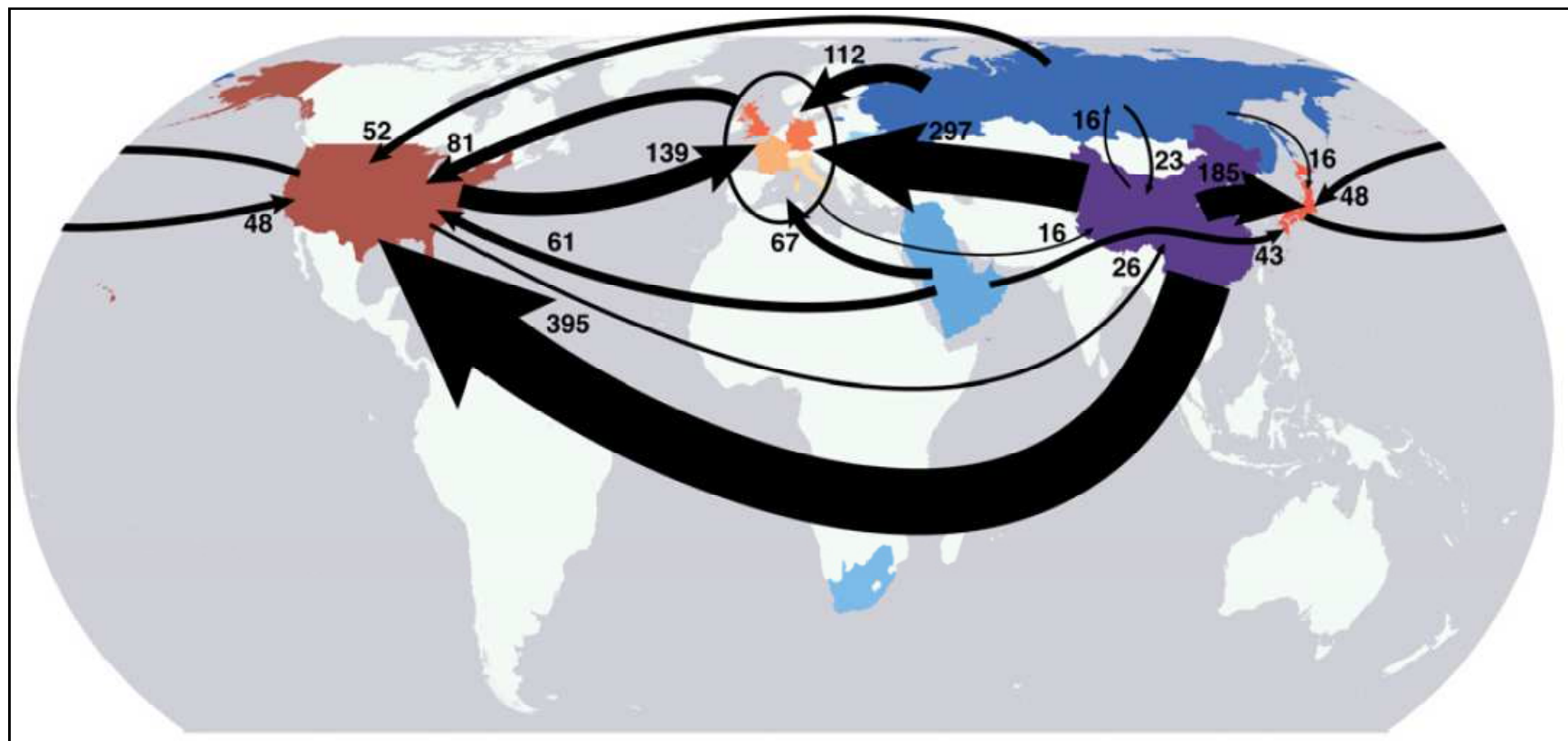
- Povečana učinkovitost pri pretvarjanju energije v končno obliko
- Povečana učinkovitost končne rabe energije
- Sprememba sestave gospodarskih aktivnosti

Zmanjšati ogljikovo intenzivnost vira energije z zamenjavo...

- nafte in premoga s plinom
- fosilnih goriv z obnovljivimi
- fosilnih goriv z jedrsko

ZAKAJ SO GLOBALNI DOGOVORI (SKORAJ) NEMOGOČI

Uvoz/izvoz ogljika ($\text{Mt CO}_2 \text{ y}^{-1}$) 2004



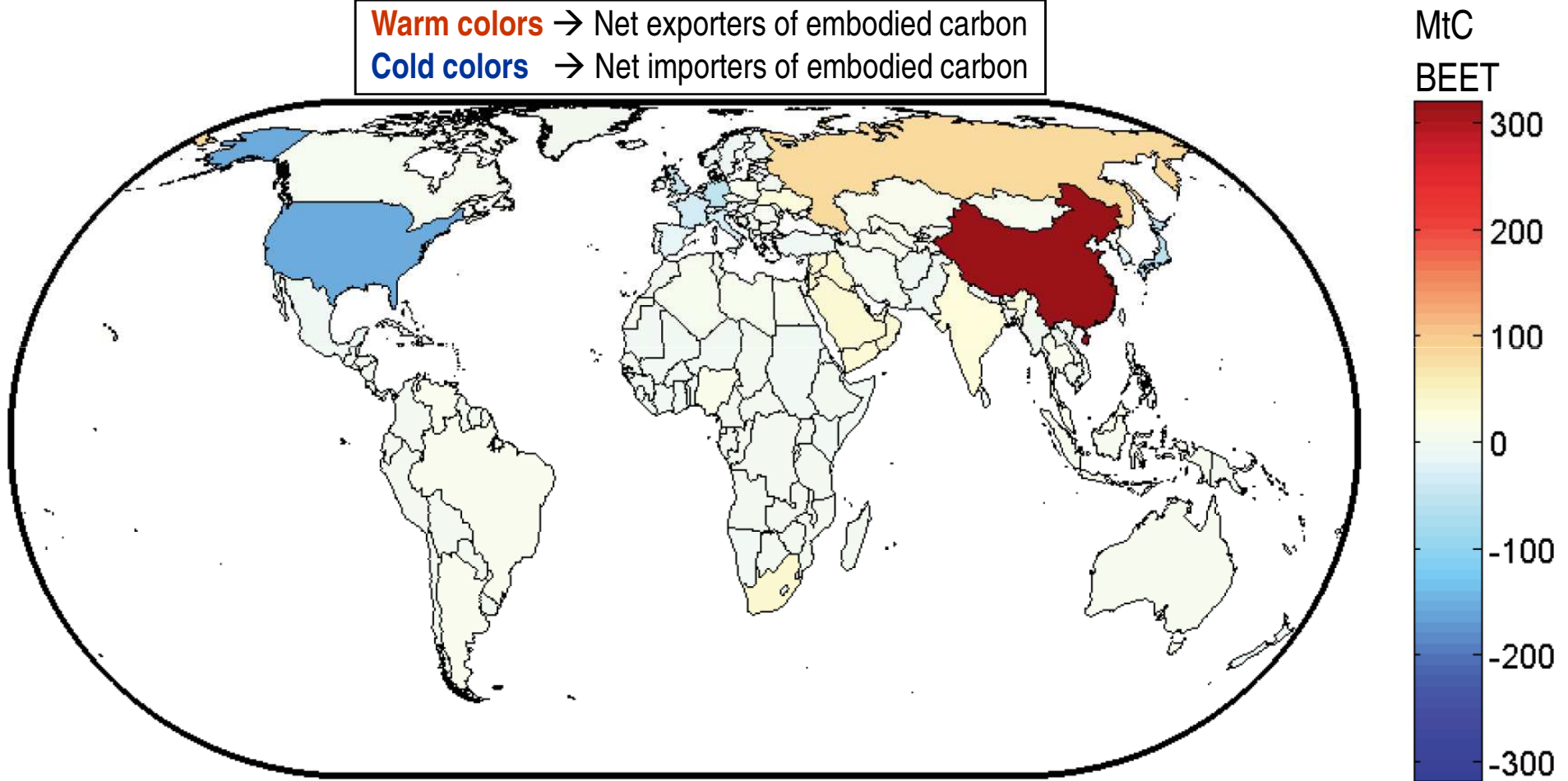
Države, ki izvažajo emisije (modro) in uvoznice (rdeče)

Davis & Caldeira 2010, PNAS; See also Peters & Hertwich 2008, Environ, Sci & Tech.

Balance of Emissions Embodied in Trade (BEET)

Year 2004

- Warm colors** → Net exporters of embodied carbon
- Cold colors** → Net importers of embodied carbon

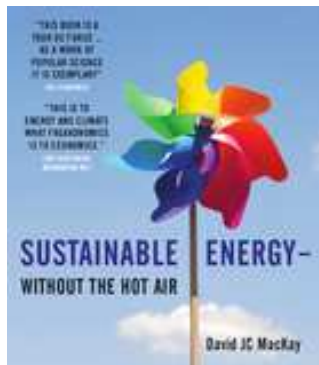


Primer VB

Britanski URADNI ogljični odtis
11 ton CO₂e na leto na osebo

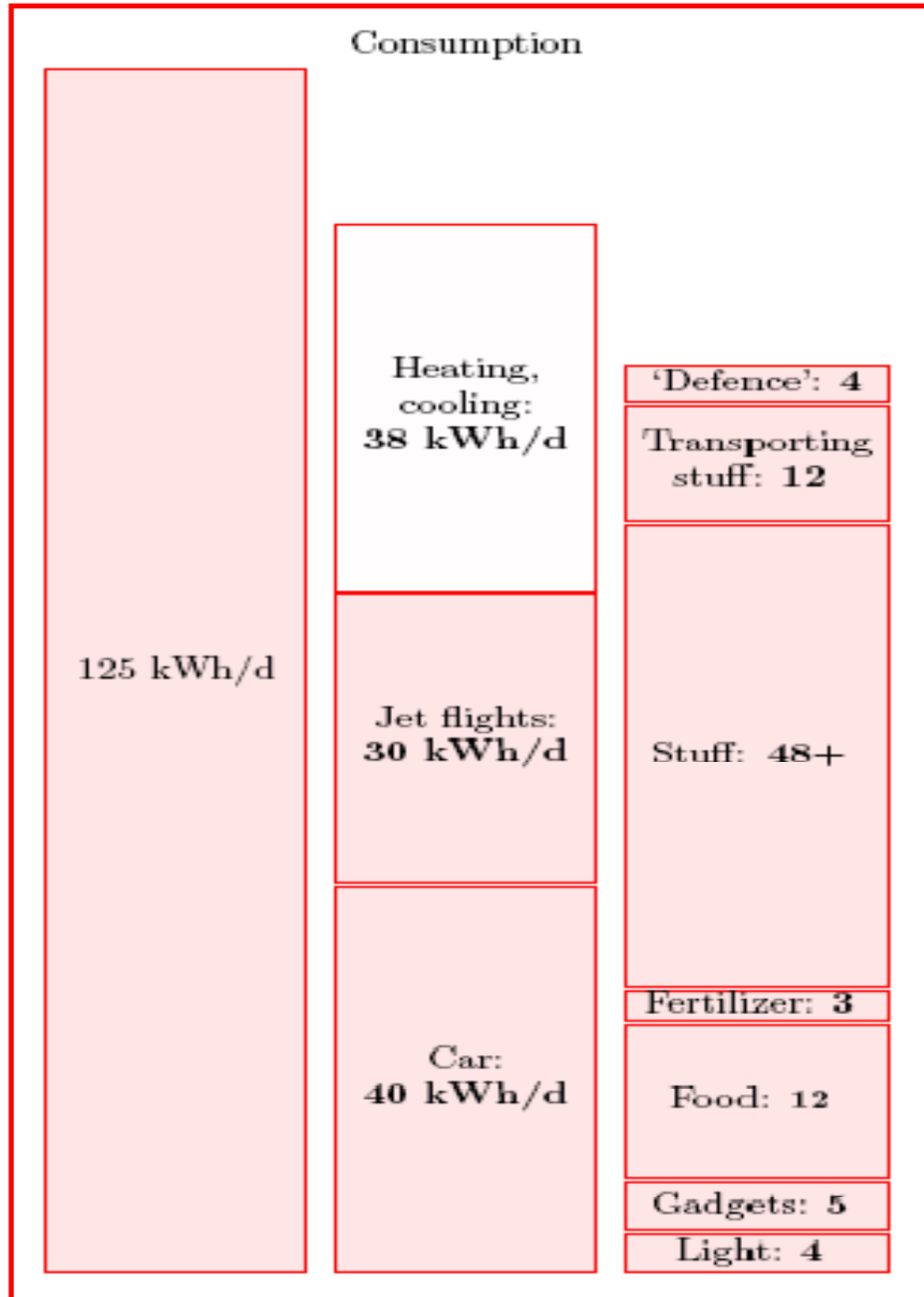
+

Vgrajeni CO₂ v uvoženih izdelkih
6.2 ton CO₂e na leto na osebo
(najvišja ocena 16 ton CO₂e letno na osebo)



MacKay, 2008

DEFRA, 2008



- Povprečni Evropejec 125 kWh/dan
- Povprečje za ZDA 250 kWh/dan
- Povprečni Slovenec ???

125 kWh/dan≈ 12, 5 t CO₂/ leto

MacKay, 2008



**140 kWh/d
peak 25 kW**

rating photovoltaic by Amonix - Photo by David

ali



**1,2 ha na
osebo**

**126
kWh/dan**

| | Before | What you can do | After |
|---------------------------------|---|---|----------------------------------|
| 1,5 ton CO ₂ na leto | Food: 15kWh/d | <i>eat vegetarian, six days out of seven</i> | 5 kWh/d |
| 4 tone CO ₂ na leto | Heating: 40kWh/d (keeping a leaky home and workplace at 20 °C) | <i>put on a sweater, be creative with the thermostats, read your meters</i> | 20 kWh/d |
| 3,5 ton CO ₂ na leto | Flying: 35kWh/d (London to Los Angeles, Rome, and Malaga, yearly) | <i>video-conference instead</i> | 1 kWh/d |
| 4 tone CO ₂ na leto | Car: 40kWh/d (averaging 30 miles per day) | <i>join a car club, cycle, walk, and use public transport</i> | 5 kWh/d |
| 13 ton CO ₂ na leto | | | 3,1 tone CO ₂ na leto |